

Supplemental Information

Supplemental Table 1a: Participants' and participants' parents highest level of education.

		Early Adversity (n=30)	Control Group (n = 30)
Highest level of education N (%)			
Father	Partial high school	7 (23.3)	0 (0)
	High school graduate (9 th grade, German <i>Hauptschule</i>)	15 (50)	17 (56.7)
	High school graduate (10 th grade, German <i>Realschule</i>)	3 (10)	4 (13.3)
	Specialized secondary school (12 th grade, German <i>Fachoberschule</i>)	0 (0)	1 (3.3)
	University entrance diploma (13 th grade, German <i>Abitur</i>)	1 (3.3)	3 (10)
	University degree	4 (13.3)	5 (16.7)
	Mother	Partial high school	5 (16.7)
High school graduate (9 th grade, German <i>Hauptschule</i>)		21 (70)	22 (73.3)
High school graduate (10 th grade, German <i>Realschule</i>)		1 (3.3)	4 (13.3)
Specialized secondary school (12 th grade, German <i>Fachoberschule</i>)		0 (0)	1 (3.3)
University entrance diploma (13 th grade, German <i>Abitur</i>)		1 (3.3)	1 (3.3)
University degree		2 (6.7)	1 (3.3)
Participant		Partial high school	0 (0)
	High school graduate (9 th grade, German <i>Hauptschule</i>)	4 (13.3)	2 (6.7)
	High school graduate (10 th grade, German <i>Realschule</i>)	6 (20)	6 (20)
	Specialized secondary school (12 th grade, German <i>Fachoberschule</i>)	1 (3.3)	1 (3.3)
	University entrance diploma (13 th grade, German <i>Abitur</i>)	6 (20)	9 (30)
	University degree	13 (43.3)	11 (36.7)

Supplemental Table 1b: Further sample characteristics

		Early Adversity (n=30)	Control Group (n = 30)	<i>P</i>
Income	childhood family income	1.67 ± 0.10	1.80 ± 0.81	.570
	current family income	2.43 ± 1.10	2.47 ± 1.01	.903
In a relationship	<i>n</i> (%)	11 (36.7)	12 (40.0)	.795
No. of children		1.80 ± 1.24	1.27 ± 1.23	.100
No. persons	in household	2.13 ± 1.31	1.90 ± 1.23	.461
Body mass index		25.29 ± 4.81	24.95 ± 3.6	.755
Waist to hip ratio		0.88 ± 0.10	0.85 ± 0.07	.189
Smoking	<i>n</i> (%)	7 (23.3)	4 (13.3)	.325

Income: assessed on a 1-4 scale (1= up 1000€, 2 = up to 2000€, 3= up to 3000€, 4= more than 3000€)

Supplemental Table 2

The table shows the transcripts which were up-regulated 45 minutes post-stress exposure compared to the pre-stress time-point in both groups. It shows the differences in log₂ expression values (t1-t0) across both groups, and separately for the control group and the early trauma group. The *p*-values result from the limma *t*-test. The *p*-values were multiplicity-adjusted to control the false discovery rate (FDR) by the Benjamini-Hochberg procedure.

t0: 45 minutes pre-stress exposure; t1: 45 minutes post-stress exposure.

Agilent Probe ID	Gene Symbol	Mean expression change across both groups t1-t0 (log ₂ expression values)	Control Group (log ₂ expression values t1- t0)	Early Adversity (log ₂ expression values t1- t0)	<i>p</i> -value (main effect stress)	adj. <i>p</i> -value (main effect stress)
A_23_P121596	PPBP	2,39	1,96	3,05	<0.001	<0.001
A_24_P79403	PF4	2,22	1,82	2,80	<0.001	<0.001
A_23_P416581	GNAZ	1,23	0,92	1,52	<0.001	0.001
A_23_P29124	GP1BB	1,13	0,94	1,52	<0.001	0.010
A_23_P72668	SDPR	1,00	0,97	1,27	<0.001	0.014
A_23_P214080	EGR1	0,99	0,93	1,05	<0.001	<0.001
A_21_P0002805	XLOC_002921	0,85	0,66	1,07	<0.001	0.007
A_23_P398566	NR4A3	0,84	0,68	1,17	<0.001	0.009
A_33_P3265030	GP1BB	0,84	0,55	1,31	<0.001	0.027
A_23_P210425	MYL9	0,80	0,93	0,88	<0.001	0.021
A_33_P3381777	TREML1	0,78	0,63	1,11	0.002	0.087
A_23_P152838	CCL5	0,77	0,78	1,01	<0.001	0.025
A_33_P3332955	CLEC1B	0,76	0,87	0,69	0.001	0.050
A_24_P228550	TUBB1	0,75	0,54	1,01	0.001	0.063
A_19_P00321743	LOC100130938	0,74	0,56	0,97	0.001	0.064
A_19_P00315452	LOC100130938	0,72	0,53	1,17	0.002	0.095
A_33_P3323136	ENKUR	0,71	0,51	1,21	0.001	0.079
A_21_P0011632	XLOC_I2_005997	0,70	1,02	0,19	0.002	0.107
A_23_P89589	PER1	0,68	0,81	0,35	<0.001	<0.001
A_33_P3393801	PDZK1IP1	0,67	0,32	1,13	0.006	0.198
A_33_P3236065	CLEC1B	0,65	0,64	0,71	<0.001	0.034
A_21_P0009714	XLOC_013045	0,63	0,53	0,69	<0.001	0.005
A_21_P0004829	XLOC_005150	0,59	0,16	0,56	0.018	0.353
A_24_P277367	CXCL5	0,59	0,65	0,64	0.003	0.133
A_33_P3310780	CTTN	0,59	0,36	1,01	0.020	0.365
A_33_P3283646		0,57	0,68	0,26	0.016	0.331
A_21_P0013162	LOC729178	0,56	0,32	0,51	0.011	0.276
A_23_P435636	DAND5	0,55	0,52	0,21	0.013	0.297
A_23_P53137	HBG1	0,54	0,35	0,89	0.022	0.375
A_33_P3217119	OSCP1	0,53	0,37	0,52	0.006	0.200
A_32_P158786	C12orf56	0,53	0,42	0,38	0.023	0.386
A_32_P196142	LOC100130938	0,53	0,21	0,97	0.027	0.407
A_23_P107775	TMEM190	0,52	0,17	0,78	0.039	0.467
A_23_P307544	PLXNA2	0,51	0,61	0,38	0.006	0.196

A_33_P3236071	CLEC1B	0,51	0,36	0,61	0.042	0.481
A_21_P0002706	XLOC_002859	0,51	0,46	0,41	0.008	0.241
A_23_P46936	EGR2	0,50	0,46	0,68	<0.001	0.025
A_23_P126613	AQP10	0,50	0,41	0,68	0.037	0.456
A_33_P3245937	LOC100128402	0,50	0,09	0,62	0.039	0.467
A_21_P0008579	XLOC_011513	0,49	0,28	0,55	0.001	0.055
A_33_P3303372	PARD3	0,49	0,46	0,43	0.005	0.180
A_21_P0001059	XLOC_000554	0,49	0,13	0,63	0.003	0.136
A_21_P0013510	XLOC_I2_014459	0,49	0,38	0,68	0.036	0.455
A_33_P3356816	LCE1B	0,47	0,29	0,30	0.010	0.267
A_21_P0012891	LOC729506	0,47	0,53	0,45	0.013	0.301
A_23_P1492	AVPI1	0,47	0,49	0,41	<0.001	<0.001
A_33_P3321642	GRHL2	0,47	0,40	0,43	0.032	0.434
A_21_P0012314	XLOC_I2_009302	0,46	0,06	0,62	0.002	0.115
A_23_P152906	ALOX12	0,45	0,25	0,77	0.015	0.326
A_33_P3379881		0,45	0,74	0,13	0.016	0.334
A_24_P125434	TXNDC2	0,45	0,18	0,64	0.004	0.146
A_24_P142118	THBS1	0,45	0,54	0,28	<0.001	0.011
A_21_P0000898	LOC100131234	0,44	0,41	0,37	<0.001	<0.001
A_21_P0004452	XLOC_005036	0,44	0,22	0,62	0.003	0.121
A_19_P00810465	KCNA6	0,44	0,33	0,49	0.009	0.251
A_23_P76312	GUCY2C	0,43	0,44	0,44	0.001	0.079
A_21_P0006982	XLOC_008769	0,43	0,37	0,69	0.009	0.251
A_19_P00810491	XLOC_014068	0,43	0,52	0,09	0.039	0.469
A_21_P0004682	LOC643623	0,43	0,51	0,17	0.032	0.433
A_33_P3429242	LOC339988	0,43	0,80	0,17	0.042	0.481
A_33_P3270826	THEM5	0,43	0,17	0,53	0.019	0.357
A_33_P3382565	KIF26B	0,43	0,57	0,24	<0.001	0.010
A_33_P3887888	FLJ44511	0,43	0,46	0,41	0.029	0.420
A_33_P3257643	C17orf104	0,42	0,43	0,40	0.005	0.194
A_21_P0000010	FKBP5	0,42	0,56	0,24	0.018	0.356
A_32_P191262	ACR	0,42	0,07	0,73	0.002	0.112
A_19_P00322836	XLOC_005056	0,41	0,53	0,33	0.005	0.187
A_21_P0008363	XLOC_010891	0,41	0,26	0,42	0.011	0.283
A_24_P126892		0,41	-0,04	0,66	0.001	0.054
A_33_P3232692	IL24	0,41	0,36	0,30	0.004	0.146
A_23_P131024	ZBTB32	0,41	0,33	0,47	0.008	0.237
A_19_P00318679	XLOC_011510	0,41	0,54	0,00	0.019	0.362
A_33_P3276748	LOC100128573	0,41	0,32	0,36	0.009	0.251
A_23_P17844	PVALB	0,41	0,50	0,47	0.048	0.508
A_21_P0008786	XLOC_011590	0,41	0,45	0,40	<0.001	<0.001
A_33_P3396891	AVPI1	0,41	0,42	0,34	<0.001	<0.001
A_21_P0002453	XLOC_002131	0,41	0,31	0,53	0.015	0.320
A_21_P0004969	XLOC_005539	0,41	0,56	0,13	0.008	0.244
A_21_P0007888	XLOC_010172	0,41	0,26	0,43	0.006	0.201
A_33_P3248137	OLFML2A	0,40	0,43	0,38	0.030	0.425
A_21_P0004955	XLOC_005502	0,40	0,28	0,52	0.015	0.330
A_23_P82324	CARD11	0,39	0,31	0,30	0.001	0.050
A_23_P359277	ELOVL7	0,39	0,29	0,60	0.026	0.398
A_33_P3277784	NTNG2	0,39	0,53	0,15	0.009	0.251

A_23_P165608	SEMA4F	0,39	-0,01	0,69	0.030	0.423
A_23_P25698	SLC10A1	0,39	0,29	0,40	0.045	0.494
A_33_P3375636	FAM196B	0,39	0,12	0,51	0.015	0.320
A_32_P214665	PCP4L1	0,39	0,18	0,56	0.009	0.259
A_23_P82762	ZNF596	0,39	0,40	0,41	0.016	0.332
A_23_P361654		0,39	0,41	0,48	0.011	0.275
A_21_P0008560	XLOC_011295	0,38	-0,02	0,53	0.016	0.332
A_21_P0001493	XLOC_000794	0,38	0,27	0,59	0.014	0.312
A_21_P0002412	XLOC_002013	0,38	0,16	0,56	0.007	0.226
A_21_P0011105	XLOC_I2_003593	0,38	0,33	0,36	0.019	0.359
A_21_P0002546	XLOC_002499	0,38	0,28	0,38	0.002	0.109
A_33_P3333752	FAM183A	0,37	0,45	0,17	0.004	0.146
A_24_P49106	TCEAL7	0,37	0,31	0,28	0.031	0.427
A_33_P3313075		0,37	0,12	0,56	0.007	0.226
A_21_P0014599	LOC100506007	0,37	0,40	0,18	0.009	0.259
A_33_P3416142	LOC100131234	0,37	0,60	0,04	<0.001	0.007
A_33_P3567961		0,36	0,36	0,30	0.002	0.115
A_33_P3839897	RNU4ATAC	0,36	0,18	0,22	0.019	0.361
A_21_P0007189	XLOC_009092	0,36	0,55	0,11	0.007	0.232
A_21_P0010313	XLOC_013949	0,36	0,27	0,33	0.027	0.409
A_21_P0007894	VSIG10	0,36	0,43	0,36	0.031	0.427
A_21_P0013104	XLOC_I2_013149	0,36	0,40	0,18	0.020	0.365
A_23_P159335	CD8B	0,36	0,26	0,37	0.009	0.259
A_23_P141092	TFAP4	0,36	0,35	0,40	0.014	0.318
A_23_P90320	ZNF221	0,36	0,50	0,05	0.016	0.331
A_33_P3321025	PLXNA4	0,36	0,08	0,61	0.047	0.503
A_32_P157927		0,36	0,20	0,35	0.005	0.184
A_33_P3316088		0,36	0,32	0,39	0.007	0.229
A_21_P0007977	XLOC_010543	0,35	0,49	0,11	0.021	0.374
A_24_P305784	SPANXB2	0,35	0,27	0,42	0.022	0.380
A_32_P14457		0,35	0,34	0,27	0.047	0.503
A_23_P250164	HGD	0,35	0,29	0,44	0.034	0.445
A_23_P58228	ODAM	0,35	0,30	0,23	0.030	0.424
A_23_P126349	BARHL2	0,35	0,37	0,31	0.022	0.376
A_21_P0002050	XLOC_002089	0,35	0,13	0,36	0.002	0.115
A_33_P3402257	MS4A18	0,35	0,33	0,28	0.020	0.363
A_24_P13083	TSPAN18	0,35	0,48	0,15	0.018	0.357
A_21_P0003711	WHSC2	0,35	0,33	0,32	0.011	0.276
A_33_P3292994		0,35	0,13	0,28	0.026	0.400
A_23_P74162	IQCC	0,35	0,24	0,27	0.011	0.274
A_21_P0010323	XLOC_014105	0,35	0,26	0,34	0.038	0.463
A_33_P3371703		0,35	0,39	0,28	0.007	0.226
A_33_P3420879	LOC646482	0,35	0,41	0,18	0.024	0.390
A_23_P326303	GPR61	0,34	0,18	0,34	0.007	0.229
A_23_P71328	MATN2	0,34	0,43	0,12	0.011	0.283
A_24_P144784	HILS1	0,34	0,40	0,24	0.019	0.363
A_21_P0003655	XLOC_003704	0,34	0,34	0,15	0.013	0.304
A_33_P3231645		0,34	0,48	0,22	0.006	0.205
A_21_P0012065	XLOC_I2_008008	0,34	0,47	0,23	0.022	0.378
A_33_P3285799	AKD1	0,34	0,36	0,18	0.027	0.405

A_33_P3402943	LOC100128591	0,34	0,23	0,28	0.010	0.264
A_24_P931201	LOC100130071	0,34	0,36	0,27	0.034	0.446
A_23_P143173	SLA2	0,34	0,30	0,34	0.009	0.251
A_33_P3213408	OR10AD1	0,34	0,50	0,12	0.018	0.354
A_33_P3312489	VWA3B	0,34	0,10	0,39	0.013	0.296
A_33_P3461416	GP6	0,34	0,26	0,53	0.027	0.407
A_21_P0001827	XLOC_001355	0,34	0,28	0,29	0.033	0.439
A_33_P3354291	KIAA1656	0,34	0,50	0,03	0.033	0.439
A_33_P3385993	TTLL9	0,34	0,42	0,05	0.019	0.361
A_23_P121657	HS3ST1	0,34	0,29	0,32	0.001	0.050
A_21_P0000558	LOC100302650	0,34	0,08	0,56	0.016	0.332
A_33_P3317442	MCF2L	0,33	0,33	0,30	0.024	0.389
A_33_P3244784		0,33	0,31	0,27	0.024	0.389
A_21_P0009138	XLOC_012043	0,33	0,11	0,42	0.017	0.343
A_33_P3274955	TKTL2	0,33	0,57	0,10	0.030	0.424
A_33_P3262083	LOC100126784	0,33	0,33	0,19	0.008	0.241
A_21_P0010863	LINC00202	0,33	0,26	0,30	0.022	0.375
A_33_P3245818	PQLC1	0,33	0,13	0,30	0.015	0.320
A_33_P3282305	ADARB2	0,33	0,32	0,10	0.006	0.197
A_33_P3404546	OBSCN	0,33	0,22	0,38	0.029	0.421
A_33_P3236686		0,33	0,06	0,44	0.033	0.439
A_33_P3253304	LOC100270710	0,33	0,53	0,13	0.027	0.409
A_33_P3355580	CTSL3	0,32	0,36	0,14	0.018	0.356
A_21_P0007241	LOC100289388	0,32	0,24	0,26	0.038	0.464
A_33_P3404989	HIST1H3H	0,32	0,45	0,31	0.027	0.405
A_21_P0010216	XLOC_014115	0,32	0,20	0,45	0.035	0.449
A_21_P0010611	XLOC_I2_000900	0,32	0,38	0,25	0.021	0.370
A_21_P0011336	LOC440300	0,32	0,29	0,29	0.044	0.488
A_33_P3260862		0,32	0,04	0,69	0.047	0.505
A_33_P3412311	LOC100132859	0,32	0,32	0,25	0.036	0.455
A_23_P110531	FST	0,32	0,12	0,41	0.006	0.200
A_21_P0006799	XLOC_008981	0,32	0,30	0,22	0.012	0.288
A_24_P144303	LOC442459	0,32	0,24	0,26	0.019	0.361
A_23_P104804	ZBTB16	0,32	0,38	0,23	0.018	0.348
A_23_P34424	KCNQ4	0,32	0,28	0,49	0.032	0.435
A_21_P0004086	XLOC_004682	0,32	0,16	0,47	0.021	0.372
A_33_P3363254		0,32	0,13	0,37	0.026	0.402
A_23_P312565	ANKRD19P	0,31	0,46	0,08	0.019	0.361
A_33_P3347099	FLJ36000	0,31	0,29	0,26	0.026	0.401
A_23_P415401	KLF9	0,31	0,41	0,10	<0.001	0.011
A_21_P0002554	XLOC_002540	0,31	0,20	0,28	0.028	0.412
A_23_P83134	GAS1	0,31	0,31	0,30	0.027	0.407
A_24_P409985	TMEM44	0,31	0,30	0,13	0.033	0.441
A_33_P3297005	EME2	0,31	0,30	0,24	0.008	0.237
A_19_P00319155	LOC100126447	0,31	0,37	0,24	0.009	0.251
A_23_P150693	FJX1	0,31	0,51	0,09	0.034	0.444
A_33_P3355252		0,31	0,18	0,48	0.044	0.491
A_33_P3378412		0,31	0,19	0,32	0.023	0.387
A_23_P2258	CCDC62	0,31	0,28	0,20	0.018	0.353
A_23_P140190	KIAA0125	0,30	0,13	0,28	0.049	0.514

A_21_P0006517	XLOC_008072	0,30	0,24	0,35	0.046	0.495
A_23_P51690	RHBG	0,30	0,15	0,41	0.028	0.415
A_21_P0012073	XLOC_I2_008124	0,30	0,00	0,52	0.045	0.494
A_21_P0008980	XLOC_011804	0,30	0,36	0,24	0.031	0.427
A_19_P00315493	LOC145474	0,30	0,19	0,33	0.001	0.067
A_33_P3327697	LOC145474	0,30	0,19	0,32	0.001	0.062
A_33_P3327076	OR2T27	0,30	0,19	0,38	0.017	0.340
A_21_P0009928	XLOC_013437	0,30	0,24	0,26	0.014	0.318
A_33_P3294415		0,30	0,18	0,33	0.022	0.376
A_33_P3415820	THBS1	0,30	0,47	0,19	0.010	0.260
A_33_P3343820	RP1-177G6.2	0,30	0,40	0,16	0.020	0.363
A_23_P311875	CD6	0,30	0,26	0,36	0.028	0.415
A_33_P3252333	SNORD3B-1	0,30	0,09	0,44	0.009	0.259
A_19_P00317910	XLOC_I2_015034	0,30	0,36	0,33	<0.001	0.009
A_21_P0001036	XLOC_000497	0,30	0,30	0,19	0.035	0.450
A_33_P3262927	PCBP4	0,29	0,32	0,27	0.037	0.457
A_21_P0005652	XLOC_006704	0,29	0,35	0,25	0.043	0.484
A_33_P3299119	HNF1A	0,29	0,23	0,15	0.022	0.376
A_21_P0002012	XLOC_001975	0,29	0,48	-0,05	0.020	0.365
A_24_P154037	IRS2	0,29	0,39	0,10	<0.001	0.001
A_33_P3216200		0,29	0,13	0,28	0.037	0.460
A_32_P33083	VCX2	0,29	0,26	0,33	0.018	0.354
A_21_P0000223	SNORD15B	0,29	0,12	0,32	0.005	0.177
A_21_P0009932	PLCB1	0,29	0,21	0,38	0.010	0.261
A_33_P3263651	SEMA6B	0,29	0,08	0,35	0.029	0.419
A_33_P3284763	DMD	0,29	0,14	0,35	0.026	0.400
A_33_P3343145	MAP1B	0,29	0,34	0,07	0.041	0.476
A_23_P153183	CNKSR2	0,29	-0,01	0,48	0.007	0.226
A_33_P3345299		0,28	0,23	0,20	0.017	0.342
A_23_P250385	HIST1H1B	0,28	0,31	0,27	0.011	0.274
A_21_P0011473	XLOC_I2_005458	0,28	0,36	0,06	0.019	0.357
A_23_P422933	ARHGAP20	0,28	-0,10	0,57	0.044	0.489
A_21_P0008836	XLOC_011339	0,28	0,10	0,28	0.013	0.304
A_33_P3389028		0,28	0,51	0,07	0.042	0.481
A_19_P00318375	LOC148696	0,28	0,30	0,36	0.038	0.462
A_33_P3281745		0,28	0,15	0,27	0.024	0.389
A_21_P0006378	XLOC_007662	0,28	0,16	0,10	0.037	0.455
A_23_P392429	ZNF396	0,28	0,39	0,16	0.015	0.321
A_21_P0002920	XLOC_003383	0,28	0,16	0,45	0.036	0.453
A_33_P3313065	OR5C1	0,28	0,30	0,18	0.042	0.481
A_21_P0000065	SLC1A3	0,27	0,51	0,11	0.046	0.499
A_21_P0012911	LOC100652810	0,27	0,20	0,27	0.020	0.368
A_21_P0008456	XLOC_011064	0,27	0,32	0,23	0.041	0.477
A_33_P3376449	ZDHHC23	0,27	0,13	0,25	0.015	0.323
A_21_P0005402	XLOC_006178	0,27	0,17	0,25	0.037	0.458
A_23_P342727	STARD13	0,27	0,15	0,36	0.023	0.381
A_33_P3808516		0,27	0,09	0,32	0.045	0.492
A_33_P3389653	PDE4D	0,27	0,23	0,20	0.003	0.137
A_21_P0008247	XLOC_010544	0,27	0,40	0,13	0.047	0.504
A_33_P3356863	LOC100128172	0,27	0,15	0,16	0.037	0.459

A_21_P0012302	XLOC_I2_009578	0,27	0,43	0,08	0.033	0.438
A_33_P3341429	NEXN	0,27	0,32	0,41	0.042	0.481
A_21_P0011301	WHAMMP2	0,27	0,19	0,43	0.030	0.423
A_21_P0003230	XLOC_002653	0,27	0,20	0,20	0.034	0.446
A_21_P0010420	XLOC_014264	0,27	0,34	0,14	0.014	0.318
A_23_P98070	PDE6C	0,27	0,31	0,14	0.026	0.403
A_33_P3228295	RCL1	0,27	0,29	0,14	0.043	0.485
A_24_P696470	HEATR4	0,27	0,22	0,26	0.032	0.435
A_21_P0014595	LOC100505856	0,27	0,28	0,20	0.047	0.504
A_33_P3223022		0,27	0,34	-0,08	0.048	0.511
A_23_P35995	CLMP	0,27	0,14	0,39	0.006	0.206
A_21_P0013027	XLOC_I2_012584	0,27	-0,02	0,33	0.041	0.479
A_21_P0000462	SNORD19B	0,27	0,14	0,24	0.030	0.423
A_21_P0012111	XLOC_I2_008546	0,27	0,28	0,22	0.031	0.427
A_23_P101683	CLC	0,27	0,20	0,25	0.027	0.405
A_32_P89352	MACROD2	0,27	0,33	0,04	0.001	0.081
A_21_P0004276	XLOC_004467	0,27	0,27	0,34	0.018	0.354
A_33_P3388482	TMEM120B	0,27	0,28	0,26	0.042	0.481
A_19_P00315826	XLOC_001148	0,27	0,50	-0,03	0.035	0.448
A_21_P0005786	XLOC_006976	0,27	0,05	0,39	0.037	0.457
A_24_P386746	RBP5	0,27	0,21	0,10	0.046	0.495
A_21_P0013683	XLOC_I2_015336	0,26	0,24	0,20	0.028	0.413
A_33_P3872301	SNAR-C3	0,26	0,25	0,18	0.031	0.429
A_33_P3384578		0,26	0,10	0,28	0.025	0.394
A_21_P0009205	XLOC_012590	0,26	0,30	0,18	0.016	0.339
A_33_P3261828	LOC390660	0,26	0,23	0,14	0.031	0.427

Supplemental Table 3

The table shows the transcripts which were down-regulated 45 minutes post-stress exposure compared to the pre-stress timepoint in both groups. It shows the differences in log₂ expression values (t1-t0) across both groups, and separately for the control group and the early adversity group. The *p*-values result from the limma *t*-test. The *p*-values were multiplicity-adjusted to control the false discovery rate (FDR) by the Benjamini–Hochberg procedure.

t0: 45 minutes pre-stress exposure; t1: 45 minutes post-stress exposure

Agilent Probe ID	Gene Symbol	Mean expression change across both groups t1-t0 (log ₂ expression values)	Control Group (log ₂ expression values t1- t0)	Early Adversity (log ₂ expression values t1- t0)	p-value (main effect stress)	adj. p-value (main effect stress)
A_33_P3318766		-0,68	-0,20	-1,15	0.016	0.272
A_23_P204286	MGP	-0,64	-0,61	-0,67	0.003	0.103
A_33_P3593774	PIK3R3	-0,61	-0,66	-0,56	<0.001	0.006
A_33_P3385351		-0,59	-0,19	-1,00	0.039	0.404
A_21_P0014451	LOC100287506	-0,53	-0,55	-0,52	0.032	0.374
A_33_P3402091	MERTK	-0,50	-0,49	-0,52	<0.001	0.027
A_21_P0002470	XLOC_002194	-0,50	-0,61	-0,40	0.001	0.036
A_33_P3316978	RNF207	-0,50	-0,48	-0,53	<0.001	0.024
A_33_P3255434	MEG3	-0,50	-0,50	-0,50	<0.001	0.001
A_33_P3321372	CNTNAP3	-0,49	-0,67	-0,31	0.008	0.186
A_23_P376036	EXD1	-0,49	-0,54	-0,43	<0.001	0.029
A_21_P0010087	XLOC_013531	-0,48	-0,74	-0,22	0.012	0.237
A_33_P3308774		-0,47	-0,60	-0,35	0.003	0.092
A_33_P3409854	LHX1	-0,47	-0,34	-0,61	0.046	0.431
A_33_P3304533	RNF207	-0,47	-0,41	-0,53	<0.001	0.015
A_23_P70007	HMMR	-0,47	-0,45	-0,49	0.001	0.051
A_32_P52785	DAAM2	-0,47	-0,50	-0,44	0.001	0.046
A_21_P0012776	XLOC_I2_011118	-0,46	-0,34	-0,58	0.050	0.446
A_32_P209624	MKRN7P	-0,46	-0,17	-0,76	0.010	0.207
A_23_P4096	CA4	-0,46	-0,46	-0,47	0.012	0.231
A_33_P3369317	DNAJB5	-0,46	-0,42	-0,50	<0.001	0.001
A_33_P3268507	CEACAM1	-0,46	-0,50	-0,42	0.001	0.031
A_21_P0009846	XLOC_013545	-0,45	-0,64	-0,26	0.001	0.061
A_23_P210465	PI3	-0,45	-0,62	-0,29	0.005	0.143
A_33_P3217490	LOC729444	-0,45	-0,24	-0,66	0.047	0.434
A_33_P3342569		-0,45	-0,24	-0,65	0.001	0.032
A_33_P3411279	CYP21A2	-0,45	-0,08	-0,82	0.007	0.171
A_24_P291231	PER3	-0,44	-0,42	-0,47	<0.001	0.004
A_33_P3267150		-0,44	-0,41	-0,47	0.025	0.330
A_21_P0002056	XLOC_002122	-0,44	-0,40	-0,48	0.003	0.106
A_32_P776626	RGPD1	-0,44	-0,49	-0,39	<0.001	0.018

A_33_P3210278	SYNE2	-0,44	-0,48	-0,39	0.003	0.095
A_33_P3346688	HSPA8	-0,43	-0,50	-0,37	<0.001	0.029
A_33_P3395028	LOC152225	-0,43	-0,51	-0,35	<0.001	0.005
A_23_P415015	ATL2	-0,43	-0,27	-0,59	0.002	0.078
A_21_P0002531	XLOC_002452	-0,43	-0,19	-0,66	0.002	0.077
A_23_P351148	SH2D1B	-0,43	-0,48	-0,38	<0.001	0.001
A_33_P3282213		-0,42	-0,11	-0,73	0.004	0.117
A_23_P7684	CCNJL	-0,42	-0,42	-0,43	0.013	0.239
A_23_P159237	GPR20	-0,42	-0,52	-0,32	<0.001	<0.001
A_24_P352952	FAM20A	-0,42	-0,60	-0,24	0.011	0.214
A_24_P33895	ATF3	-0,42	-0,52	-0,32	0.001	0.063
A_33_P3323463	HSPA8	-0,42	-0,46	-0,38	<0.001	<0.001
A_33_P3373165	DUX4L4	-0,42	-0,31	-0,52	0.010	0.208
A_32_P119248	FOXD4	-0,42	-0,39	-0,44	<0.001	0.002
A_32_P170547	CT45A5	-0,42	-0,51	-0,33	0.003	0.112
A_23_P501007	EFEMP1	-0,41	-0,58	-0,25	0.049	0.441
A_23_P37068	TRAF3	-0,41	-0,39	-0,44	0.004	0.124
A_33_P3245120	LOC200772	-0,41	-0,41	-0,42	<0.001	0.001
A_21_P0008982	XLOC_011806	-0,41	-0,28	-0,55	0.001	0.045
A_33_P3526458	LOC338579	-0,41	-0,13	-0,69	0.002	0.067
A_21_P0005776	XLOC_006948	-0,41	-0,50	-0,32	<0.001	0.001
A_23_P338479	CD274	-0,41	-0,53	-0,28	0.001	0.055
A_33_P3351285		-0,40	-0,74	-0,06	0.009	0.202
A_33_P3419621	LOC100289580	-0,40	-0,48	-0,31	0.008	0.186
A_21_P0014063	LOC100506546	-0,40	-0,30	-0,49	0.019	0.293
A_21_P0010759	XLOC_I2_000920	-0,39	-0,26	-0,53	0.006	0.151
A_23_P94186	LYPD2	-0,39	-0,34	-0,45	0.006	0.155
A_21_P0011288	RERE	-0,39	-0,42	-0,37	<0.001	0.009
A_21_P0001768	LOC200772	-0,39	-0,43	-0,35	<0.001	0.003
A_33_P3210418	SLC5A10	-0,39	-0,45	-0,33	0.005	0.135
A_33_P3209005	ZNF673	-0,38	-0,47	-0,30	0.005	0.138
A_24_P80776	C6orf228	-0,38	-0,34	-0,43	<0.001	0.014
A_21_P0009957	XLOC_013531	-0,38	-0,36	-0,41	0.009	0.202
A_21_P0004400	XLOC_004839	-0,38	-0,33	-0,44	<0.001	0.001
A_24_P703462		-0,38	-0,42	-0,34	<0.001	<0.001
A_23_P348257	NUAK1	-0,38	-0,23	-0,53	0.022	0.316
A_21_P0007907	LOC100506622	-0,38	-0,27	-0,49	0.008	0.181
A_21_P0010184	XLOC_014020	-0,38	-0,53	-0,23	0.030	0.364
A_24_P51375		-0,38	-0,45	-0,31	<0.001	0.005
A_23_P30983	GJB7	-0,38	-0,43	-0,32	0.007	0.177
A_33_P3400828	NXNL2	-0,38	-0,34	-0,41	0.003	0.099
A_24_P13715	FBXO22	-0,38	-0,23	-0,52	0.005	0.141
A_23_P206293	GPR114	-0,38	-0,18	-0,57	0.004	0.112
A_21_P0008613	XLOC_011213	-0,37	-0,21	-0,54	0.003	0.097
A_33_P3258546	PCDHA5	-0,37	-0,42	-0,33	0.024	0.328
A_32_P135243	MTHFD1L	-0,37	-0,08	-0,67	<0.001	0.027
A_33_P3367717	USP17	-0,37	-0,23	-0,51	0.001	0.059

A_21_P0013436	XLOC_I2_013873	-0,37	-0,37	-0,37	0.003	0.101
A_23_P212258	KNG1	-0,37	-0,27	-0,46	0.004	0.124
A_21_P0011259	XLOC_I2_004317	-0,37	-0,64	-0,10	0.015	0.261
A_21_P0004130	XLOC_004832	-0,37	-0,45	-0,29	0.002	0.071
A_23_P94338	ENPP2	-0,36	-0,41	-0,32	0.001	0.031
A_33_P3353372		-0,36	-0,33	-0,39	0.003	0.094
A_19_P0080261						
5	LOC100131564	-0,36	-0,19	-0,54	0.006	0.163
A_33_P3718269		-0,36	-0,36	-0,36	<0.001	<0.001
A_33_P3311543		-0,36	-0,24	-0,48	0.013	0.244
A_33_P3876591	SNORA76	-0,36	-0,58	-0,14	0.017	0.276
A_33_P3247320	EMR4P	-0,36	-0,44	-0,28	<0.001	0.020
A_33_P3222852		-0,36	-0,45	-0,27	0.011	0.215
A_33_P3806676		-0,36	-0,62	-0,10	0.036	0.388
A_21_P0009011	XLOC_011880	-0,36	-0,40	-0,32	0.003	0.107
A_19_P0032447						
0	MIR143HG	-0,36	-0,48	-0,23	0.019	0.292
A_33_P3322594	MAGEB17	-0,36	-0,15	-0,56	0.006	0.157
A_21_P0001255	XLOC_000022	-0,36	-0,50	-0,22	0.049	0.444
A_33_P3380913		-0,35	-0,42	-0,28	0.026	0.338
A_33_P3389018	OR4F15	-0,35	-0,37	-0,33	0.003	0.100
A_21_P0003351	XLOC_003509	-0,35	-0,23	-0,48	0.001	0.052
A_21_P0006275	XLOC_007726	-0,35	-0,27	-0,44	0.007	0.171
A_33_P3284009	GNN	-0,35	-0,38	-0,33	<0.001	0.018
A_23_P125618	GABRA3	-0,35	-0,43	-0,28	0.017	0.276
A_21_P0007009	XLOC_008895	-0,35	-0,42	-0,29	0.023	0.320
A_21_P0001004	XLOC_000357	-0,35	-0,39	-0,31	0.001	0.044
A_23_P205370	ASB2	-0,35	-0,39	-0,31	<0.001	<0.001
A_23_P92672	OCLN	-0,35	-0,35	-0,35	0.002	0.082
A_23_P425116	SPAG11B	-0,35	-0,45	-0,25	0.029	0.355
A_33_P3322460		-0,35	-0,25	-0,44	0.024	0.326
A_33_P3218504	LOC100128869	-0,35	-0,28	-0,41	0.008	0.182
A_23_P206920	MYH11	-0,35	-0,30	-0,39	0.003	0.094
A_33_P3411392	LINC00028	-0,35	-0,35	-0,34	0.021	0.304
A_33_P3234984	IFT81	-0,35	-0,12	-0,57	0.006	0.164
A_32_P100683	TTC28	-0,35	-0,49	-0,21	0.002	0.065
A_23_P421401	PDGFRB	-0,34	-0,29	-0,40	0.007	0.165
A_24_P48495	LYPD3	-0,34	-0,40	-0,29	0.016	0.270
A_21_P0006781	LOC100507633	-0,34	-0,22	-0,46	0.006	0.163
A_33_P3263994		-0,34	-0,28	-0,41	0.043	0.418
A_24_P235049	MTHFD1L	-0,34	-0,28	-0,40	0.007	0.168
A_23_P140760	GPR97	-0,34	-0,41	-0,27	0.014	0.253
A_33_P3376131	NT5DC4	-0,34	-0,35	-0,33	0.010	0.213
A_33_P3319401	ARHGAP21	-0,34	-0,24	-0,44	0.003	0.100
A_23_P64721	HCAR3	-0,34	-0,43	-0,25	<0.001	0.023
A_23_P7412	BTNL8	-0,34	-0,33	-0,35	0.043	0.419
A_21_P0003706	MGC39584	-0,34	-0,28	-0,40	0.030	0.362
A_33_P3407540	TRAPPC2	-0,34	-0,34	-0,34	0.003	0.099

A_23_P114740	CFH	-0,34	-0,43	-0,25	0.015	0.256
A_21_P0005990	XLOC_007438	-0,34	-0,41	-0,26	0.028	0.346
A_33_P3415888	TEPP	-0,34	-0,25	-0,43	0.006	0.150
A_21_P0011392	REREP3	-0,34	-0,39	-0,29	<0.001	0.001
A_21_P0005269	XLOC_006304	-0,34	-0,45	-0,23	0.023	0.321
A_21_P0002956	XLOC_002636	-0,34	-0,48	-0,20	0.003	0.100
A_21_P0012036	XLOC_I2_007706	-0,34	-0,35	-0,32	0.017	0.273
A_33_P3366028	C2orf118	-0,34	-0,36	-0,32	0.009	0.203
A_33_P3272105	FLJ38576	-0,34	-0,45	-0,23	0.033	0.376
A_21_P0007569	XLOC_009781	-0,34	-0,29	-0,38	0.014	0.250
A_21_P0001908	DDX18	-0,33	-0,47	-0,19	0.035	0.386
A_21_P0012443	XLOC_I2_010226	-0,33	-0,62	-0,05	0.015	0.261
A_21_P0014409	LOC100506553	-0,33	-0,36	-0,31	0.018	0.284
A_19_P0031909						
3	XLOC_010204	-0,33	-0,22	-0,44	0.004	0.132
A_21_P0009743	XLOC_013263	-0,33	-0,36	-0,30	0.018	0.287
A_21_P0014510	LOC645321	-0,33	0,07	-0,73	0.023	0.321
A_24_P237270	ADORA2A	-0,33	-0,33	-0,33	<0.001	0.005
A_33_P3358844		-0,33	-0,27	-0,39	0.020	0.295
A_33_P3370060	ARHGAP23	-0,33	-0,18	-0,48	0.033	0.376
A_21_P0006664	XLOC_008436	-0,33	-0,40	-0,26	0.027	0.342
A_23_P416305	RPL27A	-0,33	-0,32	-0,33	0.014	0.251
A_21_P0004641	MUC22	-0,33	-0,25	-0,40	0.014	0.247
A_21_P0001471	XLOC_000721	-0,33	-0,25	-0,40	0.009	0.203
A_33_P3368920		-0,33	-0,30	-0,35	0.028	0.349
A_24_P389285	C7orf54	-0,33	-0,24	-0,41	0.008	0.184
A_33_P3368208	ABRA	-0,33	-0,44	-0,21	0.023	0.320
A_33_P3691168	IL31RA	-0,33	-0,35	-0,30	<0.001	0.010
A_21_P0008666	XLOC_011338	-0,33	-0,52	-0,13	0.021	0.306
A_23_P329924	HCAR2	-0,32	-0,38	-0,27	0.005	0.141
A_33_P3213311		-0,32	0,04	-0,69	0.039	0.403
A_23_P160336	LEFTY1	-0,32	-0,28	-0,36	0.016	0.264
A_23_P139912	IGFBP6	-0,32	-0,28	-0,36	0.017	0.276
A_21_P0007851	XLOC_009879	-0,32	-0,41	-0,23	0.043	0.421
A_33_P3259736	AMACR	-0,32	-0,22	-0,43	0.016	0.266
A_21_P0006890	XLOC_008549	-0,32	-0,25	-0,39	0.004	0.117
A_23_P25674	CKB	-0,32	-0,39	-0,25	<0.001	0.001
A_21_P0004337	XLOC_004637	-0,32	-0,04	-0,59	0.042	0.413
A_23_P314101	SUSD2	-0,32	-0,37	-0,27	0.002	0.083
A_33_P3406245	TAF1A	-0,32	-0,36	-0,27	<0.001	0.003
A_23_P153616	MADCAM1	-0,32	-0,51	-0,13	0.028	0.352
A_33_P3287058		-0,32	-0,24	-0,39	0.043	0.418
A_23_P66767	GGT6	-0,32	-0,26	-0,38	0.046	0.432
A_33_P3629151	CDRT8	-0,32	-0,64	0,01	0.050	0.447
A_23_P37088	RDH12	-0,32	-0,32	-0,32	0.010	0.208
A_21_P0006380	XLOC_007745	-0,32	-0,50	-0,14	0.027	0.344
A_23_P137665	CHI3L1	-0,32	-0,41	-0,23	0.044	0.422

A_33_P3307490	SYNRG	-0,32	-0,47	-0,17	0.009	0.203
A_23_P88909	SYNGR3	-0,32	-0,28	-0,35	0.014	0.252
A_21_P0007880	LOC100507195	-0,32	-0,14	-0,50	0.023	0.319
A_33_P3352632	LOC728147	-0,32	-0,28	-0,35	<0.001	<0.001
A_21_P0002213	XLOC_001465	-0,32	-0,30	-0,33	0.034	0.380
A_33_P3264965		-0,32	-0,35	-0,28	0.012	0.230
A_32_P133767	C12orf42	-0,32	-0,36	-0,27	0.033	0.379
A_23_P132378	CELSR1	-0,31	-0,44	-0,19	0.015	0.262
A_21_P0005028	XLOC_005731	-0,31	-0,20	-0,43	0.004	0.126
A_21_P0008657	XLOC_011317	-0,31	-0,35	-0,27	0.046	0.430
A_23_P103775	LRRC8C	-0,31	-0,31	-0,32	<0.001	<0.001
A_33_P3382276	ST6GAL1	-0,31	-0,23	-0,39	0.013	0.239
A_33_P3363173		-0,31	-0,44	-0,19	0.029	0.356
A_24_P115932	PTGDR2	-0,31	-0,41	-0,22	0.004	0.121
A_33_P3256425	BICD1	-0,31	-0,24	-0,38	0.001	0.055
A_21_P0008790	XLOC_011592	-0,31	-0,47	-0,15	0.020	0.300
A_23_P65041	RACGAP1P	-0,31	-0,47	-0,15	0.003	0.102
A_33_P3366048	C20orf112	-0,31	-0,39	-0,23	0.049	0.444
A_33_P3341424	MYO10	-0,31	-0,29	-0,33	<0.001	0.019
A_33_P3370094	MME	-0,31	-0,36	-0,26	0.014	0.247
A_24_P548866	HIGD1A	-0,31	-0,14	-0,48	0.028	0.352
A_33_P3289456		-0,31	-0,30	-0,32	0.025	0.331
A_33_P3356070	LPIN1	-0,31	-0,30	-0,32	0.034	0.381
A_21_P0014580	LOC100507195	-0,31	-0,32	-0,29	0.030	0.360
A_21_P0008496	XLOC_011147	-0,31	-0,24	-0,38	0.003	0.095
A_23_P328022	SLC5A10	-0,31	-0,35	-0,26	<0.001	0.028
A_33_P3314813	C11orf94	-0,31	-0,42	-0,19	0.001	0.035
A_21_P0006678	LOC100506853	-0,31	-0,36	-0,25	0.035	0.383
A_33_P3275233	LOC100131792	-0,31	-0,39	-0,22	0.003	0.108
A_33_P3324904		-0,31	-0,33	-0,28	0.008	0.186
A_33_P3337277	LOC100129846	-0,31	-0,08	-0,53	0.023	0.320
A_33_P3289621	LOC283143	-0,31	-0,29	-0,32	0.015	0.258
A_24_P82155	ANKDD1A	-0,30	-0,31	-0,30	0.017	0.275
A_21_P0011320	XLOC_I2_004640	-0,30	-0,48	-0,12	0.018	0.285
A_33_P3416206	ARHGAP17	-0,30	-0,35	-0,26	<0.001	<0.001
A_33_P3373598	TREML2P1	-0,30	-0,38	-0,22	0.010	0.214
A_23_P352619	TIFA	-0,30	-0,38	-0,22	0.018	0.283
A_33_P3304538	RNF207	-0,30	-0,32	-0,28	<0.001	0.007
A_33_P3287472	PPP1R27	-0,30	-0,14	-0,46	0.011	0.217
A_33_P3531204	C1QTNF9B-AS1	-0,30	-0,24	-0,36	0.015	0.262
A_24_P811704	PPFIBP1	-0,30	-0,33	-0,27	0.007	0.167
A_33_P3256793	KIAA1324	-0,30	-0,34	-0,26	0.011	0.221
A_33_P3336113	TIGD3	-0,30	-0,31	-0,28	<0.001	<0.001
A_21_P0000900	LOC100505678	-0,30	-0,24	-0,35	0.014	0.251
A_23_P69326	CADPS	-0,30	-0,30	-0,29	0.018	0.281
A_21_P0010297	XLOC_014111	-0,30	-0,17	-0,42	0.001	0.053
A_23_P130815	KIR2DS2	-0,30	-0,36	-0,23	0.019	0.292

A_23_P216307	RUNX1T1	-0,30	-0,32	-0,27	0.049	0.440
A_23_P256965	C8orf12	-0,30	-0,25	-0,34	0.016	0.271
A_23_P214360	IRF4	-0,30	-0,23	-0,37	<0.001	0.001
A_21_P0000319	SNORA29	-0,29	-0,12	-0,47	0.003	0.092
A_21_P0006234	XLOC_007591	-0,29	-0,13	-0,46	0.008	0.183
A_23_P70794	RAB23	-0,29	-0,20	-0,39	0.025	0.333
A_33_P3415430	HSPA1B	-0,29	-0,33	-0,26	<0.001	<0.001
A_24_P706340	FAM155A	-0,29	-0,24	-0,35	0.027	0.341
A_21_P0005590	XLOC_006319	-0,29	-0,28	-0,31	0.025	0.333
A_33_P3237664	HDAC7	-0,29	-0,28	-0,31	<0.001	<0.001
A_21_P0006012	XLOC_007370	-0,29	-0,24	-0,35	0.020	0.296
A_33_P3315263	KRT79	-0,29	-0,26	-0,32	0.026	0.337
A_24_P354724	TAGAP	-0,29	-0,27	-0,32	<0.001	<0.001
A_33_P3285018		-0,29	-0,20	-0,38	0.018	0.286
A_21_P0000005	SMTNL1	-0,29	-0,26	-0,32	0.044	0.421
A_21_P0008465	XLOC_011081	-0,29	-0,41	-0,17	0.003	0.110
A_23_P214300	GSTA2	-0,29	-0,27	-0,31	0.022	0.315
A_33_P3337500		-0,29	-0,12	-0,46	0.049	0.442
A_21_P0001593	XLOC_001072	-0,29	-0,47	-0,11	0.040	0.408
A_33_P3212456	STX1A	-0,29	-0,29	-0,29	0.041	0.412
A_21_P0004343	XLOC_004657	-0,29	-0,24	-0,34	0.014	0.254
A_21_P0011896	XLOC_I2_007834	-0,29	-0,16	-0,42	0.019	0.293
A_21_P0005549	XLOC_006669	-0,29	-0,22	-0,36	0.015	0.258
A_23_P143526	S100B	-0,29	-0,36	-0,21	0.021	0.304
A_21_P0000486	SNORD103A	-0,29	-0,25	-0,33	<0.001	0.021
A_24_P382319	CEACAM1	-0,29	-0,29	-0,28	0.002	0.089
A_21_P0010839	XLOC_I2_001683	-0,29	-0,24	-0,34	0.025	0.330
A_33_P3242793	C1orf81	-0,29	-0,18	-0,39	0.010	0.209
A_24_P10137	C13orf15	-0,29	-0,36	-0,21	<0.001	0.004
A_23_P129856	HIC1	-0,29	-0,42	-0,15	0.028	0.351
A_33_P3358863		-0,29	-0,47	-0,10	0.043	0.418
A_23_P95060	EPHB3	-0,29	-0,35	-0,23	<0.001	<0.001
A_21_P0011964	XLOC_I2_008259	-0,29	-0,08	-0,49	0.021	0.307
A_33_P3230048	LOC647020	-0,29	-0,24	-0,33	0.042	0.415
A_21_P0000311	SNORA14A	-0,29	-0,36	-0,21	<0.001	<0.001
A_23_P213102	PALLD	-0,29	-0,26	-0,31	<0.001	0.003
A_21_P0007284	XLOC_009302	-0,28	-0,31	-0,26	<0.001	0.012
A_33_P3307887	LOC100128653	-0,28	-0,25	-0,32	0.017	0.275
A_33_P3256844	WDR49	-0,28	-0,03	-0,54	0.005	0.142
A_23_P423695	MXD4	-0,28	-0,48	-0,09	0.032	0.373
A_21_P0009701	XLOC_013027	-0,28	-0,39	-0,18	0.019	0.294
A_33_P3334948		-0,28	-0,31	-0,26	0.021	0.306
A_33_P3327504	OR51V1	-0,28	-0,31	-0,26	0.034	0.381
A_33_P3221432	ZNF284	-0,28	-0,18	-0,39	0.004	0.126
A_23_P53891	KLF5	-0,28	-0,24	-0,32	0.010	0.209
A_19_P0032141						
4	LOC285419	-0,28	-0,23	-0,34	0.025	0.333

A_33_P3285391		-0,28	-0,27	-0,30	0.042	0.416
A_33_P3399864	ZNF792	-0,28	-0,18	-0,38	0.001	0.044
A_33_P3382629		-0,28	-0,25	-0,31	0.035	0.387
A_33_P3299309	RPL28	-0,28	-0,17	-0,40	0.006	0.163
A_23_P130585	CIB3	-0,28	-0,28	-0,28	0.004	0.126
A_33_P3313532	ANKRD20A1	-0,28	-0,61	0,04	0.025	0.329
A_21_P0014815	LOC646778	-0,28	-0,02	-0,54	0.018	0.287
A_32_P148275	SPIC	-0,28	-0,38	-0,18	0.046	0.433
A_33_P3311245	KRTAP19-7	-0,28	-0,19	-0,37	0.022	0.310
A_21_P0013669	XLOC_I2_015288	-0,28	-0,22	-0,34	0.041	0.410
A_21_P0008383	XLOC_010922	-0,28	-0,25	-0,31	0.038	0.401
A_19_P0080913						
9		-0,28	-0,09	-0,46	0.045	0.426
A_21_P0005152	XLOC_005575	-0,28	-0,31	-0,25	0.014	0.255
A_33_P3221384		-0,28	-0,29	-0,26	0.033	0.378
A_21_P0011438	XLOC_I2_005198	-0,28	-0,06	-0,49	0.032	0.370
A_33_P3362178	PROX2	-0,28	-0,27	-0,28	0.035	0.386
A_33_P3240966		-0,28	-0,24	-0,31	0.026	0.338
A_24_P418536		-0,28	-0,40	-0,16	0.050	0.446
A_24_P260101	MME	-0,28	-0,29	-0,26	0.017	0.279
A_21_P0007310	MRPL23-AS1	-0,28	-0,08	-0,47	0.040	0.408
A_24_P331150	CYP4F22	-0,28	-0,24	-0,31	0.019	0.293
A_33_P3275495	LOC400743	-0,27	-0,27	-0,28	0.012	0.231
A_33_P3412603		-0,27	-0,40	-0,15	0.001	0.047
A_33_P3406962	GATA4	-0,27	-0,29	-0,26	0.020	0.299
A_21_P0014217	LOC100507278	-0,27	-0,38	-0,17	0.030	0.361
A_33_P3333712	SCYL2	-0,27	-0,28	-0,27	0.001	0.036
A_21_P0013644	XLOC_I2_015205	-0,27	-0,37	-0,18	0.022	0.310
A_21_P0011043	XLOC_I2_002928	-0,27	-0,28	-0,26	0.027	0.345
A_33_P3232677		-0,27	-0,35	-0,20	0.037	0.395
A_33_P3364741	MRC2	-0,27	-0,34	-0,21	0.010	0.206
A_32_P213330	RGNEF	-0,27	-0,50	-0,04	0.036	0.391
A_21_P0000112	ZNF726	-0,27	-0,25	-0,29	0.017	0.275
A_21_P0013837	XLOC_I2_015855	-0,27	-0,28	-0,26	0.007	0.174
A_33_P3342628	HES4	-0,27	-0,33	-0,21	0.001	0.030
A_33_P3354176	MYOF	-0,27	-0,39	-0,15	<0.001	0.012
A_21_P0006583	XLOC_008223	-0,27	-0,20	-0,34	0.030	0.364
A_32_P46594	LOC145837	-0,27	-0,28	-0,26	0.036	0.390
A_33_P3357332		-0,27	-0,47	-0,06	0.010	0.206
A_23_P143845	TIPARP	-0,27	-0,25	-0,29	<0.001	<0.001
A_21_P0006413	LOC100133123	-0,27	-0,29	-0,25	0.039	0.406
A_33_P3423979	PALLD	-0,27	-0,32	-0,22	<0.001	0.009
A_21_P0013881	XLOC_I2_015893	-0,27	-0,13	-0,41	0.011	0.221
A_21_P0000316	SNORA20	-0,27	-0,27	-0,27	<0.001	<0.001
A_33_P3365047	RBBP9	-0,27	-0,19	-0,35	0.002	0.079
A_33_P3272744	RHBG	-0,27	-0,23	-0,30	0.008	0.184
A_23_P151895	CILP	-0,27	-0,32	-0,21	0.032	0.371

A_33_P3402103	C1orf201	-0,27	-0,38	-0,15	0.024	0.328
A_21_P0008228	LINC00442	-0,27	-0,37	-0,16	0.044	0.421
A_33_P3212804	C22orf42	-0,27	-0,37	-0,16	0.038	0.397
A_21_P0009706	XLOC_013036	-0,27	-0,45	-0,09	0.022	0.315
A_21_P0014913	LINC00458	-0,27	-0,12	-0,42	0.045	0.429
A_33_P3215232		-0,27	-0,19	-0,34	0.021	0.307
A_33_P3318327	FLJ31713	-0,27	-0,34	-0,19	0.032	0.372
A_33_P3338071		-0,27	-0,31	-0,23	0.009	0.196
A_21_P0008117	XLOC_010496	-0,27	-0,28	-0,25	0.001	0.047
A_21_P0008965	XLOC_011774	-0,27	-0,15	-0,38	0.035	0.383
A_21_P0011669	CLEC4GP1	-0,27	-0,27	-0,26	0.031	0.365
A_33_P3314091		-0,26	-0,32	-0,21	<0.001	0.020
A_23_P58770	HAND1	-0,26	-0,32	-0,21	0.036	0.389
A_23_P167061	PPEF2	-0,26	-0,18	-0,35	0.033	0.377
A_23_P16817	CLK1	-0,26	-0,28	-0,25	<0.001	<0.001
A_33_P3255531	LOC100129216	-0,26	-0,29	-0,23	0.008	0.183
A_33_P3211513	CLK1	-0,26	-0,22	-0,31	<0.001	<0.001
A_33_P3279949	LOC100128170	-0,26	-0,41	-0,12	0.032	0.370
A_21_P0000928	LOC115110	-0,26	-0,27	-0,26	0.003	0.110

Supplemental Table 4

The table shows the transcripts which were up-regulated 180 minutes post-stress exposure compared to the pre-stress timepoint in both groups. It shows the differences in log₂ expression values (t₂-t₀) across both groups, and separately for the control group and the early adversity group. The *p*-values result from the limma *t*-test. The *p*-values were multiplicity-adjusted to control the false discovery rate (FDR) by the Benjamini–Hochberg procedure.

t₀: 45 minutes pre-stress exposure; t₂: 180 minutes post-stress exposure.

Agilent Probe ID	Gene Symbol	Mean expression change across both groups t ₁ -t ₀ (log ₂ expression values)	Control Group (log ₂ expression values t ₁ -t ₀)	Early Adversity (log ₂ expression values t ₁ -t ₀)	<i>p</i> -value (main effect stress)	adj. <i>p</i> -value (main effect stress)
A_23_P259071	AREG	2,67	2,71	2,69	<0.001	<0.001
A_23_P398566	NR4A3	2,50	2,33	2,74	<0.001	<0.001
A_33_P3295203	HAS1	2,44	2,33	2,74	<0.001	<0.001
A_33_P3419190	AREG	1,67	1,61	1,71	<0.001	<0.001
A_23_P74609	G0S2	1,48	1,36	1,60	<0.001	<0.001
A_23_P121596	PPBP	1,29	1,62	1,14	<0.001	0.008
A_23_P46936	EGR2	1,27	1,20	1,39	<0.001	<0.001
A_23_P214080	EGR1	1,23	1,23	1,29	<0.001	<0.001
A_24_P79403	PF4	1,23	1,44	1,14	<0.001	0.004
A_23_P71037	IL6	1,22	0,93	1,53	<0.001	<0.001
A_33_P3272948	C17orf107	0,87	0,92	0,89	<0.001	<0.001
A_24_P262127	RRAD	0,83	0,66	0,99	<0.001	<0.001
A_33_P3295358	ANGPTL4	0,80	0,73	0,86	<0.001	0.004
A_33_P3337272	NRARP	0,79	0,69	0,87	<0.001	<0.001
A_19_P00317910	XLOC_I2_015034	0,79	0,84	0,75	<0.001	<0.001
A_23_P87879	CD69	0,78	0,73	0,93	<0.001	<0.001
A_33_P3250165	ERMN	0,75	0,60	0,87	<0.001	<0.001
A_19_P00316415	Q8LKN9	0,74	0,72	0,64	<0.001	<0.001
A_23_P78037	CCL7	0,74	0,72	0,83	<0.001	0.001
A_21_P0009488	XLOC_012694	0,73	0,84	0,71	<0.001	<0.001
A_24_P37409	DUSP2	0,68	0,66	0,71	<0.001	<0.001
A_23_P29257	H1FO	0,67	0,59	0,62	<0.001	<0.001
A_21_P0008786	XLOC_011590	0,66	0,59	0,66	<0.001	<0.001
A_33_P3395605	TMEM119	0,65	0,62	0,71	<0.001	<0.001
A_33_P3296181	CCL3L3	0,64	0,59	0,67	<0.001	<0.001
A_33_P3390057	TM4SF1	0,62	0,32	1,03	0.014	0.128
A_24_P183150	CXCL3	0,62	0,76	0,51	<0.001	0.009
A_33_P3298810	FFAR3	0,61	0,48	0,76	<0.001	0.006
A_23_P103110	MAFF	0,61	0,57	0,68	<0.001	<0.001
A_21_P0002920	XLOC_003383	0,60	0,66	0,53	<0.001	<0.001
A_33_P3241661	LOC388780	0,60	0,70	0,51	<0.001	0.001
A_32_P154223	LOC100505683	0,60	0,67	0,62	<0.001	<0.001
A_23_P165840	ODC1	0,60	0,56	0,53	<0.001	<0.001

A_23_P122924	INHBA	0,59	0,55	0,67	<0.001	<0.001
A_23_P64792	KCNMB4	0,58	0,50	0,64	<0.001	<0.001
A_21_P0005249	XLOC_006178	0,57	0,70	0,47	<0.001	<0.001
A_23_P101905	APC2	0,57	0,39	0,67	<0.001	0.001
A_23_P29124	GP1BB	0,57	0,84	0,36	0.007	0.084
A_23_P129717	ERI2	0,57	0,53	0,43	<0.001	<0.001
A_33_P3618561	LOC730961	0,57	0,47	0,64	<0.001	0.002
A_21_P0007977	XLOC_010543	0,56	0,70	0,34	0.001	0.014
A_21_P0005260	XLOC_006245	0,56	0,81	0,19	<0.001	0.003
A_33_P3353263	CYB5RL	0,56	0,53	0,71	<0.001	<0.001
A_33_P3351566	ETNK1	0,56	0,46	0,75	<0.001	0.001
A_23_P150609	IGF2	0,55	0,51	0,35	0.001	0.014
A_33_P3737979	SCARNA23	0,55	0,54	0,60	0.001	0.011
A_33_P3263664	KRTAP6-2	0,54	0,50	0,58	<0.001	<0.001
A_23_P324327	GPRC5B	0,54	0,40	0,60	<0.001	<0.001
A_23_P320578	RGS16	0,53	0,47	0,35	<0.001	0.002
A_21_P0005402	XLOC_006178	0,53	0,47	0,50	<0.001	0.004
A_23_P416581	GNAZ	0,53	0,71	0,32	0.021	0.173
A_21_P0002169	XLOC_001342	0,53	0,35	0,48	<0.001	0.002
A_23_P70670	CD83	0,52	0,46	0,57	<0.001	<0.001
A_32_P169179	MSX2P1	0,52	0,46	0,61	0.001	0.012
A_23_P146946	CST6	0,52	0,69	0,34	<0.001	0.005
A_21_P0011102	XLOC_I2_003419	0,51	0,51	0,54	0.002	0.026
A_33_P3290089	LOC100505585	0,51	0,76	0,42	<0.001	0.002
A_23_P136347	EPS8	0,51	0,39	0,65	<0.001	<0.001
A_23_P121657	HS3ST1	0,51	0,59	0,32	<0.001	<0.001
A_33_P3212804	C22orf42	0,50	0,46	0,54	<0.001	0.001
A_23_P40453	CBR3	0,50	0,64	0,40	<0.001	0.009
A_33_P3395688	MYZAP	0,50	0,60	0,16	0.037	0.246
A_21_P0011420	XLOC_I2_005150	0,50	0,21	0,72	0.002	0.037
A_23_P392429	ZNF396	0,49	0,77	0,19	0.001	0.016
A_33_P3283944		0,49	0,56	0,49	<0.001	<0.001
A_21_P0010216	XLOC_014115	0,49	0,52	0,29	0.002	0.027
A_33_P3321293	IQGAP3	0,49	0,12	0,75	<0.001	0.002
A_23_P374902	CLDND2	0,49	0,56	0,44	<0.001	0.008
A_33_P3342563	PITPNM3	0,48	0,54	0,43	0.001	0.012
A_32_P79483	LOC283481	0,48	0,45	0,61	0.001	0.022
A_33_P3507562	SNHG1	0,48	0,47	0,46	0.004	0.053
A_21_P0007712	XLOC_010097	0,48	0,39	0,46	0.001	0.016
A_21_P0009683	XLOC_012978	0,48	0,82	0,25	0.009	0.093
A_21_P0012101	XLOC_I2_008396	0,48	0,25	0,61	<0.001	0.001
A_23_P66180	CACNG3	0,48	0,46	0,44	0.006	0.076
A_21_P0002251	XLOC_001558	0,48	0,35	0,52	<0.001	0.009
A_33_P3214466	MESP1	0,47	0,51	0,43	<0.001	<0.001
A_33_P3736195	DKFZp686M1136	0,47	0,59	0,46	0.003	0.045
A_23_P21376	MAGI2	0,47	0,39	0,60	0.008	0.087
A_21_P0002805	XLOC_002921	0,47	0,65	0,35	0.014	0.132
A_23_P251647	RFESD	0,47	0,46	0,42	<0.001	0.005
A_21_P0011428	SLC9B1	0,47	0,06	0,80	0.002	0.031
A_21_P0010618	XLOC_I2_000941	0,46	0,39	0,64	<0.001	0.001

A_23_P35977	PDZD3	0,46	0,57	0,30	<0.001	0.005
A_33_P3401753	FFAR3	0,46	0,47	0,44	<0.001	0.010
A_32_P196142	LOC100130938	0,46	0,50	0,38	0.009	0.098
A_33_P3423874	MYZAP	0,46	0,60	0,35	0.001	0.017
A_23_P150693	FJX1	0,46	0,39	0,52	0.002	0.031
A_33_P3240078		0,45	0,34	0,52	<0.001	0.003
A_21_P0008024	LINC00442	0,45	0,26	0,57	0.015	0.139
A_23_P71328	MATN2	0,45	0,67	0,10	0.002	0.029
A_21_P0006272	XLOC_007718	0,45	0,37	0,55	<0.001	0.010
A_32_P3572		0,45	0,44	0,52	<0.001	0.005
A_21_P0004636	XLOC_005184	0,44	0,13	0,55	0.020	0.168
A_24_P944588	ZNF682	0,44	0,54	0,21	0.002	0.034
A_21_P0012789	XLOC_I2_011227	0,44	0,08	0,69	0.004	0.052
A_23_P88069	LHFP	0,44	0,45	0,37	<0.001	<0.001
A_21_P0007440	XLOC_009185	0,44	0,43	0,49	<0.001	0.002
A_33_P3280597		0,43	0,43	0,44	<0.001	<0.001
A_23_P210425	MYL9	0,43	0,57	0,34	0.011	0.109
A_21_P0000558	LOC100302650	0,43	0,31	0,59	0.012	0.119
A_33_P3270429	NR1D2	0,43	0,26	0,56	0.001	0.015
A_21_P0005818	XLOC_007054	0,43	0,38	0,43	<0.001	<0.001
A_33_P3359438		0,43	0,41	0,35	<0.001	<0.001
A_33_P3226420	RSAD2	0,43	0,66	0,24	0.002	0.029
A_21_P0014691	LOC100287808	0,43	0,56	0,04	0.006	0.071
A_33_P3238290	FAM65C	0,43	0,40	0,36	0.010	0.105
A_23_P70719	LAMA2	0,43	0,60	0,21	0.001	0.013
A_23_P159335	CD8B	0,42	0,20	0,43	0.003	0.048
A_33_P3269110	GUCY1A3	0,42	0,37	0,50	0.001	0.012
A_24_P11436	TTC22	0,42	0,13	0,58	0.005	0.066
A_21_P0010916	XLOC_I2_001548	0,42	0,11	0,42	0.010	0.106
A_23_P127406	KDM4D	0,42	0,64	0,15	0.002	0.029
A_33_P3369446		0,42	0,63	0,28	0.001	0.024
A_24_P203056	BCL7A	0,42	0,46	0,39	<0.001	<0.001
A_19_P00320543	ZNF519	0,42	0,52	0,34	0.001	0.020
A_33_P3277373	OSM	0,42	0,37	0,52	<0.001	0.005
A_23_P72668	SDPR	0,42	0,54	0,41	0.050	0.291
A_23_P217845	RGS16	0,42	0,29	0,46	0.002	0.030
A_33_P3244784		0,42	0,28	0,42	0.002	0.029
A_19_P00322118	LOC728730	0,42	0,52	0,38	<0.001	0.009
A_19_P00316340	LOC100506860	0,41	0,38	0,48	0.018	0.153
A_33_P3323136	ENKUR	0,41	0,60	0,43	0.035	0.237
A_33_P3354607	CCL4	0,41	0,34	0,50	<0.001	0.001
A_21_P0010320	XLOC_014057	0,41	0,44	0,23	0.001	0.018
A_23_P361841	RIMKLB	0,41	0,29	0,46	<0.001	0.011
A_21_P0010118	XLOC_013728	0,41	0,46	0,31	<0.001	0.004
A_19_P00321743	LOC100130938	0,41	0,55	0,14	0.040	0.255
A_33_P3396050	LOC440386	0,41	0,22	0,46	0.002	0.035
A_23_P252541	RAB7B	0,41	0,41	0,44	<0.001	<0.001
A_33_P3294103		0,41	0,41	0,22	0.003	0.042
A_33_P3265030	GP1BB	0,41	0,54	0,36	0.026	0.195
A_23_P47682	NRIP3	0,41	0,42	0,41	<0.001	<0.001

A_33_P3234202	DNASE1L3	0,41	0,19	0,56	0.001	0.024
A_23_P83134	GAS1	0,40	0,34	0,45	0.004	0.051
A_33_P3606465	CBX3P2	0,40	0,47	0,34	<0.001	<0.001
A_23_P429998	FOSB	0,40	0,12	0,76	0.003	0.043
A_21_P0002168	XLOC_001342	0,40	0,22	0,42	0.001	0.025
A_21_P0003476	XLOC_003976	0,40	-0,19	0,86	0.028	0.208
A_33_P3332955	CLEC1B	0,40	0,59	0,14	0.024	0.186
A_21_P0000546	LOC100128023	0,40	0,31	0,44	0.024	0.187
A_33_P3275846	CACNA1A	0,40	0,45	0,35	<0.001	<0.001
A_33_P3789382	LOC84989	0,40	0,45	0,27	0.003	0.044
A_23_P57379	CDC45	0,39	0,28	0,36	0.003	0.045
A_33_P3401711	USH1G	0,39	0,41	0,40	0.009	0.098
A_21_P0003757	XLOC_004049	0,39	-0,08	0,70	0.031	0.221
A_21_P0011494	XLOC_I2_005606	0,39	-0,04	0,75	0.042	0.267
A_21_P0005617	FLJ45248	0,39	0,39	0,41	<0.001	<0.001
A_33_P3411632	TMEM121	0,39	0,26	0,49	0.001	0.022
A_21_P0002453	XLOC_002131	0,39	0,43	0,45	0.010	0.102
A_33_P3248137	OLFML2A	0,39	0,39	0,35	0.013	0.126
A_33_P3306146	PLAU	0,39	0,25	0,48	0.001	0.020
A_23_P80551	KRBOX1	0,39	0,24	0,33	0.004	0.055
A_23_P141092	TFAP4	0,39	0,40	0,35	0.003	0.048
A_23_P18672	GBA3	0,38	0,26	0,37	0.003	0.045
A_21_P0013104	XLOC_I2_013149	0,38	0,10	0,59	0.012	0.118
A_23_P74449	HPDL	0,38	0,37	0,38	0.001	0.016
A_21_P0000353	SCARNA23	0,38	0,14	0,61	0.006	0.072
A_21_P0012475	XLOC_I2_010489	0,38	0,39	0,30	0.006	0.073
A_21_P0002252	XLOC_001558	0,38	0,30	0,49	<0.001	<0.001
A_21_P0002573	XLOC_001342	0,38	0,53	0,21	<0.001	0.002
A_33_P3276703	VGf	0,38	0,37	0,34	0.006	0.072
A_21_P0001475	XLOC_000732	0,38	0,22	0,49	<0.001	0.007
A_21_P0003105	XLOC_003062	0,38	0,22	0,51	0.007	0.084
A_23_P257365	GFI1	0,38	0,17	0,44	0.004	0.051
A_21_P0010262	XLOC_013973	0,38	0,68	0,09	0.004	0.058
A_32_P232035	LOC100270746	0,38	0,39	0,31	0.002	0.036
A_23_P376449		0,38	0,41	0,20	0.013	0.125
A_32_P80850	COL14A1	0,38	0,19	0,37	0.035	0.237
A_24_P220485	OLFML2A	0,38	0,44	0,32	<0.001	0.001
A_21_P0010076	XLOC_013431	0,38	0,48	0,31	0.014	0.129
A_21_P0002930	XLOC_002577	0,38	0,19	0,47	0.010	0.105
A_19_P00320275	XLOC_008079	0,38	0,22	0,35	0.021	0.171
A_23_P71649	MUSK	0,37	0,15	0,38	0.025	0.193
A_21_P0011960	XLOC_I2_008226	0,37	0,30	0,24	0.001	0.015
A_33_P3357954	ETV1	0,37	0,30	0,37	0.016	0.142
A_19_P00321291	IPW	0,37	0,33	0,41	0.006	0.071
A_21_P0001541	XLOC_000910	0,37	0,52	0,28	0.011	0.111
A_33_P3229171	FLJ44635	0,37	0,40	0,41	<0.001	0.009
A_33_P3382565	KIF26B	0,37	0,43	0,35	0.005	0.064
A_21_P0000578	LOC100132163	0,37	0,43	0,40	0.007	0.082
A_21_P0004276	XLOC_004467	0,37	0,62	0,25	0.004	0.051
A_21_P0004866	LINC00240	0,37	0,42	0,18	0.029	0.208

A_33_P3578477	LOC641467	0,37	0,26	0,37	0.001	0.024
A_21_P0010465	XLOC_014244	0,37	0,51	0,11	0.011	0.111
A_23_P381017	WBSCR27	0,37	0,43	0,35	<0.001	0.010
A_23_P56559	DHRS9	0,37	0,29	0,43	<0.001	<0.001
A_33_P3409124	NR1D2	0,37	0,32	0,43	<0.001	<0.001
A_33_P3341524		0,37	0,45	0,30	<0.001	0.001
A_21_P0010323	XLOC_014105	0,37	0,03	0,56	0.016	0.142
A_21_P0014562	LOC100505636	0,37	0,59	0,16	0.012	0.118
A_33_P3372099	DDIT4L	0,36	0,42	0,20	0.001	0.019
A_33_P3226735	STL	0,36	0,44	0,24	0.006	0.074
A_21_P0006014	XLOC_007388	0,36	0,33	0,44	0.006	0.076
A_23_P215744	CTTNBP2	0,36	0,23	0,34	<0.001	0.011
A_21_P0008110	CLYBL	0,36	-0,03	0,44	0.022	0.173
A_33_P3325643	LINC00487	0,36	0,10	0,44	0.005	0.066
A_24_P166663	CDK6	0,36	0,34	0,42	<0.001	<0.001
A_23_P149613	FMO1	0,36	0,00	0,49	0.039	0.254
A_32_P217750	IL3RA	0,36	0,27	0,43	<0.001	<0.001
A_21_P0003090	XLOC_002996	0,36	0,25	0,38	0.008	0.086
A_33_P3295091	C1orf140	0,36	-0,17	0,64	0.030	0.213
A_24_P411749	GPR126	0,36	0,33	0,24	0.012	0.119
A_33_P3303372	PARD3	0,36	0,39	0,14	0.011	0.113
A_21_P0002461	XLOC_002168	0,36	0,54	0,19	0.036	0.240
A_33_P3302448	LINGO3	0,36	0,39	0,34	<0.001	0.004
A_23_P327156	LOC645431	0,36	0,43	0,25	0.015	0.136
A_23_P302672	DDIT4L	0,35	0,50	0,18	0.007	0.081
A_33_P3462692	SNORA58	0,35	0,01	0,55	0.010	0.103
A_33_P3289246		0,35	0,28	0,37	0.007	0.078
A_21_P0012085	XLOC_I2_008221	0,35	0,33	0,29	0.005	0.067
A_33_P3387458	SFMBT2	0,35	0,22	0,49	0.001	0.021
A_19_P00316013		0,35	0,42	0,20	0.019	0.160
A_23_P386942	DIRAS1	0,35	0,40	0,27	0.005	0.066
A_21_P0007637	XLOC_009897	0,35	0,33	0,39	<0.001	0.007
A_21_P0004676	LINC00222	0,35	0,52	0,13	0.018	0.155
A_21_P0013257	LOC100289187	0,35	0,36	0,25	0.007	0.080
A_23_P134384	PHF14	0,35	0,37	0,34	<0.001	<0.001
A_23_P380990	CLEC4F	0,35	0,33	0,43	<0.001	0.002
A_33_P3420879	LOC646482	0,35	0,23	0,39	0.013	0.127
A_23_P127697		0,35	0,16	0,45	0.006	0.072
A_23_P49559	GPR142	0,35	0,37	0,27	0.033	0.230
A_32_P163089	C12orf75	0,35	0,17	0,44	0.021	0.172
A_23_P42241	OR5V1	0,35	-0,24	0,83	0.042	0.264
A_21_P0007248	XLOC_009233	0,35	0,22	0,32	0.010	0.103
A_32_P104432	LINC00087	0,35	0,35	0,38	0.001	0.015
A_23_P155487	SLC38A3	0,35	0,32	0,27	0.031	0.220
A_33_P3258617	PLIN2	0,35	0,38	0,28	<0.001	0.003
A_21_P0010659	XLOC_I2_001153	0,34	0,50	0,29	0.007	0.084
A_21_P0009554	XLOC_012833	0,34	0,40	0,35	0.001	0.019
A_23_P128215	SOCS2	0,34	0,22	0,18	0.032	0.224
A_21_P0010940	SLC9B1	0,34	0,20	0,43	0.009	0.098
A_33_P3781228	FLJ26332	0,34	0,39	0,30	<0.001	0.001

A_23_P41194	LRRC34	0,34	0,38	0,27	<0.001	0.003
A_19_P00318375	LOC148696	0,34	0,19	0,37	0.020	0.168
A_21_P0011498	XLOC_I2_005295	0,34	0,03	0,51	0.007	0.083
A_33_P3307197	PTGFRN	0,34	0,25	0,40	<0.001	<0.001
A_24_P154142	RXFP4	0,34	0,24	0,52	0.006	0.073
A_21_P0006331	XLOC_007879	0,34	0,40	0,21	0.002	0.030
A_33_P3363254		0,34	0,12	0,43	0.022	0.177
A_33_P3317580	GFRA2	0,34	0,37	0,28	<0.001	<0.001
A_23_P168130	IP6K3	0,34	0,12	0,54	0.021	0.173
A_23_P401361	PITPNM2	0,34	0,42	0,19	0.032	0.224
A_21_P0003626	XLOC_003595	0,34	0,30	0,31	0.003	0.044
A_24_P313180	C14orf1	0,34	0,38	0,24	0.024	0.184
A_33_P3502914	ZDHHC8P1	0,34	0,16	0,50	0.007	0.078
A_23_P422981	FBXO36	0,34	0,44	0,28	0.003	0.049
A_23_P20697	ADAMTSL2	0,33	0,50	0,28	0.019	0.159
A_33_P3280705		0,33	0,30	0,36	0.017	0.147
A_33_P3342780	ADAMTS13	0,33	0,38	0,21	0.004	0.055
A_33_P3423530	TPK1	0,33	0,36	0,24	0.021	0.168
A_33_P3353365	SLC17A4	0,33	0,36	0,16	0.039	0.253
A_21_P0000122	LOC100288814	0,33	0,16	0,46	0.018	0.154
A_21_P0014363	LOC100505577	0,33	0,30	0,33	0.017	0.148
A_33_P3314659	SPEF2	0,33	0,37	0,28	0.006	0.069
A_21_P0002823	XLOC_002968	0,33	0,06	0,47	0.026	0.195
A_21_P0012177	XLOC_I2_009105	0,33	0,37	0,49	0.010	0.104
A_19_P00322453	XLOC_I2_010405	0,33	0,33	0,19	0.009	0.097
A_21_P0007888	XLOC_010172	0,33	0,39	0,15	0.008	0.092
A_33_P3228340	DYNC2LI1	0,33	0,52	0,20	0.010	0.107
A_21_P0004838	XLOC_005173	0,33	0,46	0,15	0.021	0.171
A_33_P3243667	ZNF678	0,33	0,56	0,15	0.036	0.242
A_21_P0001931	XLOC_001728	0,33	0,35	0,24	0.009	0.100
A_33_P3256550	MST152	0,33	0,29	0,29	0.022	0.177
A_23_P119353	RASIP1	0,33	0,21	0,44	0.008	0.090
A_21_P0000960	XLOC_000107	0,33	0,23	0,39	<0.001	<0.001
A_23_P147245	OSBPL10	0,33	0,20	0,36	0.004	0.058
A_33_P3336720	HAMP	0,33	0,20	0,35	<0.001	<0.001
A_23_P216596	SVEP1	0,33	0,14	0,40	0.003	0.042
A_33_P3209615	KRTAP4-8	0,33	0,26	0,44	<0.001	0.008
A_33_P3248035		0,33	0,29	0,31	0.004	0.050
A_33_P3305446	DEFB121	0,33	0,14	0,49	0.045	0.274
A_33_P3222917	CD276	0,32	0,37	0,25	<0.001	0.001
A_33_P3548860	SEC1	0,32	0,39	0,31	<0.001	<0.001
A_21_P0006517	XLOC_008072	0,32	0,55	0,09	0.025	0.188
A_33_P3371703		0,32	0,37	0,34	0.018	0.155
A_21_P0014565	LOC100507484	0,32	0,07	0,49	0.034	0.233
A_33_P3353190		0,32	0,32	0,38	0.001	0.024
A_32_P40744		0,32	0,23	0,34	0.001	0.019
A_21_P0013304	XLOC_I2_013808	0,32	0,27	0,41	0.013	0.124
A_21_P0009978	XLOC_013574	0,32	0,29	0,43	0.019	0.159
A_21_P0005688	XLOC_006774	0,32	0,32	0,34	<0.001	0.002
A_33_P3306948	LRP6	0,32	0,06	0,36	0.005	0.064

A_33_P3376090	OR1J4	0,32	0,23	0,28	0.003	0.044
A_33_P3334180	PLCH2	0,32	-0,20	0,57	0.012	0.119
A_33_P3351180		0,32	0,33	0,22	0.034	0.232
A_23_P31984	ACTL7A	0,32	0,43	-0,03	0.023	0.179
A_19_P00321382	LOC100506860	0,32	0,25	0,40	0.003	0.046
A_24_P270728	NUPR1	0,32	0,37	0,25	0.018	0.155
A_21_P0014463	LOC100507133	0,32	0,36	0,29	0.001	0.025
A_23_P368718	SPRYD7	0,32	0,15	0,47	0.015	0.135
A_33_P3359704	ZNF703	0,32	0,32	0,33	<0.001	0.006
A_32_P799227	FAM22A	0,32	0,10	0,42	0.006	0.070
A_23_P404162	HDAC9	0,32	0,22	0,45	0.001	0.023
A_21_P0012074	LOC654342	0,32	0,27	0,26	0.022	0.177
A_21_P0011383	UBE2Q2P2	0,32	0,19	0,41	0.011	0.111
A_33_P3306749	OLFM1	0,32	0,25	0,46	0.036	0.242
A_21_P0007541	XLOC_009707	0,32	0,22	0,33	0.041	0.262
A_21_P0010866	XLOC_I2_001929	0,32	0,23	0,38	0.021	0.168
A_21_P0009835	LOC100270679	0,31	0,23	0,24	0.027	0.199
A_32_P158083	LHFPL3	0,31	0,16	0,43	0.020	0.166
A_24_P176714	B9D1	0,31	0,39	0,31	<0.001	0.001
A_33_P3338047	PNPLA7	0,31	0,29	0,19	0.005	0.062
A_21_P0013875	XLOC_I2_015878	0,31	0,01	0,46	0.018	0.154
A_33_P3217020	RAPH1	0,31	0,20	0,41	<0.001	0.001
A_23_P135257	PRSS3	0,31	0,45	0,15	0.003	0.047
A_23_P147665	OLFML1	0,31	0,19	0,28	0.014	0.131
A_23_P309198	C21orf67	0,31	0,40	0,22	0.017	0.148
A_24_P246293	FDXACB1	0,31	0,40	0,17	0.009	0.100
A_21_P0006472	XLOC_008263	0,31	0,14	0,50	0.002	0.029
A_21_P0011983	XLOC_I2_008396	0,31	0,14	0,46	0.015	0.134
A_21_P0002743	XLOC_002664	0,31	0,24	0,31	0.007	0.084
A_33_P3401119	FAM22F	0,31	0,15	0,42	0.006	0.073
A_33_P3379486	LOC100130581	0,31	0,32	0,29	0.011	0.109
A_33_P3686706	C14orf99	0,31	0,21	0,33	0.004	0.053
A_33_P3390539	GYLTL1B	0,31	0,16	0,30	0.009	0.094
A_23_P26325	CCL17	0,31	0,28	0,25	0.012	0.116
A_33_P3391100		0,31	0,47	0,19	0.004	0.059
A_23_P332584	KIAA1107	0,31	0,46	0,33	0.006	0.073
A_33_P3235731		0,31	0,27	0,29	0.024	0.187
A_21_P0004296	XLOC_004548	0,31	0,25	0,44	0.022	0.178
A_23_P346800	AVPR2	0,31	0,23	0,12	0.042	0.266
A_33_P3882624	POT1	0,31	0,17	0,31	0.004	0.059
A_21_P0000065	SLC1A3	0,31	0,46	0,18	0.021	0.171
A_33_P3394140	LOC283050	0,31	0,34	0,37	<0.001	0.004
A_21_P0012280	VWF	0,31	0,13	0,53	0.004	0.055
A_19_P00322426	LOC441204	0,31	0,46	0,20	0.003	0.043
A_24_P281636		0,31	0,14	0,32	0.028	0.205
A_21_P0002165	XLOC_001338	0,30	0,09	0,50	0.023	0.180
A_21_P0001958	XLOC_001826	0,30	0,15	0,49	0.045	0.277
A_21_P0001786	XLOC_002049	0,30	0,49	0,07	0.023	0.181
A_33_P3417086	NIPAL1	0,30	0,09	0,50	0.013	0.125
A_23_P357248	ZNF343	0,30	0,36	0,23	0.004	0.058

A_24_P409985	TMEM44	0,30	0,22	0,30	0.020	0.165
A_23_P107465	KRT31	0,30	0,20	0,33	0.001	0.021
A_33_P3210358		0,30	0,19	0,37	0.011	0.109
A_33_P3344765		0,30	0,31	0,06	0.037	0.247
A_33_P3394965		0,30	0,42	0,09	0.009	0.099
A_24_P510357		0,30	0,04	0,47	0.026	0.195
A_23_P126649	PGBD5	0,30	0,24	0,31	0.008	0.089
A_23_P107775	TMEM190	0,30	0,21	0,23	0.007	0.080
A_21_P0014250	LOC100289455	0,30	0,39	0,19	0.010	0.106
A_33_P3326382	STX1B	0,30	0,20	0,30	0.044	0.273
A_21_P0013468	XLOC_I2_014101	0,30	0,21	0,38	0.002	0.029
A_23_P113656	TUBB4A	0,30	0,08	0,35	0.013	0.123
A_23_P431305	FAM69B	0,30	0,25	0,30	0.015	0.135
A_33_P3251761		0,30	0,28	0,28	0.001	0.025
A_19_P00319712	Q442D3	0,30	0,40	0,18	0.003	0.039
A_21_P0003704	XLOC_003839	0,30	0,26	0,37	<0.001	0.001
A_33_P3314301	SV2C	0,30	0,06	0,43	0.024	0.186
A_21_P0009342	LOC645638	0,30	0,26	0,18	0.032	0.222
A_21_P0011301	WHAMMP2	0,30	0,27	0,26	0.007	0.079
A_21_P0003930	XLOC_004577	0,30	0,32	0,23	0.045	0.277
A_33_P3355252		0,30	0,22	0,46	0.037	0.245
A_32_P89352	MACROD2	0,29	0,31	0,10	0.002	0.032
A_33_P3337134	ABLIM2	0,29	0,07	0,47	0.033	0.231
A_23_P29096	PDE9A	0,29	0,46	0,05	0.006	0.074
A_33_P3348011	TOB2P1	0,29	0,29	0,31	<0.001	0.006
A_33_P3334773	MYOD1	0,29	0,30	0,18	0.032	0.226
A_21_P0000547	TNIK	0,29	0,31	0,24	0.007	0.080
A_23_P106024	JAG2	0,29	0,33	0,29	<0.001	0.001
A_23_P325924	FAM59B	0,29	0,43	0,08	0.046	0.279
A_21_P0003338	XLOC_003465	0,29	0,25	0,40	0.001	0.026
A_21_P0012898	XLOC_I2_011987	0,29	0,39	0,18	0.021	0.173
A_23_P201066	SUSD4	0,29	0,28	0,13	0.031	0.221
A_23_P83634	ALOX12B	0,29	0,44	-0,03	0.013	0.125
A_33_P3402257	MS4A18	0,29	0,26	0,17	0.021	0.169
A_33_P3319765	FANCC	0,29	0,17	0,24	0.020	0.166
A_23_P365738	ARC	0,29	0,24	0,30	0.017	0.150
A_21_P0014213	LOC100506966	0,29	0,44	0,07	0.012	0.115
A_23_P214897	AKAP12	0,29	0,06	0,55	0.038	0.250
A_21_P0010732	XLOC_I2_000465	0,29	-0,25	0,52	0.038	0.250
A_32_P52018	PHACTR1	0,29	0,36	0,25	0.003	0.041
A_23_P421011	KAZALD1	0,29	0,39	0,11	0.027	0.199
A_23_P145024	ADRB2	0,29	0,34	0,28	<0.001	0.008
A_33_P3241786	ADD2	0,29	0,27	0,35	0.005	0.067
A_21_P0000843	LOC100507250	0,29	0,08	0,39	0.030	0.215
A_33_P3357292	WBP2NL	0,29	0,52	0,11	0.007	0.084
A_21_P0010762	XLOC_I2_000941	0,29	0,16	0,39	0.030	0.214
A_33_P3397314		0,29	0,20	0,33	0.017	0.150
A_33_P3232692	IL24	0,29	0,24	0,23	0.022	0.174
A_32_P120791	LOC727916	0,29	0,25	0,30	0.022	0.177
A_21_P0010742	XLOC_I2_000636	0,29	0,36	0,28	0.011	0.112

A_21_P0003868	XLOC_003807	0,29	-0,01	0,52	0,047	0,283
A_21_P0007043	LOC399715	0,29	0,49	0,27	0,013	0,124
A_21_P0009384	XLOC_012161	0,29	0,02	0,45	0,048	0,285
A_23_P125977	C1QC	0,29	0,39	0,14	0,007	0,079
A_33_P3374778	FLJ36644	0,29	0,28	0,37	0,030	0,215
A_21_P0002590	XLOC_001441	0,29	0,37	0,17	0,033	0,230
A_23_P254831	MAGEB2	0,29	0,39	0,21	0,047	0,282
A_33_P3305998		0,29	0,07	0,46	0,012	0,120
A_23_P143906	MLF1	0,29	0,26	0,39	0,039	0,254
A_33_P3221843	COQ3	0,29	0,19	0,39	0,001	0,019
A_24_P392022	FAM86A	0,29	0,57	0,09	0,016	0,145
A_21_P0005812	XLOC_007037	0,29	0,13	0,35	0,030	0,214
A_21_P0003627	XLOC_003595	0,29	0,21	0,35	0,001	0,014
A_21_P0007368	XLOC_009494	0,29	0,57	0,06	0,025	0,193
A_33_P3390187	NHLRC4	0,29	0,27	0,22	0,013	0,123
A_23_P99442	FLT3	0,29	0,38	0,18	0,023	0,179
A_33_P3282556	TMEM204	0,29	0,17	0,29	0,001	0,020
A_21_P0008554	XLOC_011213	0,28	0,28	0,27	0,037	0,244
A_21_P0007265	XLOC_009252	0,28	0,26	0,27	0,022	0,178
A_21_P0005495	XLOC_006436	0,28	0,34	0,20	<0,001	0,010
A_33_P3325395		0,28	0,25	0,20	0,041	0,261
A_21_P0013437	XLOC_I2_013874	0,28	0,27	0,22	0,024	0,188
A_33_P3401093	FBXO36	0,28	0,38	0,18	0,012	0,119
A_21_P0014599	LOC100506007	0,28	0,23	0,23	0,015	0,135
A_21_P0010995	XLOC_I2_002441	0,28	0,45	0,04	0,010	0,106
A_33_P3276250	TMEM191C	0,28	0,12	0,43	0,012	0,117
A_33_P3233165	CCDC104	0,28	0,50	0,09	0,040	0,259
A_21_P0005409	XLOC_006188	0,28	0,37	0,15	0,010	0,101
A_19_P00320288	OXR1	0,28	0,45	0,09	0,012	0,120
A_21_P0012135	LOC100507629	0,28	0,22	0,27	0,050	0,291
A_21_P0006871	XLOC_008481	0,28	0,12	0,22	0,048	0,286
A_23_P32078	SLC28A3	0,28	0,51	0,16	0,015	0,138
A_23_P110531	FST	0,28	0,10	0,43	0,018	0,157
A_33_P3297126	TSNARE1	0,28	0,33	0,30	<0,001	0,010
A_21_P0002501	XLOC_002309	0,28	0,19	0,38	0,017	0,148
A_33_P3401661		0,28	0,12	0,27	0,021	0,171
A_23_P76622	DCT	0,28	0,23	0,16	0,049	0,289
A_21_P0012700	XLOC_I2_011407	0,28	0,49	-0,06	0,030	0,215
A_33_P3215605		0,28	0,10	0,50	0,033	0,230
A_24_P165205	MORN1	0,28	0,29	0,28	0,009	0,100
A_33_P3236065	CLEC1B	0,28	0,44	0,11	0,048	0,288
A_33_P3253598	GYG2P1	0,28	0,35	0,21	0,031	0,217
A_21_P0001336	LRRC8C	0,28	0,17	0,38	0,002	0,033
A_21_P0005031	XLOC_005755	0,28	0,09	0,40	0,036	0,244
A_21_P0006177	XLOC_007451	0,28	0,20	0,23	0,014	0,132
A_19_P00318519	LOC100506259	0,28	-0,20	0,69	0,050	0,291
A_21_P0012726	XLOC_I2_010679	0,28	0,03	0,52	0,050	0,292
A_23_P79108	ATP8B3	0,28	0,13	0,37	<0,001	0,011
A_23_P153964	INHBB	0,28	0,21	0,30	0,044	0,273
A_21_P0004156	XLOC_004928	0,28	-0,18	0,64	0,043	0,267

A_33_P3224078	LOC442421	0,28	0,39	0,08	0.004	0.050
A_24_P48403	YES1	0,28	0,05	0,43	0.013	0.127
A_21_P0002186	DNAJC27-AS1	0,28	0,27	0,31	0.049	0.291
A_21_P0003312	XLOC_003400	0,28	0,26	0,26	0.001	0.016
A_21_P0000130	LOC100289187	0,28	0,32	0,23	0.004	0.058
A_23_P46315	DENND2C	0,28	0,31	0,26	0.029	0.212
A_21_P0010829	XLOC_I2_001597	0,28	0,29	0,29	0.047	0.282
A_21_P0011201	TPTE2P3	0,28	0,02	0,46	0.034	0.233
A_21_P0002627	XLOC_001835	0,28	0,26	0,25	0.034	0.234
A_24_P162373	ZNRF3	0,28	0,34	0,19	<0.001	<0.001
A_24_P79070	GNG8	0,28	0,33	0,15	0.011	0.111
A_33_P3271246		0,28	0,27	0,19	0.009	0.100
A_21_P0011013	XLOC_I2_002729	0,28	0,36	0,08	0.005	0.060
A_33_P3423121	RDX	0,28	0,15	0,33	0.044	0.272
A_23_P256047	ANKRD5	0,28	0,48	0,24	0.023	0.180
A_33_P3358943	GRM2	0,28	0,30	0,21	0.015	0.135
A_24_P50091	DNM1P46	0,28	0,21	0,30	0.003	0.042
A_21_P0003716	XLOC_003867	0,28	0,27	0,09	0.014	0.130
A_33_P3215739	LNP1	0,27	0,09	0,45	0.011	0.111
A_21_P0002948	XLOC_002618	0,27	-0,01	0,46	0.023	0.178
A_23_P9869	CNDP1	0,27	0,33	0,12	0.021	0.170
A_33_P3375899		0,27	0,13	0,25	0.047	0.282
A_21_P0009867	XLOC_013589	0,27	0,16	0,30	0.009	0.096
A_21_P0010863	LINC00202	0,27	0,30	0,25	0.014	0.128
A_24_P927325	C2CD3	0,27	0,34	0,29	0.004	0.052
A_23_P216845	GFI1B	0,27	0,30	0,16	0.002	0.029
A_21_P0008784	XLOC_011586	0,27	0,30	0,21	0.022	0.175
A_21_P0006886	XLOC_008530	0,27	0,32	0,27	0.043	0.267
A_23_P125686	INGX	0,27	0,23	0,19	0.037	0.245
A_21_P0010651	XLOC_I2_001089	0,27	0,29	0,05	0.033	0.231
A_33_P3384578		0,27	0,23	0,16	0.027	0.199
A_32_P163858	SCD	0,27	0,20	0,33	0.001	0.017
A_21_P0002669	XLOC_002198	0,27	0,15	0,33	0.045	0.277
A_33_P3249305	CHRD	0,27	0,17	0,50	0.019	0.161
A_21_P0010211	LOC100505974	0,27	0,16	0,31	0.006	0.075
A_21_P0014166	LOC100506379	0,27	0,37	0,04	0.001	0.018
A_23_P314145	UST	0,27	0,34	0,10	0.029	0.212
A_33_P3332999		0,27	0,22	0,28	0.023	0.180
A_21_P0013472	XLOC_I2_014182	0,27	0,27	0,09	0.040	0.258
A_21_P0010623	XLOC_I2_000941	0,27	0,26	0,22	0.028	0.204
A_21_P0010619	XLOC_I2_000941	0,27	0,24	0,29	0.005	0.060
A_33_P3316318	CEP120	0,27	0,21	0,35	0.031	0.221
A_23_P129801	RAB40B	0,27	0,36	0,16	<0.001	<0.001
A_32_P152195	STAC2	0,27	0,27	0,18	0.013	0.126
A_33_P3328814	SETBP1	0,27	0,40	0,09	0.047	0.283
A_23_P31725	BLK	0,27	0,21	0,25	0.004	0.056
A_23_P16189	PRKCG	0,27	0,09	0,43	0.018	0.156
A_21_P0008247	XLOC_010544	0,27	0,30	0,26	0.015	0.134
A_19_P00317553	XLOC_011803	0,27	0,21	0,35	0.004	0.058
A_33_P3339361	ARHGAP11A	0,27	0,10	0,50	0.029	0.210

A_33_P3281373		0,27	0,39	0,10	0.038	0.248
A_33_P3403162	SLC18A1	0,27	0,27	0,12	0.042	0.264
A_21_P0011382	XLOC_I2_005020	0,27	0,17	0,35	0.001	0.015
A_19_P00320434	XLOC_001728	0,27	0,07	0,37	<0.001	0.010
A_23_P34888	CHIA	0,27	0,09	0,37	0.035	0.236
A_19_P00323082	H19	0,27	0,37	0,30	0.028	0.204
A_21_P0009797	XLOC_013181	0,27	0,44	0,05	0.027	0.199
A_21_P0009837	XLOC_013494	0,27	0,19	0,24	0.036	0.244
A_33_P3351495		0,27	0,35	0,16	0.045	0.277
A_33_P3336760	ABCB4	0,27	0,45	0,17	0.028	0.207
A_23_P389987	TLX2	0,27	0,34	0,07	0.036	0.241
A_19_P00315753	LOC344595	0,27	0,09	0,28	0.030	0.215
A_21_P0006369	LOC100288842	0,27	0,38	0,20	0.005	0.064
A_21_P0011508	XLOC_I2_005622	0,27	0,09	0,37	0.012	0.115
A_33_P3398331	MMP24	0,26	0,40	0,14	0.012	0.120
A_21_P0003319	XLOC_003737	0,26	0,24	0,11	0.047	0.282
A_21_P0003603	XLOC_003514	0,26	0,13	0,30	0.007	0.083
A_24_P943566	PHACTR1	0,26	0,20	0,33	0.016	0.143
A_33_P3325285		0,26	0,23	0,22	0.037	0.247

Supplemental Table 5

The table shows the transcripts which were down-regulated 180 minutes post-stress exposure compared to the pre-stress timepoint in both groups. It shows the differences in log₂ expression values (t₂-t₀) across both groups, and separately for the control group and the early adversity group. The *p*-values result from the limma *t*-test. The *p*-values were multiplicity-adjusted to control the false discovery rate (FDR) by the Benjamini–Hochberg procedure.

t₀: 45 minutes pre-stress exposure; t₂: 180 minutes post-stress exposure

Agilent Probe ID	Gene Symbol	Mean expression change across both groups t ₁ -t ₀ (log ₂ expression values)	Control Group (log ₂ expression values t ₁ -t ₀)	Early Adversity (log ₂ expression values t ₁ -t ₀)	<i>p</i> -value (main effect stress)	adj. <i>p</i> -value (main effect stress)
A_21_P0007219	XLOC_009167	-0,72	-0,80	-0,62	<0.001	0.001
A_33_P3379881		-0,64	-0,36	-0,82	<0.001	0.001
A_33_P3385351		-0,63	-0,02	-0,72	0.039	0.255
A_33_P3318766		-0,61	-0,05	-0,61	0.047	0.282
A_33_P3346688	HSPA8	-0,60	-0,67	-0,40	<0.001	<0.001
A_33_P3314813	C11orf94	-0,60	-0,54	-0,56	<0.001	<0.001
A_23_P4714	MIA	-0,59	-0,55	-0,63	<0.001	<0.001
A_33_P3262074		-0,59	-0,56	-0,57	<0.001	<0.001
A_21_P0010087	XLOC_013531	-0,58	-0,97	-0,06	0.007	0.083
A_33_P3691168	IL31RA	-0,57	-0,60	-0,57	<0.001	<0.001
A_23_P7684	CCNJL	-0,56	-0,52	-0,50	0.004	0.054
A_33_P3593774	PIK3R3	-0,54	-0,37	-0,63	<0.001	0.009
A_33_P3348752	HSPH1	-0,54	-0,58	-0,53	<0.001	<0.001
A_23_P43157	MYBL1	-0,53	-0,73	-0,48	0.010	0.105
A_21_P0014451	LOC100287506	-0,53	-0,39	-0,63	0.046	0.278
A_21_P0012108	XLOC_I2_008450	-0,53	-0,65	-0,38	0.006	0.076
A_33_P3304533	RNF207	-0,53	-0,43	-0,61	<0.001	<0.001
A_33_P3371999	TPPP	-0,52	-0,54	-0,46	<0.001	<0.001
A_21_P0004617	XLOC_005900	-0,52	-0,41	-0,48	<0.001	<0.001
A_33_P3323463	HSPA8	-0,51	-0,52	-0,43	<0.001	<0.001
A_24_P245379	SERPINB2	-0,51	-0,39	-0,66	<0.001	<0.001
A_21_P0001004	XLOC_000357	-0,51	-0,44	-0,49	<0.001	0.007
A_23_P88119	HSPH1	-0,51	-0,53	-0,53	<0.001	<0.001
A_33_P3288605		-0,51	-0,47	-0,57	<0.001	<0.001
A_33_P3807268	DNAJA1P5	-0,50	-0,51	-0,47	<0.001	0.006
A_21_P0002056	XLOC_002122	-0,50	-0,54	-0,35	<0.001	0.004
A_33_P3369317	DNAJB5	-0,49	-0,44	-0,52	<0.001	<0.001
A_21_P0011725	XLOC_I2_006944	-0,49	-0,61	-0,34	<0.001	<0.001
A_21_P0003604	XLOC_003522	-0,49	-0,46	-0,49	<0.001	<0.001
A_33_P3423979	PALLD	-0,49	-0,50	-0,43	<0.001	<0.001
A_23_P140760	GPR97	-0,48	-0,52	-0,37	0.001	0.026
A_33_P3352283		-0,48	-0,36	-0,63	0.049	0.291
A_33_P3340752	LOC100130887	-0,48	-0,36	-0,65	<0.001	<0.001
A_23_P128375	C12orf34	-0,48	-0,55	-0,35	<0.001	<0.001

A_33_P3221432	ZNF284	-0,48	-0,25	-0,77	<0.001	<0.001
A_33_P3407880	ANKRD22	-0,47	-0,35	-0,53	<0.001	<0.001
A_33_P3374673	GNN	-0,47	-0,50	-0,37	<0.001	0.002
A_33_P3321372	CNTNAP3	-0,47	-0,62	-0,13	0.018	0.152
A_32_P100683	TTC28	-0,46	-0,35	-0,53	0.001	0.014
A_21_P0012967	XLOC_I2_011891	-0,46	-0,52	-0,44	0.007	0.084
A_19_P00315524	MIAT	-0,46	-0,30	-0,35	0.001	0.020
A_23_P163209	BCL2L10	-0,46	-0,36	-0,56	0.044	0.272
A_23_P70794	RAB23	-0,46	-0,35	-0,64	0.001	0.013
A_23_P210465	PI3	-0,46	-0,64	-0,18	0.007	0.083
A_33_P3333712	SCYL2	-0,45	-0,24	-0,59	<0.001	<0.001
A_33_P3352632	LOC728147	-0,45	-0,41	-0,43	<0.001	<0.001
A_32_P161913	C1orf70	-0,45	-0,18	-0,62	0.031	0.222
A_23_P92107	SLC15A2	-0,45	-0,45	-0,37	<0.001	<0.001
A_33_P3276845	LOC100288018	-0,45	-0,20	-0,62	0.003	0.040
A_33_P3237634	TSC22D3	-0,45	-0,47	-0,45	<0.001	<0.001
A_24_P931964	LOC100128816	-0,45	-0,37	-0,45	<0.001	<0.001
A_21_P0002189	XLOC_001406	-0,45	-0,50	-0,45	<0.001	0.008
A_24_P260101	MME	-0,45	-0,43	-0,43	0.002	0.028
A_24_P703462		-0,45	-0,44	-0,38	<0.001	<0.001
A_24_P177553		-0,45	-0,43	-0,37	0.004	0.056
A_21_P0006803	XLOC_008995	-0,44	-0,68	-0,20	0.009	0.098
A_33_P3358844		-0,44	-0,53	-0,13	0.001	0.013
A_33_P3275233	LOC100131792	-0,44	-0,46	-0,51	<0.001	0.001
A_23_P213102	PALLD	-0,44	-0,44	-0,38	<0.001	<0.001
A_24_P353619	ALPL	-0,44	-0,58	-0,18	0.008	0.087
A_23_P208747	PGLYRP1	-0,44	-0,40	-0,48	0.006	0.074
A_24_P382319	CEACAM1	-0,44	-0,45	-0,41	<0.001	0.002
A_23_P206293	GPR114	-0,44	-0,46	-0,41	<0.001	0.005
A_24_P938614	CDS1	-0,44	-0,29	-0,48	<0.001	0.008
A_24_P407235	CRY1	-0,44	-0,39	-0,45	<0.001	<0.001
A_33_P3415430	HSPA1B	-0,44	-0,47	-0,41	<0.001	<0.001
A_23_P7412	BTNL8	-0,43	-0,57	-0,25	0.029	0.211
A_33_P3260317	NR6A1	-0,43	-0,26	-0,65	<0.001	0.006
A_33_P3861634	LOC285084	-0,43	-0,68	-0,17	0.037	0.247
A_23_P4096	CA4	-0,43	-0,39	-0,40	0.019	0.161
A_23_P129425	TSNAXIP1	-0,43	-0,51	-0,25	0.001	0.016
A_32_P52785	DAAM2	-0,43	-0,35	-0,42	0.009	0.095
A_21_P0007561	XLOC_009764	-0,43	-0,26	-0,42	0.015	0.139
A_33_P3502037	CHORDC1	-0,42	-0,45	-0,37	<0.001	<0.001
A_33_P3214343		-0,42	-0,15	-0,58	0.002	0.028
A_24_P9671	DNAJA1	-0,42	-0,39	-0,42	<0.001	<0.001
A_33_P3626709	LOC100129280	-0,42	-0,17	-0,52	<0.001	0.001
A_21_P0000485	SNORD77	-0,42	-0,51	-0,14	0.001	0.014
A_33_P3294277	CYP4F3	-0,42	-0,30	-0,51	0.001	0.021
A_21_P0000166	LOC100506012	-0,42	-0,49	-0,36	0.001	0.021
A_23_P216712	TRPM6	-0,41	-0,35	-0,54	0.019	0.161
A_23_P149775	ARHGAP12	-0,41	-0,35	-0,44	<0.001	<0.001
A_23_P368484	C17orf76	-0,41	-0,41	-0,39	<0.001	<0.001
A_23_P258483	ANKRD55	-0,41	0,08	-0,85	<0.001	0.009

A_23_P209320	PER2	-0,41	-0,40	-0,40	<0.001	<0.001
A_24_P13715	FBXO22	-0,41	-0,04	-0,58	0.002	0.026
A_23_P308954	BHLHB9	-0,41	-0,55	-0,33	0.005	0.068
A_21_P0009092	XLOC_011630	-0,41	-0,33	-0,35	0.035	0.236
A_23_P416305	RPL27A	-0,41	-0,17	-0,34	0.002	0.027
A_21_P0007598	XLOC_009826	-0,41	-0,57	-0,36	0.048	0.285
A_33_P3424636		-0,41	-0,39	-0,27	0.043	0.269
A_33_P3268507	CEACAM1	-0,41	-0,61	-0,13	0.004	0.059
A_33_P3260747	NHSL2	-0,41	-0,41	-0,38	<0.001	<0.001
A_21_P0002284	XLOC_001649	-0,40	-0,30	-0,59	0.043	0.268
A_33_P3277110	SLC5A3	-0,40	-0,40	-0,36	<0.001	<0.001
A_33_P3271387	THAP3	-0,40	-0,43	-0,38	<0.001	<0.001
A_33_P3215232		-0,40	-0,42	-0,31	0.002	0.030
A_33_P3337500		-0,40	-0,35	-0,40	0.012	0.116
A_23_P166297	ABCG1	-0,40	-0,37	-0,45	<0.001	0.001
A_21_P0012036	XLOC_I2_007706	-0,40	-0,27	-0,39	0.008	0.092
A_33_P3247678	LOC100130876	-0,40	-0,43	-0,19	0.010	0.103
A_21_P0002470	XLOC_002194	-0,40	-0,26	-0,39	0.001	0.020
A_23_P80162	TMPRSS3	-0,40	-0,55	-0,25	0.013	0.123
A_23_P139198	LGALS12	-0,40	-0,33	-0,43	<0.001	<0.001
A_23_P93727	SDK1	-0,40	-0,41	-0,30	0.001	0.014
A_33_P3378680	ARHGAP26	-0,40	-0,38	-0,29	0.003	0.041
A_33_P3257678	HIST2H3A	-0,39	-0,32	-0,46	<0.001	0.001
A_33_P3255914	MYLIP	-0,39	-0,35	-0,41	<0.001	<0.001
A_23_P31816	DEFA3	-0,39	-0,52	-0,10	0.038	0.251
A_23_P411162	PER2	-0,39	-0,42	-0,35	<0.001	<0.001
A_32_P183970	C15orf62	-0,39	-0,47	-0,30	<0.001	0.003
A_21_P0013135	XLOC_I2_012748	-0,39	-0,48	-0,17	0.012	0.121
A_21_P0010690	XLOC_I2_000037	-0,39	-0,42	-0,25	0.006	0.069
A_33_P3376140	KCNJ15	-0,39	-0,37	-0,37	<0.001	<0.001
A_24_P583040	C17orf67	-0,39	-0,52	-0,31	0.022	0.177
A_23_P167061	PPEF2	-0,39	-0,24	-0,51	<0.001	0.008
A_33_P3273664	ARSK	-0,39	-0,27	-0,41	<0.001	0.001
A_23_P137931	ADORA3	-0,39	-0,36	-0,46	<0.001	<0.001
A_33_P3309924	HDAC2	-0,39	-0,29	-0,42	<0.001	<0.001
A_21_P0001397	XLOC_000490	-0,39	-0,32	-0,43	0.002	0.034
A_23_P348257	NUAK1	-0,39	-0,34	-0,40	0.032	0.226
A_24_P297539	UBE2C	-0,39	-0,55	-0,20	0.009	0.097
A_33_P3216621		-0,39	-0,26	-0,45	0.008	0.085
A_33_P3392004	LOC100129785	-0,39	-0,41	-0,25	0.003	0.041
A_33_P3258339	C17orf76	-0,38	-0,32	-0,44	<0.001	<0.001
A_23_P431933	CAMKK1	-0,38	-0,42	-0,30	<0.001	<0.001
A_21_P0011910	CHORDC1	-0,38	-0,37	-0,40	<0.001	<0.001
A_24_P184799	COCH	-0,38	-0,39	-0,36	0.011	0.110
A_33_P3328251	LOC100288018	-0,38	-0,22	-0,61	0.013	0.127
A_21_P0007430	XLOC_009080	-0,38	-0,24	-0,49	0.001	0.018
A_24_P350437	THAP2	-0,38	-0,27	-0,47	<0.001	<0.001
A_21_P0013834	CT45A1	-0,38	-0,31	-0,44	<0.001	<0.001
A_21_P0007880	LOC100507195	-0,38	-0,20	-0,53	0.006	0.071
A_33_P3341916	C10orf128	-0,38	-0,31	-0,40	0.003	0.049

A_33_P3316978	RNF207	-0,38	-0,57	-0,31	0.001	0.022
A_23_P50638	LRG1	-0,38	-0,34	-0,40	<0.001	<0.001
A_24_P85850	BNIP1	-0,38	-0,42	-0,60	0.004	0.055
A_23_P325155	CD200R1	-0,38	-0,33	-0,42	0.005	0.062
A_33_P3308774		-0,38	-0,29	-0,38	0.011	0.111
A_24_P237270	ADORA2A	-0,38	-0,28	-0,41	<0.001	<0.001
A_23_P303455	GPR161	-0,38	-0,40	-0,42	0.002	0.029
A_23_P211878	FLNB	-0,38	-0,40	-0,31	<0.001	<0.001
A_33_P3235034		-0,38	-0,32	-0,37	<0.001	<0.001
A_23_P30983	GJB7	-0,38	-0,49	-0,15	0.010	0.101
A_23_P66767	GGT6	-0,38	-0,35	-0,34	0.023	0.181
A_33_P3390758	HSPA8	-0,37	-0,37	-0,41	<0.001	<0.001
A_33_P3270793	FAM84A	-0,37	-0,28	-0,35	0.018	0.155
A_23_P17134	MAL	-0,37	-0,32	-0,36	0.009	0.100
A_33_P3373598	TREML2P1	-0,37	-0,29	-0,38	0.001	0.022
A_23_P89589	PER1	-0,37	-0,33	-0,46	<0.001	0.004
A_33_P3299761	KRT23	-0,37	-0,29	-0,38	<0.001	0.006
A_21_P0009485	XLOC_012688	-0,37	-0,17	-0,34	0.022	0.178
A_23_P46690	TMEM81	-0,37	-0,29	-0,47	<0.001	<0.001
A_23_P138805	CHORDC1	-0,37	-0,33	-0,40	<0.001	<0.001
A_24_P292929	CAMKK1	-0,37	-0,32	-0,34	<0.001	<0.001
A_23_P121716	ANXA3	-0,37	-0,41	-0,20	0.029	0.212
A_21_P0005807	XLOC_007020	-0,37	-0,23	-0,24	0.001	0.021
A_33_P3287472	PPP1R27	-0,37	-0,23	-0,35	0.008	0.093
A_33_P3373165	DUX4L4	-0,36	-0,27	-0,34	0.024	0.185
A_21_P0009510	XLOC_012735	-0,36	-0,28	-0,39	0.001	0.015
A_33_P3405728	PKP2	-0,36	-0,26	-0,42	<0.001	<0.001
A_23_P356554	BAG2	-0,36	-0,40	-0,35	<0.001	<0.001
A_23_P71727	CKS2	-0,36	-0,33	-0,40	<0.001	<0.001
A_33_P3285018		-0,36	-0,21	-0,41	0.013	0.123
A_23_P388301	PRR14L	-0,36	-0,34	-0,33	0.022	0.177
A_21_P0009429	XLOC_012692	-0,36	-0,18	-0,46	0.003	0.045
A_23_P311144	CCDC138	-0,36	-0,26	-0,44	0.005	0.062
A_23_P28334	IL18RAP	-0,36	-0,40	-0,27	0.044	0.274
A_33_P3266863	TMEM53	-0,36	-0,43	-0,24	0.005	0.062
A_21_P0002596	XLOC_001496	-0,36	-0,36	-0,34	<0.001	<0.001
A_33_P3254375	LOC730651	-0,36	-0,25	-0,46	<0.001	0.001
A_24_P393470	MEF2BNB	-0,36	-0,33	-0,34	<0.001	<0.001
A_33_P3265222	KIAA1324	-0,36	-0,34	-0,14	0.025	0.193
A_33_P3251685	PDP2	-0,36	-0,45	-0,32	0.011	0.108
A_21_P0005590	XLOC_006319	-0,36	-0,29	-0,35	0.011	0.111
A_23_P433798	PODNL1	-0,36	-0,32	-0,36	0.002	0.035
A_23_P34396	C1orf63	-0,36	-0,35	-0,36	<0.001	<0.001
A_32_P71788	FKBP4	-0,36	-0,36	-0,38	<0.001	<0.001
A_33_P3256793	KIAA1324	-0,36	-0,40	-0,20	0.006	0.069
A_23_P217319	FGF13	-0,36	-0,38	-0,27	0.005	0.064
A_33_P3400763	PLIN4	-0,36	-0,34	-0,32	0.002	0.033
A_21_P0013664	XLOC_I2_015239	-0,36	-0,26	-0,28	0.001	0.012
A_21_P0002274	XLOC_001637	-0,36	-0,15	-0,44	0.005	0.063
A_23_P99693	ZBTB1	-0,36	-0,34	-0,30	<0.001	<0.001

A_21_P0003042	XLOC_002872	-0,36	-0,33	-0,34	<0.001	<0.001
A_23_P77415	OSGIN1	-0,36	-0,39	-0,35	<0.001	<0.001
A_33_P3330911	BCAS1	-0,36	-0,26	-0,30	0.022	0.174
A_23_P12643	AS3MT	-0,36	-0,31	-0,35	0.003	0.046
A_23_P212258	KNG1	-0,36	-0,23	-0,48	0.010	0.102
A_23_P16817	CLK1	-0,36	-0,32	-0,35	<0.001	<0.001
A_23_P407654	C7orf51	-0,36	-0,32	-0,26	0.032	0.222
A_33_P3282374	TIAM2	-0,36	-0,33	-0,27	<0.001	0.003
A_23_P137665	CHI3L1	-0,36	-0,50	-0,11	0.025	0.190
A_21_P0007009	XLOC_008895	-0,35	-0,49	-0,33	0.027	0.199
A_21_P0000372	SNORD45C	-0,35	-0,22	-0,35	0.005	0.063
A_21_P0000663	LOC644242	-0,35	-0,30	-0,39	<0.001	<0.001
A_24_P55225	RSPH9	-0,35	-0,41	-0,27	<0.001	<0.001
A_23_P67932	CXCR1	-0,35	-0,43	-0,21	0.005	0.062
A_21_P0004449	XLOC_005026	-0,35	-0,13	-0,44	0.009	0.094
A_24_P48069	DOK4	-0,35	-0,43	-0,21	0.012	0.117
A_23_P205867	NR2E3	-0,35	0,01	-0,58	0.009	0.099
A_33_P3415888	TEPP	-0,35	-0,27	-0,24	0.005	0.066
A_21_P0000622	LOC100131176	-0,35	-0,29	-0,31	0.017	0.152
A_33_P3210278	SYNE2	-0,35	-0,46	-0,16	0.033	0.228
A_19_P00322910	TWIST2	-0,35	-0,30	-0,59	0.046	0.281
A_21_P0007539	XLOC_009705	-0,35	-0,28	-0,38	<0.001	<0.001
A_33_P3212456	STX1A	-0,35	-0,28	-0,27	0.011	0.111
A_33_P3356696	LOC100134409	-0,35	-0,12	-0,28	0.013	0.123
A_33_P3353242	HSPB1	-0,35	-0,52	-0,29	<0.001	0.001
A_21_P0003178	XLOC_003262	-0,34	-0,36	-0,29	0.044	0.272
A_21_P0009844	LOC100130157	-0,34	-0,31	-0,38	<0.001	<0.001
A_23_P34676	CD247	-0,34	-0,45	-0,16	0.018	0.155
A_24_P68311	SYNE2	-0,34	-0,39	-0,30	0.007	0.084
A_32_P776626	RGPD1	-0,34	-0,44	-0,09	0.003	0.039
A_24_P396167	CTSW	-0,34	-0,26	-0,49	0.007	0.083
A_23_P146444	CORO2A	-0,34	-0,27	-0,36	<0.001	<0.001
A_23_P153616	MADCAM1	-0,34	-0,39	-0,20	0.008	0.086
A_23_P110712	DUSP1	-0,34	-0,40	-0,28	<0.001	<0.001
A_33_P3209703		-0,34	0,07	-0,57	0.023	0.181
A_24_P22050	RAB20	-0,34	-0,33	-0,39	<0.001	<0.001
A_33_P3267532	KCNJ15	-0,34	-0,28	-0,34	<0.001	<0.001
A_23_P108082	CREB3L3	-0,34	-0,44	0,03	0.003	0.041
A_23_P137697	SELP	-0,34	-0,25	-0,36	0.003	0.044
A_21_P0009115	XLOC_011821	-0,34	-0,30	-0,39	0.004	0.051
A_32_P1173	MB21D1	-0,34	-0,33	-0,34	<0.001	<0.001
A_23_P363174	HIST1H2AL	-0,34	-0,33	-0,36	<0.001	0.003
A_32_P126609	SMC5	-0,34	-0,51	-0,22	0.026	0.196
A_21_P0005139	XLOC_005492	-0,34	-0,37	-0,26	0.002	0.029
A_19_P00329048	XLOC_I2_014585	-0,34	-0,31	-0,22	0.003	0.042
A_23_P3643	DNASE1L2	-0,34	-0,24	-0,40	<0.001	<0.001
A_24_P354724	TAGAP	-0,34	-0,27	-0,40	<0.001	<0.001
A_21_P0010021	XLOC_013688	-0,34	-0,28	-0,33	<0.001	<0.001
A_33_P3226995	CD7	-0,34	-0,26	-0,37	<0.001	0.007
A_24_P336474	NHLH1	-0,34	-0,41	-0,30	0.007	0.083

A_23_P26386	TPPP3	-0,34	-0,41	-0,25	<0.001	<0.001
A_23_P62679		-0,34	-0,15	-0,31	0.003	0.042
A_21_P0005518	XLOC_006529	-0,34	-0,04	-0,62	0.028	0.207
A_23_P35796	PPP2R5B	-0,34	-0,33	-0,33	<0.001	<0.001
A_33_P3340264	OTOG	-0,34	-0,28	-0,39	0.028	0.204
A_19_P00808588	GBP1P1	-0,33	-0,31	-0,39	0.017	0.150
A_19_P00319093	XLOC_010204	-0,33	-0,20	-0,52	0.006	0.071
A_21_P0010839	XLOC_I2_001683	-0,33	-0,31	-0,19	0.016	0.143
A_24_P389285	C7orf54	-0,33	-0,32	-0,41	0.023	0.181
A_23_P111132	HSPA1A	-0,33	-0,36	-0,33	<0.001	<0.001
A_33_P3256778	CNTF	-0,33	-0,08	-0,50	0.004	0.051
A_23_P58321	CCNA2	-0,33	-0,31	-0,32	<0.001	<0.001
A_23_P252236	KLKB1	-0,33	-0,12	-0,43	0.014	0.132
A_21_P0008500	XLOC_011151	-0,33	-0,09	-0,52	0.011	0.110
A_21_P0002177	XLOC_001363	-0,33	-0,15	-0,29	0.029	0.211
A_33_P3214550	CXCR2	-0,33	-0,39	-0,23	0.001	0.011
A_33_P3360814	NFE4	-0,33	-0,21	-0,37	0.013	0.126
A_33_P3294089		-0,33	-0,22	-0,39	<0.001	0.001
A_33_P3400708	BNIP1	-0,33	-0,43	-0,18	0.001	0.016
A_33_P3280009		-0,33	-0,29	-0,37	<0.001	0.001
A_23_P155052	APOL6	-0,33	-0,11	-0,48	0.003	0.045
A_21_P0007530	XLOC_009681	-0,33	-0,38	-0,29	<0.001	<0.001
A_24_P945113	ACVRL1	-0,33	-0,32	-0,34	<0.001	<0.001
A_33_P3342569		-0,33	-0,12	-0,47	0.011	0.111
A_33_P3323862	LOC388210	-0,33	-0,42	-0,12	0.012	0.117
A_23_P115482	UBE2T	-0,33	-0,26	-0,37	<0.001	<0.001
A_23_P208880	UHRF1	-0,33	-0,23	-0,36	0.001	0.015
A_21_P0006664	XLOC_008436	-0,33	-0,49	-0,04	0.039	0.253
A_21_P0013649	XLOC_I2_015209	-0,33	-0,09	-0,39	0.039	0.253
A_32_P220463	FBLL1	-0,33	-0,24	-0,37	<0.001	0.010
A_23_P5441	ABCB6	-0,33	-0,36	-0,23	<0.001	<0.001
A_21_P0005369	XLOC_006035	-0,33	-0,24	-0,47	0.020	0.163
A_23_P385322	STAMBPL1	-0,33	-0,15	-0,39	0.004	0.059
A_21_P0013249	XLOC_I2_013485	-0,33	-0,37	-0,20	0.006	0.071
A_24_P331704	KRT80	-0,33	-0,15	-0,57	0.001	0.018
A_21_P0006667	XLOC_008441	-0,33	-0,38	-0,33	0.002	0.036
A_23_P415015	ATL2	-0,33	-0,23	-0,45	0.007	0.081
A_21_P0013976	LOC100130476	-0,32	-0,26	-0,26	0.025	0.188
A_24_P177604	PPP1R3F	-0,32	-0,32	-0,30	<0.001	<0.001
A_33_P3407057		-0,32	-0,09	-0,48	0.002	0.028
A_33_P3319622		-0,32	-0,11	-0,23	0.020	0.166
A_21_P0014338	LOC100506183	-0,32	-0,16	-0,41	0.019	0.158
A_21_P0002261	XLOC_001595	-0,32	-0,34	-0,34	<0.001	<0.001
A_19_P00318443	XLOC_006507	-0,32	-0,40	-0,28	0.018	0.155
A_33_P3221960	IL18RAP	-0,32	-0,31	-0,29	0.027	0.200
A_21_P0010978	NEAT1	-0,32	-0,32	-0,25	0.003	0.044
A_24_P930926	BAG4	-0,32	-0,28	-0,30	0.011	0.108
A_33_P3359763	FLCN	-0,32	-0,39	-0,21	0.004	0.054
A_21_P0004400	XLOC_004839	-0,32	-0,32	-0,33	<0.001	0.010
A_33_P3685572	LOC157562	-0,32	-0,34	-0,29	<0.001	<0.001

A_21_P0011011	XLOC_I2_002659	-0,32	-0,23	-0,36	<0.001	<0.001
A_33_P3535972	CELF4	-0,32	-0,07	-0,39	0.005	0.069
A_33_P3370094	MME	-0,32	-0,28	-0,29	0.027	0.199
A_23_P149545	HIST2H2BE	-0,32	-0,23	-0,42	0.008	0.087
A_33_P3274710		-0,32	-0,33	-0,23	0.010	0.102
A_21_P0012342	PI4KA	-0,32	-0,28	-0,36	0.001	0.017
A_33_P3331641	ZNF503-AS2	-0,32	-0,33	-0,30	<0.001	<0.001
A_33_P3222524		-0,32	-0,38	-0,28	0.018	0.155
A_23_P334727	NRG4	-0,32	-0,19	-0,43	0.002	0.036
A_23_P420196	SOCS1	-0,32	-0,31	-0,31	<0.001	<0.001
A_21_P0013206	LOC100287294	-0,32	-0,43	-0,03	0.045	0.277
A_21_P0005219	XLOC_006035	-0,32	-0,16	-0,37	0.012	0.120
A_23_P94840	DYNLRB2	-0,32	-0,30	-0,29	0.006	0.071
A_24_P171058	TMEM64	-0,32	-0,27	-0,40	<0.001	<0.001
A_23_P390443	SHISA7	-0,32	-0,41	-0,27	0.037	0.245
A_33_P3277679		-0,32	-0,02	-0,48	0.021	0.169
A_33_P3236222	LOC391766	-0,31	-0,10	-0,43	0.019	0.162
A_21_P0006411	XLOC_007917	-0,31	-0,49	-0,07	0.021	0.171
A_33_P3413997		-0,31	-0,35	-0,26	0.001	0.015
A_23_P216307	RUNX1T1	-0,31	-0,40	-0,30	0.027	0.201
A_33_P3330179	LOC100131372	-0,31	-0,34	-0,24	0.026	0.195
A_33_P3311353	C15orf55	-0,31	-0,17	-0,23	0.004	0.051
A_33_P3276585	IFT74	-0,31	-0,18	-0,49	0.022	0.174
A_23_P65918	ITPKA	-0,31	-0,34	-0,29	<0.001	<0.001
A_23_P90062	DNAJB1	-0,31	-0,35	-0,26	<0.001	<0.001
A_24_P380679	C7orf53	-0,31	-0,26	-0,34	<0.001	<0.001
A_24_P49997	PFN3	-0,31	-0,18	-0,40	0.003	0.042
A_24_P358425	CCDC75	-0,31	-0,21	-0,38	<0.001	<0.001
A_33_P3369371	GPX3	-0,31	-0,28	-0,45	0.009	0.096
A_32_P41026	SC5DL	-0,31	-0,32	-0,30	<0.001	0.006
A_21_P0012185	XLOC_I2_009139	-0,31	-0,30	-0,35	<0.001	0.003
A_33_P3316403		-0,31	-0,04	-0,44	0.001	0.020
A_32_P176018	ACTL8	-0,31	-0,19	-0,34	0.027	0.203
A_21_P0000820	LOC100506668	-0,31	-0,38	-0,33	0.015	0.139
A_21_P0014670	LOC100505606	-0,31	-0,17	-0,41	<0.001	0.001
A_33_P3393010	PKDCC	-0,31	-0,52	0,00	0.045	0.275
A_21_P0012496	XLOC_I2_009820	-0,31	-0,10	-0,47	0.001	0.020
A_33_P3208995		-0,31	-0,09	-0,41	0.030	0.216
A_33_P3222852		-0,31	-0,37	-0,26	0.020	0.165
A_21_P0014580	LOC100507195	-0,31	-0,06	-0,54	0.033	0.229
A_33_P3239347	NKX3-1	-0,31	-0,32	-0,18	0.032	0.222
A_21_P0009958	XLOC_013531	-0,31	-0,37	-0,27	0.016	0.145
A_23_P167328	CD38	-0,31	-0,28	-0,35	<0.001	<0.001
A_23_P28246	SLC23A3	-0,31	-0,26	-0,35	<0.001	<0.001
A_32_P199252	HSP90AA1	-0,31	-0,33	-0,31	<0.001	<0.001
A_24_P73535	C14orf119	-0,31	-0,26	-0,25	0.015	0.137
A_21_P0010951	XLOC_I2_002033	-0,31	-0,20	-0,32	<0.001	0.010
A_32_P119248	FOXD4	-0,31	-0,29	-0,20	<0.001	0.003
A_33_P3356070	LPIN1	-0,31	-0,26	-0,37	0.004	0.060
A_33_P3273436	GALM	-0,31	-0,29	-0,29	<0.001	<0.001

A_33_P3331996	LOC100509860	-0,31	-0,17	-0,36	0.005	0.063
A_23_P114740	CFH	-0,31	-0,58	0,06	0.028	0.207
A_23_P128503	IL26	-0,31	-0,30	-0,21	0.007	0.083
A_23_P429491	C11orf82	-0,31	-0,27	-0,34	<0.001	<0.001
A_33_P3256620		-0,31	-0,39	-0,20	0.016	0.143
A_33_P3338071		-0,31	-0,31	-0,25	0.001	0.020
A_23_P19134	GPR98	-0,31	-0,38	-0,22	0.012	0.120
A_23_P37068	TRAF3	-0,31	-0,34	-0,21	0.012	0.120
A_33_P3614398	LOC283516	-0,30	-0,20	-0,23	0.046	0.279
A_33_P3304081		-0,30	-0,28	-0,28	<0.001	<0.001
A_21_P0003908	XLOC_004165	-0,30	-0,43	-0,28	0.006	0.069
A_21_P0007574	XLOC_009790	-0,30	-0,14	-0,38	0.025	0.193
A_21_P0008117	XLOC_010496	-0,30	-0,29	-0,15	0.001	0.015
A_33_P3312217	LOC729706	-0,30	-0,18	-0,38	0.012	0.114
A_33_P3372376		-0,30	-0,27	-0,30	0.012	0.119
A_33_P3257503	LOC387647	-0,30	-0,32	-0,26	<0.001	<0.001
A_32_P331052	C20orf151	-0,30	-0,27	-0,36	0.023	0.180
A_21_P0002083	XLOC_002237	-0,30	-0,18	-0,43	0.003	0.048
A_21_P0012525	XLOC_I2_010061	-0,30	-0,23	-0,37	0.037	0.244
A_33_P3332135	PHOSPHO1	-0,30	-0,35	-0,17	0.006	0.074
A_33_P3417740		-0,30	-0,15	-0,42	0.020	0.165
A_21_P0014588	LOC100507196	-0,30	-0,35	-0,22	0.011	0.109
A_33_P3520693	LOC646903	-0,30	-0,29	-0,26	0.008	0.085
A_24_P13381	TRPV4	-0,30	-0,32	-0,25	<0.001	<0.001
A_19_P00322088	LOC388210	-0,30	-0,46	-0,07	0.046	0.281
A_33_P3218490	LOC100128226	-0,30	-0,51	-0,12	0.047	0.282
A_21_P0002225	XLOC_001496	-0,30	-0,28	-0,29	<0.001	<0.001
A_21_P0011469	LOC390705	-0,30	-0,31	-0,32	0.031	0.220
A_21_P0005162	XLOC_005681	-0,30	-0,30	-0,28	<0.001	<0.001
A_24_P349965	TCF19	-0,30	-0,23	-0,40	0.044	0.272
A_33_P3216714	DNAJC6	-0,30	-0,29	-0,18	0.003	0.046
A_33_P3211513	CLK1	-0,30	-0,27	-0,29	<0.001	<0.001
A_33_P3333327		-0,30	-0,25	-0,26	0.001	0.021
A_21_P0010365	XLOC_014265	-0,30	-0,24	-0,35	0.019	0.161
A_24_P37264	RNF144A	-0,30	-0,38	-0,22	0.021	0.168
A_23_P259863	CD177	-0,30	-0,18	-0,35	0.010	0.105
A_32_P86763	TGM2	-0,30	-0,33	-0,25	0.015	0.138
A_23_P44363	CASKIN2	-0,30	-0,58	0,04	0.028	0.206
A_23_P207154	CSH2	-0,30	-0,31	-0,15	0.048	0.288
A_21_P0005438	XLOC_006277	-0,30	-0,26	-0,14	0.042	0.267
A_23_P361333	C3orf20	-0,30	-0,34	-0,32	<0.001	0.011
A_21_P0011789	XLOC_I2_007176	-0,30	-0,12	-0,41	0.001	0.021
A_33_P3334047		-0,30	-0,36	-0,21	<0.001	<0.001
A_24_P345846	ANTXR2	-0,30	-0,22	-0,29	<0.001	<0.001
A_32_P212058	CEP19	-0,30	-0,18	-0,35	<0.001	0.004
A_33_P3387856	CENPN	-0,30	-0,20	-0,29	0.024	0.184
A_24_P62659	TSPAN2	-0,30	-0,27	-0,27	0.010	0.102
A_21_P0007521	XLOC_009643	-0,30	-0,17	-0,43	0.023	0.180
A_21_P0008538	XLOC_011047	-0,29	-0,08	-0,44	0.048	0.286
A_24_P409824		-0,29	-0,35	-0,24	0.037	0.245

A_23_P70007	HMMR	-0,29	-0,20	-0,38	0.050	0.292
A_23_P102890	MRPS6	-0,29	-0,30	-0,26	<0.001	<0.001
A_21_P0003302	XLOC_003284	-0,29	-0,27	-0,30	0.025	0.193
A_33_P3372647		-0,29	-0,36	-0,23	0.004	0.052
A_33_P3312209		-0,29	-0,12	-0,42	0.034	0.234
A_21_P0014609	LOC100506852	-0,29	-0,38	-0,25	0.037	0.245
A_23_P342709	FBXO15	-0,29	-0,23	-0,35	0.041	0.260
A_33_P3787635	LOC440600	-0,29	-0,34	-0,20	0.011	0.111
A_33_P3420900	PATE2	-0,29	-0,25	-0,27	0.002	0.032
A_21_P0001485	XLOC_000757	-0,29	-0,24	-0,26	0.011	0.114
A_33_P3551349	LOC439911	-0,29	-0,27	-0,32	<0.001	<0.001
A_23_P143845	TIPARP	-0,29	-0,26	-0,33	<0.001	<0.001
A_33_P3383351	COL5A1	-0,29	-0,47	0,00	0.034	0.235
A_33_P3408949	LOXHD1	-0,29	-0,45	-0,21	0.006	0.070
A_21_P0013484	XLOC_I2_014217	-0,29	-0,23	-0,24	0.024	0.188
A_21_P0000311	SNORA14A	-0,29	-0,37	-0,23	<0.001	<0.001
A_33_P3282075	SP6	-0,29	-0,24	-0,39	0.024	0.187
A_32_P170547	CT45A5	-0,29	-0,19	-0,31	0.010	0.103
A_32_P150735		-0,29	-0,27	-0,31	<0.001	<0.001
A_33_P3408577	POM121L10P	-0,29	-0,24	-0,31	0.029	0.211
A_21_P0008911	XLOC_011670	-0,29	-0,29	-0,24	0.008	0.087
A_23_P4133	AOC2	-0,29	-0,28	-0,16	0.027	0.203
A_33_P3306715	C6orf132	-0,29	-0,25	-0,27	0.039	0.253
A_23_P82929	NOV	-0,29	-0,26	-0,23	0.001	0.016
A_33_P3263432	ITGA10	-0,29	-0,30	-0,29	<0.001	<0.001
A_21_P0011722	XLOC_I2_006926	-0,29	-0,23	-0,24	0.012	0.116
A_23_P42897	MGAM	-0,29	-0,14	-0,39	0.001	0.021
A_32_P21246	HCG27	-0,29	-0,26	-0,32	<0.001	<0.001
A_24_P336759	MCL1	-0,29	-0,32	-0,25	<0.001	<0.001
A_21_P0012989	XLOC_I2_012054	-0,29	-0,17	-0,43	0.045	0.277
A_23_P200801	PDE4DIP	-0,29	-0,25	-0,32	<0.001	<0.001
A_33_P3255075	CASP10	-0,29	-0,22	-0,34	0.023	0.181
A_33_P3336113	TIGD3	-0,29	-0,35	-0,21	<0.001	<0.001
A_33_P3395947	IL4R	-0,29	-0,15	-0,28	<0.001	0.009
A_32_P466877	C3orf45	-0,29	-0,26	-0,17	0.001	0.020
A_33_P3889862	LOC151475	-0,29	-0,20	-0,31	<0.001	0.007
A_23_P301328	PDXK	-0,29	-0,20	-0,38	<0.001	<0.001
A_21_P0005240	XLOC_006153	-0,29	-0,25	-0,26	<0.001	<0.001
A_21_P0004308	XLOC_004584	-0,29	-0,35	-0,12	0.001	0.020
A_33_P3367596	CLCN4	-0,29	-0,10	-0,49	0.006	0.077
A_21_P0004141	XLOC_004882	-0,29	-0,22	-0,26	0.037	0.246
A_33_P3242965	ATAD3C	-0,29	-0,34	-0,17	0.005	0.061
A_23_P370682	BATF2	-0,29	-0,28	-0,27	<0.001	<0.001
A_33_P3419321	CHD5	-0,29	-0,29	-0,11	0.030	0.216
A_23_P166306	CBS	-0,29	-0,43	-0,08	0.031	0.219
A_21_P0012444	XLOC_I2_010239	-0,29	-0,38	-0,23	0.015	0.136
A_33_P3251796	PDSS1	-0,28	-0,23	-0,33	<0.001	<0.001
A_33_P3243649	LOC100131831	-0,28	-0,36	-0,12	0.015	0.136
A_21_P0000576	LOC100294362	-0,28	-0,26	-0,27	0.012	0.117
A_33_P3329793	AFG3L1P	-0,28	-0,37	-0,22	<0.001	<0.001

A_23_P389897	NGFR	-0,28	-0,26	-0,37	0.022	0.174
A_23_P408094	MXD1	-0,28	-0,26	-0,24	<0.001	0.003
A_33_P3318237	PPP2R5B	-0,28	-0,27	-0,28	<0.001	<0.001
A_33_P3282733	LOC100131395	-0,28	-0,23	-0,36	0.024	0.184
A_21_P0001568	LOC440600	-0,28	-0,53	0,04	0.009	0.100
A_21_P0006980	XLOC_008760	-0,28	-0,43	-0,23	0.017	0.147
A_23_P71946	BSPRY	-0,28	-0,29	-0,30	0.039	0.254
A_33_P3210492	C1QTNF4	-0,28	-0,19	-0,30	0.007	0.078
A_33_P3290577	MS4A14	-0,28	-0,30	-0,26	<0.001	<0.001
A_21_P0006004	XLOC_007325	-0,28	-0,33	-0,16	0.009	0.097
A_23_P78248	KRT23	-0,28	-0,25	-0,27	0.001	0.025
A_32_P112894	FAM76A	-0,28	-0,14	-0,34	0.046	0.278
A_21_P0009501	LOC339298	-0,28	-0,44	-0,26	0.008	0.092
A_21_P0003413	XLOC_003726	-0,28	-0,21	-0,51	0.044	0.273
A_21_P0007577	XLOC_009797	-0,28	-0,27	-0,29	<0.001	0.003
A_24_P165864	P2RY14	-0,28	-0,29	-0,23	0.002	0.028
A_33_P3237215	FBXO24	-0,28	-0,28	-0,20	0.024	0.185
A_21_P0008248	XLOC_010556	-0,28	-0,22	-0,35	0.011	0.112
A_23_P337642	ATP2B3	-0,28	-0,27	-0,20	0.021	0.169
A_21_P0010509	LOC100133612	-0,28	-0,30	-0,26	0.005	0.064
A_33_P3322450	RAB3IP	-0,28	-0,26	-0,29	0.003	0.046
A_23_P162874	HSP90AA1	-0,28	-0,25	-0,31	<0.001	<0.001
A_21_P0000313	SNORA15	-0,28	-0,02	-0,40	0.002	0.026
A_21_P0009701	XLOC_013027	-0,28	-0,44	0,00	0.031	0.221
A_21_P0003759	XLOC_004053	-0,28	-0,22	-0,35	0.010	0.103
A_21_P0006269	XLOC_007697	-0,28	-0,25	-0,16	0.003	0.039
A_24_P80776	C6orf228	-0,28	-0,18	-0,37	<0.001	0.008
A_33_P3254141	LOC285696	-0,28	-0,26	-0,20	0.009	0.097
A_33_P3414062	LOC729968	-0,28	-0,39	-0,04	0.021	0.173
A_21_P0014556	LOC100506549	-0,28	-0,06	-0,50	0.032	0.222
A_23_P204640	NANOG	-0,28	-0,05	-0,39	0.018	0.152
A_33_P3352011		-0,28	0,09	-0,66	0.028	0.204
A_23_P326080	DEFA4	-0,28	-0,26	-0,19	0.008	0.092
A_23_P385063	DNAJB6	-0,28	-0,25	-0,30	<0.001	<0.001
A_21_P0004898	XLOC_005347	-0,28	-0,18	-0,27	0.044	0.273
A_33_P3211223		-0,28	-0,16	-0,37	0.028	0.205
A_21_P0014923	LOC100505703	-0,28	-0,09	-0,43	0.030	0.215
A_33_P3233843	IL6ST	-0,27	-0,20	-0,27	<0.001	0.003
A_24_P356601	HEXIM1	-0,27	-0,26	-0,24	<0.001	<0.001
A_33_P3364929		-0,27	-0,26	-0,18	0.005	0.060
A_23_P70359	AGPAT4-IT1	-0,27	-0,29	-0,24	<0.001	<0.001
A_33_P3888485	BCO2	-0,27	-0,28	-0,25	<0.001	<0.001
A_23_P161644	RBM14	-0,27	-0,30	-0,23	<0.001	<0.001
A_24_P218814	RDH5	-0,27	-0,25	-0,26	<0.001	<0.001
A_21_P0013999	LOC100653051	-0,27	-0,28	-0,22	<0.001	<0.001
A_33_P3351686	CCDC17	-0,27	-0,26	-0,26	<0.001	<0.001
A_33_P3229239	HIST2H2BF	-0,27	-0,13	-0,39	0.029	0.211
A_33_P3265249		-0,27	-0,28	-0,20	0.043	0.271
A_23_P302018	TXK	-0,27	-0,21	-0,39	0.007	0.082
A_23_P50535	DMPK	-0,27	-0,30	-0,28	<0.001	<0.001

A_23_P158297	BTNL3	-0,27	-0,41	-0,13	0.011	0.113
A_21_P0007509	XLOC_010236	-0,27	-0,38	-0,07	0.039	0.254
A_24_P387875	KCNJ10	-0,27	-0,20	-0,32	0.022	0.177
A_33_P3404596		-0,27	-0,19	-0,48	0.043	0.271
A_21_P0006853	XLOC_008441	-0,27	-0,30	-0,19	0.001	0.017
A_23_P65262	N4BP2L2	-0,27	-0,27	-0,27	<0.001	<0.001
A_33_P3293675	SLC12A7	-0,27	-0,23	-0,29	0.001	0.025
A_21_P0003574	XLOC_003457	-0,27	-0,20	-0,32	0.010	0.105
A_24_P157156	CCDC150	-0,27	-0,32	-0,27	0.041	0.260
A_23_P112187	FIBCD1	-0,27	-0,17	-0,14	0.027	0.202
A_33_P3397920		-0,27	-0,34	-0,21	0.030	0.216
A_21_P0012607	XLOC_I2_010816	-0,27	-0,24	-0,28	0.031	0.219
A_23_P74309	NOS1AP	-0,27	-0,14	-0,31	0.041	0.259
A_33_P3347511		-0,27	-0,28	-0,27	0.040	0.256
A_24_P295963	SLC38A2	-0,27	-0,22	-0,29	<0.001	<0.001
A_33_P3337450		-0,27	-0,44	-0,16	0.046	0.278
A_24_P327815	STIP1	-0,27	-0,28	-0,29	<0.001	<0.001
A_23_P150018	DUSP5	-0,27	-0,35	-0,25	<0.001	0.001
A_21_P0010685	XLOC_I2_000010	-0,27	-0,26	-0,26	0.025	0.188
A_21_P0001340	XLOC_000301	-0,27	-0,21	-0,28	<0.001	<0.001
A_23_P25674	CKB	-0,27	-0,37	-0,19	<0.001	0.002
A_33_P3230176	EPT1	-0,27	0,01	-0,48	0.032	0.222
A_21_P0000751	LOC100507062	-0,27	-0,23	-0,25	<0.001	<0.001
A_24_P28295	RABGAP1L	-0,27	-0,31	-0,21	<0.001	<0.001
A_33_P3212709		-0,27	-0,30	-0,31	0.019	0.160
A_33_P3402350		-0,27	-0,27	-0,26	0.005	0.064
A_23_P376036	EXD1	-0,27	-0,19	-0,30	0.034	0.233
A_23_P112004	LRRC6	-0,27	-0,25	-0,25	<0.001	<0.001
A_21_P0004642	HCG27	-0,27	-0,25	-0,27	<0.001	<0.001
A_23_P143774	MOV10L1	-0,27	-0,29	-0,18	0.017	0.150
A_33_P3338392	PRDM15	-0,27	-0,27	-0,26	0.030	0.217
A_21_P0011832	LOC100506328	-0,27	-0,23	-0,34	0.017	0.150
A_23_P51311	LELP1	-0,27	-0,22	-0,23	0.007	0.080
A_21_P0011891	XLOC_I2_007834	-0,27	-0,18	-0,26	0.010	0.106
A_33_P3304538	RNF207	-0,27	-0,29	-0,22	0.001	0.019
A_32_P82189	FAM161A	-0,27	-0,33	-0,11	0.030	0.217
A_21_P0004521	XLOC_004478	-0,27	-0,19	-0,19	0.013	0.123
A_21_P0002956	XLOC_002636	-0,27	-0,32	-0,21	0.033	0.230
A_33_P3849600	HSP90AA2	-0,27	-0,26	-0,27	<0.001	<0.001
A_23_P95060	EPHB3	-0,27	-0,32	-0,21	<0.001	<0.001
A_33_P3514859	LOC100506342	-0,27	-0,22	-0,24	<0.001	<0.001
A_21_P0014747	LOC100652915	-0,27	-0,23	-0,30	<0.001	<0.001
A_24_P110365		-0,27	-0,36	-0,15	0.004	0.057
A_33_P3485760	EIF3A	-0,27	-0,28	-0,25	0.026	0.193
A_19_P00318213	HCG18	-0,27	-0,26	-0,27	<0.001	<0.001
A_23_P380857	APOL4	-0,27	-0,24	-0,28	<0.001	0.003
A_33_P3422822	GJC2	-0,27	-0,20	-0,28	<0.001	<0.001
A_33_P3423853	C20orf166-AS1	-0,27	-0,23	-0,27	0.036	0.244
A_21_P0004871	XLOC_005244	-0,27	-0,23	-0,26	<0.001	<0.001
A_24_P10233	DAPK2	-0,26	-0,16	-0,31	0.004	0.053

A_33_P3283213	MGC57346	-0,26	-0,37	-0,06	0.039	0.254
A_23_P68234	GPR75	-0,26	-0,11	-0,13	0.040	0.257
A_24_P245815	ASPHD2	-0,26	-0,26	-0,24	<0.001	<0.001
A_23_P36203	OR52B2	-0,26	-0,18	-0,33	0.006	0.076
A_33_P3480395	FLJ30901	-0,26	-0,32	-0,25	0.010	0.104
A_21_P0012456	XLOC_I2_010330	-0,26	-0,22	-0,17	0.026	0.197

Supplemental Table 6

The table shows the transcripts which were differentially regulated between the groups 45 minutes post-stress exposure. The criterion was a significant nominal p -value (≤ 0.05) of the interaction term and a fold-change in gene expression from pre- to post-stress of at least 1.2 across groups. A total of 405 genes showed differential expression patterns 45 minutes post stress. Out of these, 77 transcripts were up-regulated and 69 down-regulated in the early adversity group and did not change their expression in the control group. Conversely, there were 46 up- and 68 down-regulated transcripts in the control group without significant changes in the early adversity group. Remarkably, 81 transcripts changed their expression in opposite directions: 57 transcripts showed an increase in expression in the early adversity group and decreases in the control group, whereas 24 were up-regulated in the control group and down-regulated in the early adversity group.

The table shows the differences in \log_2 expression values (t_1-t_0) in the control group and the early trauma group, as well as the difference between the groups (delta \log_2 expression values). The p -values result from the limma t -test. The p -values were multiplicity-adjusted to control the false discovery rate (FDR) by the Benjamini–Hochberg procedure.

The table is sorted in descending order of group differences. Thus, transcripts with relatively higher expression in the early trauma group can be found at the top of the table, transcripts with relatively lower expression in the early trauma group can be found at the bottom of the table.

t_0 : 45 minutes pre-stress exposure; t_1 : 45 minutes post-stress exposure.

Agilent Probe ID	Gene Symbol	Control Group (\log_2 expression values $t_1- t_0$)	Early Adversity (\log_2 expression values $t_1- t_0$)	Delta \log_2 expression values Early Trauma – Control Group	p -value	adj. p - value
A_21_P0009988	XLOC_013596	-0,98	0,14	1,12	0.011	1.000
A_23_P42241	OR5V1	-0,36	0,68	1,04	0.015	1.000
A_32_P32856	PCDHGC5	-0,40	0,63	1,03	0.004	1.000
A_19_P00318519	LOC100506259	-0,41	0,60	1,01	0.002	1.000
A_33_P3327158	LOC100131432	-0,48	0,48	0,96	0.020	1.000
A_21_P0006685	XLOC_008512	-0,54	0,40	0,95	0.013	1.000
A_23_P126278	CHIT1	-0,56	0,32	0,88	0.043	1.000
A_24_P7600	FBXL7	-0,38	0,45	0,83	0.019	1.000
A_32_P106933	BCAR4	-0,51	0,30	0,81	0.010	1.000
A_21_P0009977	XLOC_013570	-0,37	0,44	0,81	0.007	1.000
A_21_P0001832	XLOC_001365	-0,46	0,35	0,81	0.006	1.000
A_33_P3218960	CACNA1H	-0,49	0,31	0,80	0.024	1.000
A_21_P0006894	XLOC_008558	-0,36	0,43	0,79	0.004	1.000
A_33_P3256282	KRTAP10-2	-0,31	0,48	0,79	0.021	1.000
A_23_P51580	HSD3B2	-0,30	0,49	0,79	0.006	1.000
A_33_P3422085	SPANXN2	-0,32	0,46	0,78	<0.001	1.000
A_21_P0002208	XLOC_001454	-0,28	0,50	0,77	0.009	1.000
A_21_P0002823	XLOC_002968	-0,10	0,67	0,77	0.032	1.000
A_33_P3353116	SHBG	-0,27	0,49	0,76	0.007	1.000
A_21_P0014943	LOC100653284	-0,32	0,43	0,75	0.028	1.000

A_33_P3265709	OR2Y1	-0,28	0,47	0,75	0.026	1.000
A_24_P327181	WNK4	-0,45	0,30	0,75	0.014	1.000
A_21_P0002137	XLOC_002473	-0,37	0,38	0,75	0.008	1.000
A_21_P0000541	LOC100128164	-0,59	0,16	0,74	0.014	1.000
A_33_P3712008	DKFZp547J222	-0,34	0,40	0,74	0.008	1.000
A_33_P3357421		-0,12	0,62	0,74	0.047	1.000
A_21_P0008421	XLOC_010996	-0,47	0,27	0,74	0.004	1.000
A_21_P0003283	XLOC_003102	-0,16	0,58	0,74	0.019	1.000
A_33_P3257607	PPP1R12B	-0,45	0,28	0,73	0.021	1.000
A_24_P32139	HTR3E	-0,50	0,23	0,73	0.002	1.000
A_33_P3306948	LRP6	-0,39	0,34	0,73	0.004	1.000
A_32_P82189	FAM161A	-0,53	0,19	0,73	0.004	1.000
A_21_P0001886	XLOC_001584	-0,32	0,41	0,73	0.007	1.000
A_21_P0014208	MATN2	-0,42	0,31	0,72	0.021	1.000
A_33_P3221718	LOC100129373	-0,45	0,26	0,71	0.024	1.000
A_33_P3407549	ANKRD43	-0,40	0,31	0,71	0.032	1.000
A_24_P246107	KRTAP13-4	-0,41	0,30	0,71	0.016	1.000
A_21_P0010022	LOC100505683	-0,34	0,37	0,71	0.049	1.000
A_23_P165608	SEMA4F	-0,01	0,69	0,70	0.022	1.000
A_21_P0009182	XLOC_012323	-0,49	0,21	0,70	0.013	1.000
A_33_P3209185		-0,29	0,41	0,70	0.049	1.000
A_23_P87072	PANX3	-0,34	0,36	0,70	0.004	1.000
A_33_P3262376	OTUD7A	-0,39	0,30	0,70	0.034	1.000
A_23_P301855	LSAMP	-0,15	0,54	0,69	0.004	1.000
A_23_P377629	FAM75C2	-0,25	0,44	0,69	0.035	1.000
A_19_P00802433	XLOC_005327	-0,24	0,45	0,69	0.024	1.000
A_19_P00808794	XLOC_I2_00822 1	-0,12	0,58	0,69	0.011	1.000
A_33_P3311205	PRPF40B	-0,41	0,28	0,69	0.028	1.000
A_33_P3283824	SLC39A8	-0,04	0,64	0,68	0.028	1.000
A_33_P3294459	COPG2IT1	-0,28	0,40	0,68	0.012	1.000
A_23_P2271	PTHLH	-0,33	0,35	0,68	0.035	1.000
A_23_P422933	ARHGAP20	-0,10	0,57	0,67	0.028	1.000
A_33_P3384548		-0,15	0,51	0,67	0.019	1.000
A_21_P0000051	DISC1	-0,51	0,16	0,67	0.031	1.000
A_23_P311632	NLRP6	-0,37	0,29	0,66	0.036	1.000
A_32_P191262	ACR	0,07	0,73	0,66	0.001	1.000
A_23_P51711	CELA2B	-0,35	0,31	0,66	0.004	1.000
A_33_P3214844	NEB	-0,10	0,55	0,65	0.004	1.000
A_23_P77980	SLC4A1	-0,37	0,29	0,65	0.047	1.000
A_21_P0003493	XLOC_004050	-0,31	0,34	0,65	0.032	1.000
A_21_P0014778	LOC100507516	-0,32	0,34	0,65	0.003	1.000
A_33_P3265205		-0,16	0,49	0,65	0.023	1.000
A_21_P0010373	XLOC_014330	-0,35	0,30	0,65	0.002	1.000
A_21_P0010309	XLOC_013923	-0,24	0,41	0,65	0.034	1.000
A_23_P376188	BEND7	-0,28	0,37	0,65	0.020	1.000
A_33_P3239527	LOC100128517	-0,32	0,33	0,65	0.014	1.000
A_21_P0012409	XLOC_I2_00996 8	-0,43	0,22	0,64	0.045	1.000
A_33_P3419958		-0,27	0,37	0,64	0.023	1.000
A_23_P20532	CNTNAP3B	-0,58	0,06	0,64	0.029	1.000

A_33_P3218301		-0,34	0,30	0,64	0.025	1.000
A_33_P3260862		0,04	0,69	0,64	0.006	1.000
A_21_P0006650	XLOC_008385	-0,31	0,33	0,64	0.029	1.000
A_33_P3366241	SCARA5	-0,11	0,52	0,64	0.022	1.000
A_21_P0001690	XLOC_000266	-0,30	0,34	0,63	0.029	1.000
A_21_P0011259	XLOC_I2_00431 7	-0,63	-0,01	0,63	0.048	1.000
A_21_P0011762	XLOC_I2_00711 9	-0,23	0,40	0,63	0.004	1.000
A_33_P3244834		-0,36	0,27	0,63	0.046	1.000
A_33_P3218491		-0,36	0,26	0,63	0.006	1.000
A_33_P3351285		-0,65	-0,03	0,62	0.050	1.000
A_33_P3462155	LOC401188	-0,30	0,31	0,62	0.014	1.000
A_33_P3253574	OR8B3	-0,25	0,37	0,62	0.034	1.000
A_21_P0010040	XLOC_013744	-0,25	0,37	0,62	0.039	1.000
A_33_P3629151	CDRT8	-0,52	0,09	0,62	0.048	1.000
A_24_P9833	PRDM11	-0,39	0,23	0,62	0.041	1.000
A_21_P0005061	XLOC_005847	-0,36	0,25	0,61	0.015	1.000
A_23_P91829	DCBLD2	-0,12	0,49	0,61	0.015	1.000
A_32_P78101	IGSF21	-0,32	0,29	0,60	0.040	1.000
A_21_P0003533	XLOC_004148	-0,15	0,45	0,60	0.042	1.000
A_23_P92520	ANP32C	-0,28	0,32	0,60	0.018	1.000
A_33_P3280916	SNHG4	-0,36	0,23	0,60	0.005	1.000
A_33_P3417650	KLK10	-0,42	0,17	0,59	0.030	1.000
A_24_P374564		-0,15	0,45	0,59	0.013	1.000
A_21_P0012443	XLOC_I2_01022 6	-0,65	-0,06	0,59	0.023	1.000
A_21_P0004782	XLOC_005857	-0,36	0,23	0,59	0.026	1.000
A_33_P3371810		-0,26	0,33	0,59	0.024	1.000
A_21_P0010817	XLOC_I2_00154 9	-0,18	0,41	0,59	0.047	1.000
A_23_P147918	S100A16	-0,36	0,23	0,59	0.013	1.000
A_21_P0010683	XLOC_I2_00000 6	-0,31	0,28	0,59	0.026	1.000
A_21_P0011983	XLOC_I2_00839 6	-0,16	0,43	0,59	0.004	1.000
A_33_P3313532	ANKRD20A1	-0,55	0,04	0,58	0.012	1.000
A_21_P0012537	XLOC_I2_01014 9	-0,31	0,27	0,58	0.031	1.000
A_23_P85140	TCEAL2	-0,30	0,28	0,58	0.031	1.000
A_21_P0010956	XLOC_I2_00212 2	-0,45	0,14	0,58	0.045	1.000
A_33_P3352213		-0,18	0,40	0,58	0.005	1.000
A_33_P3334180	PLCH2	-0,24	0,34	0,58	0.008	1.000
A_23_P46894	CHAT	-0,38	0,19	0,58	0.047	1.000
A_33_P3339650	DST	-0,31	0,27	0,58	0.018	1.000
A_21_P0011218	FLJ46358	-0,18	0,40	0,58	0.036	1.000
A_21_P0000880	SPAG5-AS1	-0,35	0,23	0,58	0.009	1.000
A_23_P324327	GPRC5B	-0,25	0,33	0,58	0.049	1.000
A_21_P0004085	XLOC_004679	-0,21	0,36	0,57	0.043	1.000
A_21_P0014774	LOC100653024	-0,31	0,26	0,57	0.001	1.000
A_24_P341344		-0,31	0,26	0,57	0.029	1.000
A_19_P00318977	LOC729178	-0,06	0,50	0,57	0.008	1.000
A_21_P0012146	XLOC_I2_00860 9	-0,19	0,37	0,56	0.001	1.000

	XLOC_I2_01423					
A_21_P0013496	4	-0,16	0,39	0,56	0.004	1.000
A_23_P109072	SALL4	-0,14	0,42	0,56	0.036	1.000
A_33_P3386344	FANCA	-0,36	0,20	0,56	0.029	1.000
A_21_P0008560	XLOC_011295	-0,02	0,53	0,55	0.017	1.000
A_24_P115990	AMHR2	-0,35	0,21	0,55	0.010	1.000
A_21_P0001367	XLOC_000367	-0,04	0,51	0,55	0.041	1.000
	XLOC_I2_00154					
A_21_P0010916	8	-0,43	0,12	0,55	0.035	1.000
A_24_P350622	KIR2DL4	-0,34	0,21	0,55	0.020	1.000
A_33_P3692756	LOC723809	-0,39	0,15	0,55	0.042	1.000
A_21_P0002168	XLOC_001342	-0,14	0,41	0,55	0.006	1.000
A_33_P3372288	ZNF81	-0,21	0,34	0,54	0.045	1.000
A_23_P213620	PPP2R2B	-0,31	0,23	0,54	0.003	1.000
A_23_P16189	PRKCG	-0,05	0,50	0,54	0.004	1.000
	XLOC_I2_01083					
A_21_P0012610	1	-0,25	0,29	0,54	0.022	1.000
A_33_P3411612	TMEM221	-0,41	0,13	0,54	0.037	1.000
A_21_P0010758	LOC388630	-0,22	0,32	0,54	0.036	1.000
A_21_P0001229	XLOC_001225	-0,33	0,21	0,54	0.012	1.000
A_33_P3256272	KRTAP10-5	-0,26	0,28	0,54	0.045	1.000
A_33_P3406547		-0,39	0,15	0,54	0.004	1.000
A_21_P0002306	XLOC_001720	-0,03	0,50	0,54	0.043	1.000
A_23_P160886	TAS1R1	-0,31	0,22	0,54	0.023	1.000
A_23_P135742	C1orf170	-0,30	0,23	0,54	0.017	1.000
A_33_P3391455	SCN5A	-0,07	0,46	0,53	0.040	1.000
A_21_P0010045	LOC100128591	-0,40	0,13	0,53	0.047	1.000
A_33_P3381092	OR10W1	-0,12	0,41	0,53	0.025	1.000
A_24_P135862		-0,04	0,49	0,53	0.034	1.000
A_33_P3357199	SH2D6	-0,15	0,38	0,53	0.022	1.000
A_21_P0003490	XLOC_004040	-0,32	0,20	0,52	0.025	1.000
A_33_P3235876		-0,32	0,21	0,52	0.022	1.000
A_23_P134627	EMID2	-0,23	0,28	0,52	0.041	1.000
A_23_P8981	STAR	-0,13	0,39	0,52	0.016	1.000
A_21_P0002352	XLOC_001863	-0,41	0,11	0,52	0.015	1.000
A_21_P0009906	XLOC_013776	-0,25	0,27	0,52	0.028	1.000
A_23_P61042		-0,45	0,06	0,51	0.012	1.000
	XLOC_I2_01584					
A_21_P0013836	9	-0,29	0,22	0,51	0.016	1.000
A_32_P94001	FAM92A3	-0,26	0,25	0,51	0.011	1.000
A_23_P330419	ACPT	-0,30	0,21	0,51	0.003	1.000
A_21_P0014090	LOC100506892	-0,27	0,24	0,51	0.010	1.000
A_21_P0000980	XLOC_000229	-0,36	0,15	0,51	0.038	1.000
	XLOC_I2_01314					
A_21_P0013160	9	-0,33	0,18	0,51	0.044	1.000
A_23_P76743	ASPG	-0,19	0,31	0,51	0.044	1.000
A_24_P395814	CGB	-0,23	0,28	0,50	0.026	1.000
A_21_P0008086	XLOC_010445	-0,29	0,21	0,50	0.018	1.000
A_33_P3221916		-0,43	0,07	0,50	0.038	1.000
A_21_P0004355	LOC285577	-0,23	0,27	0,49	0.021	1.000
A_23_P153183	CNKS2	-0,01	0,48	0,49	0.008	1.000
A_21_P0009248	XLOC_012209	-0,32	0,17	0,49	0.023	1.000

A_21_P0011383	UBE2Q2P2	-0,09	0,39	0,49	0.034	1.000
A_21_P0012329	XLOC_I2_00944 1	-0,28	0,20	0,49	0.048	1.000
A_23_P101905	APC2	-0,13	0,36	0,48	0.040	1.000
A_24_P38143	AHI1	-0,21	0,28	0,48	0.025	1.000
A_33_P3337450		-0,31	0,17	0,48	0.019	1.000
A_33_P3398266	LINC00112	-0,39	0,09	0,48	0.027	1.000
A_21_P0004396	XLOC_004832	-0,23	0,25	0,48	0.012	1.000
A_19_P00806499	SPG20OS	-0,28	0,20	0,48	0.046	1.000
A_33_P3360227		-0,26	0,21	0,48	0.033	1.000
A_21_P0012666	XLOC_I2_01112 0	-0,04	0,44	0,47	0.029	1.000
A_21_P0013206	LOC100287294	-0,39	0,08	0,47	0.033	1.000
A_33_P3327673	COBL	-0,08	0,39	0,47	0.017	1.000
A_21_P0001041	XLOC_000505	-0,20	0,27	0,47	0.022	1.000
A_21_P0013180	XLOC_I2_01330 0	-0,23	0,23	0,47	0.007	1.000
A_33_P3332871		-0,10	0,36	0,46	0.017	1.000
A_33_P3223825	SRRM3	-0,03	0,43	0,46	0.008	1.000
A_21_P0010866	XLOC_I2_00192 9	-0,21	0,25	0,46	0.011	1.000
A_23_P127565	LAYN	-0,22	0,24	0,46	0.025	1.000
A_24_P313180	C14orf1	-0,26	0,20	0,46	0.030	1.000
A_24_P23921	C17orf98	-0,10	0,36	0,46	0.015	1.000
A_19_P00318978		-0,27	0,18	0,46	0.023	1.000
A_33_P3214052	LOC729178	-0,45	0,00	0,45	0.044	1.000
A_33_P3231086		-0,07	0,39	0,45	0.047	1.000
A_21_P0007087	XLOC_008661	-0,09	0,36	0,45	0.050	1.000
A_33_P3248948		-0,47	-0,02	0,45	0.034	1.000
A_33_P3313075		0,12	0,56	0,44	0.047	1.000
A_23_P93105	GABRR2	-0,18	0,26	0,44	0.023	1.000
A_33_P3336242		-0,21	0,22	0,43	0.044	1.000
A_19_P00315593	XLOC_004643	-0,34	0,09	0,43	0.028	1.000
A_23_P162861	SERPINE3	-0,43	0,00	0,42	0.035	1.000
A_33_P3245021		-0,21	0,21	0,42	0.031	1.000
A_23_P251836	NPY5R	-0,21	0,21	0,42	0.019	1.000
A_21_P0008475	XLOC_011102	-0,32	0,10	0,42	0.033	1.000
A_19_P00812050	XLOC_003482	-0,05	0,37	0,42	0.027	1.000
A_21_P0007521	XLOC_009643	-0,32	0,10	0,42	0.031	1.000
A_33_P3408949	LOXHD1	-0,13	0,29	0,42	0.030	1.000
A_21_P0000014	FAN1	-0,26	0,16	0,41	0.022	1.000
A_33_P3374997	LOC144486	-0,28	0,12	0,41	0.022	1.000
A_21_P0002412	XLOC_002013	0,16	0,56	0,41	0.045	1.000
A_24_P150466	SMOC1	-0,36	0,04	0,41	0.045	1.000
A_21_P0004309	XLOC_004585	-0,15	0,25	0,40	0.013	1.000
A_23_P387537	PRRG3	-0,19	0,21	0,40	0.013	1.000
A_21_P0010869	XLOC_I2_00194 7	-0,16	0,24	0,40	0.021	1.000
A_21_P0012085	XLOC_I2_00822 1	-0,24	0,16	0,40	0.043	1.000
A_24_P458479		-0,11	0,30	0,40	0.021	1.000
A_21_P0006187	LOC158435	-0,22	0,18	0,40	0.012	1.000
A_33_P3371819	PTCD2	-0,17	0,23	0,40	0.023	1.000

	XLOC_I2_00929					
A_21_P0012310	2	-0,26	0,13	0,40	0.010	1.000
A_33_P3348001	LOC100130458	-0,20	0,19	0,39	0.013	1.000
A_32_P214665	PCP4L1	0,18	0,56	0,39	0.018	1.000
A_19_P00318511	XLOC_002504	-0,12	0,26	0,38	0.042	1.000
A_21_P0000562	FAS-AS1	-0,23	0,15	0,38	0.023	1.000
A_23_P151598	CPNE6	-0,06	0,32	0,38	0.009	1.000
A_32_P227605	RGS9BP	-0,24	0,13	0,37	0.012	1.000
A_21_P0001509	XLOC_000844	-0,18	0,19	0,37	0.006	1.000
A_21_P0003861	LOC100506122	-0,18	0,19	0,37	0.005	1.000
A_33_P3385002	ELK1	-0,19	0,18	0,37	0.044	1.000
A_33_P3282205		0,01	0,37	0,36	0.050	1.000
A_33_P3264667	CYP26C1	-0,08	0,29	0,36	0.043	1.000
A_33_P3379680	OR2A5	-0,05	0,30	0,36	0.017	1.000
A_21_P0004891	XLOC_005322	0,00	0,35	0,35	0.022	1.000
A_23_P410110	C10orf25	-0,29	0,05	0,34	0.023	1.000
	XLOC_I2_01384					
A_21_P0013309	8	-0,30	0,04	0,34	0.034	1.000
A_33_P3424364	CCDC152	-0,26	0,08	0,34	0.010	1.000
A_21_P0004223	XLOC_004280	-0,09	0,23	0,33	0.008	1.000
A_23_P60742	MYLPF	-0,21	0,11	0,32	0.033	1.000
A_19_P00322911	TWIST2	-0,30	0,01	0,31	0.020	1.000
A_21_P0010680	LOC100506795	-0,13	0,16	0,29	0.050	1.000
	XLOC_I2_01213					
A_21_P0012915	5	-0,33	-0,06	0,27	0.048	1.000
A_24_P83899	GRM5	-0,11	0,15	0,26	0.024	1.000
A_33_P3272952		-0,04	0,22	0,26	0.018	1.000
A_33_P3277361	OTX1	0,22	-0,06	-0,28	0.010	1.000
A_33_P3316562	RPS6KA5	0,23	-0,05	-0,29	0.007	1.000
A_33_P3222380	AHNAK2	0,18	-0,12	-0,30	0.020	1.000
A_33_P3420635	OR4D6	0,29	-0,02	-0,30	0.037	1.000
A_33_P3363959		0,23	-0,07	-0,31	0.009	1.000
	XLOC_I2_01072					
A_19_P00319578	3	-0,04	-0,37	-0,33	0.024	1.000
A_21_P0002573	XLOC_001342	0,21	-0,12	-0,33	0.019	1.000
	XLOC_I2_00742					
A_21_P0011814	4	0,23	-0,11	-0,34	0.001	1.000
A_33_P3400309	C6orf103	0,24	-0,11	-0,35	0.025	1.000
	XLOC_I2_01119					
A_21_P0012779	5	0,13	-0,22	-0,35	0.003	1.000
A_21_P0010494	XLOC_014514	-0,01	-0,36	-0,35	0.021	1.000
A_33_P3349693	LCLAT1	0,07	-0,28	-0,35	0.018	1.000
A_33_P3210099	ALPK3	0,03	-0,32	-0,35	0.016	1.000
A_21_P0008995	XLOC_011826	0,13	-0,22	-0,35	0.047	1.000
	XLOC_I2_00783					
A_19_P00321356	4	0,13	-0,23	-0,35	0.033	1.000
	XLOC_I2_00957					
A_21_P0012302	8	0,43	0,08	-0,36	0.023	1.000
A_33_P3360785	LOC100128371	0,01	-0,35	-0,36	0.035	1.000
A_19_P00316014	MIAT	0,42	0,05	-0,37	0.017	1.000
A_33_P3250669		0,16	-0,21	-0,37	0.038	1.000
A_33_P3297285	LOC100131667	0,20	-0,17	-0,37	0.023	1.000
A_21_P0009183	XLOC_012338	0,12	-0,25	-0,37	0.048	1.000
A_24_P280762	KHDC1	0,20	-0,18	-0,38	0.001	1.000

A_21_P0003915	XLOC_004205	0,08	-0,30	-0,38	0.024	1.000
A_21_P0000916	XLOC_000360	0,06	-0,32	-0,38	0.008	1.000
A_21_P0013766	XLOC_I2_01553 6	0,18	-0,20	-0,39	0.043	1.000
A_23_P301053	PAIP2B	0,10	-0,29	-0,39	0.003	1.000
A_32_P96134	DPY19L1	0,05	-0,35	-0,39	0.032	1.000
A_21_P0009361	XLOC_012571	0,32	-0,08	-0,40	0.026	1.000
A_33_P3560679	LOC100287221	0,00	-0,40	-0,40	0.031	1.000
A_19_P00318588	Q4B8L8	0,32	-0,08	-0,40	0.016	1.000
A_21_P0006828	XLOC_008372	0,19	-0,21	-0,40	0.009	1.000
A_21_P0014408	LOC100506384	0,23	-0,18	-0,41	0.016	1.000
A_33_P3245734	ZNF680	0,12	-0,29	-0,41	0.033	1.000
A_21_P0005462	XLOC_006327	0,31	-0,11	-0,41	0.045	1.000
A_21_P0004337	XLOC_004637	-0,09	-0,50	-0,41	0.035	1.000
A_19_P00320343	XLOC_007052	0,16	-0,26	-0,42	0.023	1.000
A_24_P135193	UEVLD	0,21	-0,21	-0,42	0.005	1.000
A_33_P3696837	MLK7-AS1	0,18	-0,24	-0,42	0.010	1.000
A_33_P3293883		0,24	-0,17	-0,42	0.023	1.000
A_21_P0012768	FAM86EP	0,24	-0,18	-0,42	0.002	1.000
A_24_P784765	CD59	0,13	-0,29	-0,42	0.045	1.000
A_21_P0008593	XLOC_011179	0,14	-0,29	-0,43	<0.001	0.961
A_33_P3389658	PDE4D	0,35	-0,08	-0,43	0.015	1.000
A_33_P3279851	LOC100286979	0,03	-0,41	-0,44	0.017	1.000
A_23_P142096	GPR32	0,18	-0,27	-0,45	0.027	1.000
A_21_P0014414	LOC100506369	0,23	-0,22	-0,45	0.032	1.000
A_33_P3316770	SLCO1A2	0,23	-0,22	-0,45	0.038	1.000
A_21_P0014726	LOC100507563	0,37	-0,08	-0,45	0.031	1.000
A_21_P0002272	XLOC_001630	0,27	-0,18	-0,45	0.015	1.000
A_21_P0003716	XLOC_003867	0,35	-0,10	-0,45	0.035	1.000
A_21_P0011964	XLOC_I2_00825 9	0,04	-0,41	-0,45	0.016	1.000
A_21_P0014815	LOC646778	0,01	-0,44	-0,45	0.033	1.000
A_21_P0000622	LOC100131176	0,25	-0,20	-0,45	0.021	1.000
A_21_P0003587	XLOC_003481	0,18	-0,28	-0,46	0.005	1.000
A_24_P286569	LANCL2	0,27	-0,19	-0,46	0.046	1.000
A_33_P3395502	LOC100129884	0,23	-0,23	-0,46	0.009	1.000
A_21_P0002756	XLOC_002716	0,13	-0,33	-0,46	0.017	1.000
A_21_P0002697	LOC401109	0,18	-0,27	-0,46	0.012	1.000
A_21_P0008129	XLOC_010529	0,44	-0,02	-0,46	0.012	1.000
A_33_P3780572	LOC401164	0,21	-0,25	-0,46	0.043	1.000
A_19_P00803575	MPRIP	0,26	-0,21	-0,47	0.005	1.000
A_24_P7750		0,10	-0,37	-0,48	0.023	1.000
A_21_P0011960	XLOC_I2_00822 6	0,29	-0,18	-0,48	0.029	1.000
A_21_P0006095	XLOC_007814	0,34	-0,14	-0,48	0.036	1.000
A_21_P0006652	LOC100507163	0,25	-0,23	-0,48	0.030	1.000
A_33_P3405451	TTC28-AS1	0,40	-0,08	-0,48	0.015	1.000
A_33_P3345031		0,22	-0,27	-0,49	0.033	1.000
A_33_P3411907	FGF5	0,43	-0,05	-0,49	0.040	1.000
A_23_P130158	WNT3	0,07	-0,42	-0,49	0.009	1.000
A_33_P3228718	CLEC19A	0,00	-0,49	-0,49	0.043	1.000

A_21_P0005062	XLOC_005854	0,25	-0,25	-0,49	0.002	1.000
A_33_P3299122	HNF1A	0,31	-0,18	-0,49	0.017	1.000
A_21_P0007705	XLOC_010064	0,25	-0,25	-0,49	0.038	1.000
A_23_P4808	PTGER1	0,22	-0,28	-0,49	0.020	1.000
A_24_P89835	MAPK15	0,25	-0,25	-0,50	0.032	1.000
A_21_P0000710	HMGA1P7	0,27	-0,22	-0,50	0.010	1.000
A_24_P66312	KRTAP12-1	0,36	-0,14	-0,50	0.040	1.000
A_23_P89302	CACNG1	0,28	-0,22	-0,50	0.046	1.000
A_33_P3375513		0,24	-0,26	-0,50	0.021	1.000
A_23_P83634	ALOX12B	0,39	-0,11	-0,50	0.040	1.000
A_33_P3279362	GRIK1-AS1	0,05	-0,45	-0,50	0.039	1.000
A_24_P106502	PRICKLE4	0,10	-0,40	-0,51	0.034	1.000
A_33_P3246715	LOC441495	0,15	-0,35	-0,51	0.001	1.000
A_33_P3285271	FMO6P	0,09	-0,42	-0,51	0.036	1.000
A_24_P69053	ODZ3	0,30	-0,21	-0,51	0.021	1.000
A_33_P3370109	IMPA1	0,15	-0,36	-0,51	0.004	1.000
A_33_P3348328		0,27	-0,24	-0,51	0.009	1.000
A_32_P135243	MTHFD1L	-0,08	-0,59	-0,52	0.009	1.000
A_21_P0010033	XLOC_013720	0,17	-0,34	-0,52	0.014	1.000
A_33_P3851023	NRXN3	0,34	-0,18	-0,52	0.037	1.000
A_21_P0004809	XLOC_005938	0,14	-0,38	-0,52	0.041	1.000
A_33_P3571824	NCR1	0,37	-0,15	-0,53	0.027	1.000
A_21_P0002012	XLOC_001975	0,48	-0,05	-0,53	0.025	1.000
A_19_P00322673	XLOC_I2_01331 4	0,26	-0,27	-0,53	0.021	1.000
A_21_P0005897	XLOC_007197	0,41	-0,12	-0,53	0.046	1.000
A_21_P0013942	LOC100130830	0,33	-0,20	-0,53	0.013	1.000
A_33_P3351259	LOC100130560	0,08	-0,45	-0,53	0.017	1.000
A_21_P0004459	XLOC_005052	0,36	-0,16	-0,53	0.032	1.000
A_19_P00315826	XLOC_001148	0,50	-0,03	-0,53	0.035	1.000
A_21_P0014420	LOC100506503	0,33	-0,20	-0,54	0.026	1.000
A_23_P256470	NPY	0,16	-0,37	-0,54	0.023	1.000
A_23_P71379	PSCA	0,28	-0,26	-0,54	0.001	1.000
A_33_P3543013	OR5AK4P	0,15	-0,39	-0,54	0.014	1.000
A_33_P3346338	WDR67	0,28	-0,27	-0,54	<0.001	1.000
A_21_P0003545	XLOC_004187	0,14	-0,41	-0,55	0.033	1.000
A_24_P132624	NIPSNAP3B	0,41	-0,14	-0,55	0.030	1.000
A_33_P3322730		0,13	-0,42	-0,55	0.031	1.000
A_21_P0014400	LOC100128997	0,11	-0,44	-0,55	0.032	1.000
A_33_P3282213		-0,09	-0,65	-0,56	0.023	1.000
A_21_P0012344	XLOC_I2_00946 9	0,37	-0,19	-0,56	0.030	1.000
A_33_P3416142	LOC100131234	0,60	0,04	-0,56	<0.001	1.000
A_21_P0000815	LOC100506122	0,25	-0,31	-0,56	0.038	1.000
A_21_P0010558	PDE4DIP	0,35	-0,21	-0,56	0.025	1.000
A_33_P3384229		0,29	-0,28	-0,57	0.042	1.000
A_21_P0003709	XLOC_003852	0,39	-0,18	-0,57	0.004	1.000
A_33_P3296769		0,14	-0,43	-0,57	0.014	1.000
A_21_P0001280	XLOC_000129	0,35	-0,22	-0,57	0.006	1.000
A_33_P3773195	LOC285762	0,31	-0,27	-0,58	0.040	1.000
A_24_P362595	PAX3	0,32	-0,26	-0,58	0.023	1.000

A_21_P0000628	LGALS8-AS1	0,17	-0,41	-0,58	0.038	1.000
A_33_P3412349	ZNF268	0,23	-0,36	-0,59	0.007	1.000
A_21_P0009738	XLOC_013218	0,09	-0,50	-0,59	0.033	1.000
A_23_P72697	GPIHBP1	0,23	-0,36	-0,59	0.015	1.000
A_33_P3275674		0,15	-0,44	-0,59	0.013	1.000
A_23_P311144	CCDC138	0,17	-0,43	-0,60	0.008	1.000
A_21_P0009047	XLOC_011978	0,28	-0,32	-0,60	0.045	1.000
A_33_P3526458	LOC338579	-0,14	-0,74	-0,60	0.027	1.000
A_23_P319557		0,29	-0,31	-0,60	0.048	1.000
A_21_P0003249	XLOC_002803	0,51	-0,09	-0,61	0.025	1.000
A_21_P0004862	XLOC_005214	0,17	-0,44	-0,61	0.010	1.000
A_23_P81131	CORIN	0,13	-0,48	-0,61	0.018	1.000
A_21_P0002632	XLOC_001910	0,12	-0,50	-0,62	0.034	1.000
A_21_P0002722	XLOC_002565	0,18	-0,43	-0,62	0.025	1.000
A_21_P0012303	psiTPTE22	0,39	-0,23	-0,63	0.037	1.000
A_21_P0008975	XLOC_011797	0,23	-0,40	-0,63	0.012	1.000
A_24_P93736	FLJ40292	0,25	-0,38	-0,63	0.002	1.000
A_23_P15692	GPR172B	0,30	-0,33	-0,63	0.023	1.000
A_21_P0002347	XLOC_001855	0,46	-0,19	-0,65	0.005	1.000
A_33_P3237879		0,43	-0,22	-0,65	0.009	1.000
A_33_P3300332	LOC644093	0,19	-0,46	-0,65	0.021	1.000
A_33_P3357283		0,47	-0,19	-0,66	0.045	1.000
A_33_P3213311		0,10	-0,56	-0,66	0.025	1.000
A_19_P00802607	XLOC_001537	0,30	-0,36	-0,66	0.032	1.000
A_23_P326157	GAL3ST2	0,23	-0,44	-0,67	0.007	1.000
A_33_P3394965		0,56	-0,11	-0,67	0.011	1.000
A_19_P00320675	LOC653712	0,30	-0,38	-0,68	0.030	1.000
A_33_P3256778	CNTF	0,19	-0,50	-0,68	<0.001	1.000
A_21_P0007210	XLOC_009126	0,23	-0,46	-0,69	0.003	1.000
A_33_P3251940	LOC100131608	0,27	-0,43	-0,70	0.001	1.000
A_21_P0005971	XLOC_007161	0,34	-0,35	-0,70	0.001	1.000
A_21_P0012735	XLOC_I2_01077 2	0,25	-0,46	-0,71	0.009	1.000
A_21_P0006782	XLOC_008907	0,35	-0,37	-0,71	0.005	1.000
A_32_P163247	CD8A	0,36	-0,35	-0,71	0.020	1.000
A_21_P0005325	XLOC_006567	0,51	-0,22	-0,73	0.015	1.000
A_33_P3405966	ST3GAL3	0,24	-0,49	-0,73	0.013	1.000
A_21_P0013779	XLOC_I2_01557 8	0,27	-0,46	-0,73	0.006	1.000
A_33_P3281171	LOC100130987	0,45	-0,28	-0,73	0.020	1.000
A_21_P0011779	LOC100506930	0,44	-0,29	-0,74	0.007	1.000
A_33_P3379701	TRIM36	0,15	-0,58	-0,74	0.012	1.000
A_23_P371215	ICOS	0,13	-0,61	-0,75	0.012	1.000
A_32_P99100	PTPRK	0,27	-0,48	-0,75	0.017	1.000
A_21_P0007622	XLOC_009872	0,30	-0,45	-0,76	0.009	1.000
A_21_P0010801	XLOC_I2_00142 1	0,33	-0,45	-0,78	0.013	1.000
A_21_P0014510	LOC645321	0,14	-0,67	-0,81	0.014	1.000
A_21_P0012656	XLOC_I2_01104 3	0,58	-0,24	-0,81	<0.001	1.000
A_33_P3411279	CYP21A2	-0,02	-0,85	-0,83	0.032	1.000
A_33_P3356492		0,39	-0,48	-0,87	0.002	1.000

A_23_P22352	FRMD4A	0,47	-0,40	-0,88	0.004	1.000
A_33_P3261953		0,36	-0,55	-0,91	0.030	1.000
A_33_P3355926	LOC100130894	0,39	-0,58	-0,96	0.003	1.000
A_33_P3260667	OR2T34	0,52	-0,56	-1,08	0.016	1.000

Supplemental Table 7

The table shows the 608 transcripts which were differentially regulated between the groups 180 minutes post-stress exposure. Out of these, 141 transcripts were up-regulated and 86 down-regulated in the early adversity group and did not change their expression in the control group. Conversely, 86 up- and 82 down-regulated transcripts in the control group were without significant changes in the early adversity group. A total of 129 transcripts were counter-regulated between the groups: 81 were up-regulated in the early trauma group and down-regulated in the control group, whereas 48 showed an increase in expression in the control group and decreases in the early trauma group.

The table shows the differences in log₂ expression values (t₂-t₀) in the control group and the early trauma group, as well as the difference between the groups (delta log₂ expression values).

The table is sorted in descending order of group differences. Thus, transcripts with relatively higher expression in the early trauma group can be found at the top of the table, transcripts with relatively lower expression in the early trauma group can be found at the bottom of the table. The *p*-values result from the limma *t*-test. The *p*-values were multiplicity-adjusted to control the false discovery rate (FDR) by the Benjamini–Hochberg procedure.

t₀: 45 minutes pre-stress exposure; t₂: 180 minutes post-stress exposure.

Agilent Probe ID	Gene Symbol	Control Group (log ₂ expression values t ₂ - t ₀)	Early Adversity (log ₂ expression values t ₂ - t ₀)	Delta log ₂ expression values Early Trauma – Control Group	p-value	adj. p- value
A_21_P0005109	XLOC_005180	-0,31	0,78	1,09	0.003	0.500
A_24_P7600	FBXL7	-0,32	0,75	1,08	0.001	0.422
A_23_P42241	OR5V1	-0,24	0,83	1,07	0.001	0.458
A_21_P0009215	XLOC_012095	-0,28	0,78	1,06	0.035	0.738
A_21_P0003476	XLOC_003976	-0,19	0,86	1,05	0.002	0.474
A_21_P0009578	XLOC_012880	-0,45	0,60	1,05	0.001	0.458
A_21_P0006253	XLOC_007645	-0,48	0,55	1,03	0.002	0.474
A_19_P00322498	Q7VPR2	-0,47	0,56	1,03	<0.001	0.269
A_23_P86411	MYO3A	-0,44	0,58	1,01	0.001	0.458
A_23_P303101	PCDHGC4	-0,38	0,63	1,00	<0.001	0.370
A_33_P3417650	KLK10	-0,24	0,75	0,99	0.003	0.492
A_33_P3382111		-0,56	0,43	0,99	0.002	0.473
A_23_P126278	CHIT1	-0,64	0,34	0,99	0.011	0.635
A_21_P0007422	XLOC_009606	-0,27	0,71	0,98	0.004	0.523
A_33_P3367681		-0,42	0,54	0,96	0.007	0.583
A_21_P0001856	XLOC_001452	-0,34	0,62	0,96	0.002	0.474
A_19_P00319064	XLOC_I2_007967	-0,44	0,51	0,95	0.001	0.422
A_33_P3375170	LOC100131242	-0,53	0,41	0,94	0.003	0.492
A_21_P0010983	XLOC_I2_002355	-0,31	0,63	0,93	0.003	0.498
A_33_P3806676		-0,49	0,44	0,93	0.008	0.583
A_21_P0013504	XLOC_I2_014388	-0,35	0,56	0,91	0.006	0.564
A_21_P0006148	XLOC_007368	-0,24	0,65	0,89	0.003	0.500

A_23_P391857	ESRRB	-0,49	0,40	0,89	0,011	0,635
A_33_P3244553		-0,43	0,46	0,89	0,001	0,449
A_19_P00318519	LOC100506259	-0,20	0,69	0,89	0,003	0,498
A_33_P3260862		-0,23	0,65	0,89	0,011	0,635
A_21_P0009271	XLOC_012304	-0,30	0,57	0,87	0,007	0,583
A_23_P159721	GPR50	-0,50	0,37	0,87	<0.001	0,422
A_23_P377629	FAM75C2	-0,40	0,46	0,86	0,031	0,727
A_32_P32856	PCDHGC5	-0,34	0,52	0,86	0,027	0,719
A_33_P3299110	ARHGAP42	-0,36	0,50	0,86	0,004	0,523
A_23_P116523		-0,18	0,68	0,86	0,001	0,458
A_19_P00806499	SPG20OS	-0,37	0,48	0,85	0,001	0,449
A_21_P0010713	XLOC_I2_000353	-0,20	0,65	0,84	0,003	0,507
A_23_P330419	ACPT	-0,41	0,42	0,84	0,001	0,456
A_21_P0001154	XLOC_000920	-0,39	0,45	0,83	0,023	0,695
A_21_P0011532	XLOC_I2_005714	-0,70	0,13	0,83	0,042	0,761
A_21_P0004156	XLOC_004928	-0,18	0,64	0,82	0,002	0,474
A_33_P3295091	C1orf140	-0,17	0,64	0,81	0,019	0,668
A_21_P0005227	XLOC_006059	-0,51	0,30	0,81	0,011	0,635
A_21_P0014079	C1orf61	-0,31	0,49	0,81	0,001	0,458
A_23_P45011	PPP1R14C	-0,15	0,65	0,80	0,006	0,568
A_21_P0011494	XLOC_I2_005606	-0,04	0,75	0,79	0,014	0,647
A_21_P0014778	LOC100507516	-0,32	0,47	0,79	0,007	0,583
A_21_P0004747	XLOC_005713	-0,25	0,53	0,78	0,007	0,583
A_33_P3407549	ANKRD43	-0,28	0,50	0,78	0,033	0,733
A_21_P0012314	XLOC_I2_009302	-0,30	0,48	0,78	0,001	0,445
A_33_P3311205	PRPF40B	-0,41	0,37	0,78	0,035	0,738
A_33_P3294314		-0,41	0,36	0,77	0,004	0,523
A_21_P0003757	XLOC_004049	-0,08	0,70	0,77	0,034	0,733
A_21_P0013465	XLOC_I2_014086	-0,17	0,60	0,77	0,011	0,635
A_33_P3334180	PLCH2	-0,20	0,57	0,77	0,001	0,458
A_21_P0010732	XLOC_I2_000465	-0,25	0,52	0,77	0,011	0,635
A_23_P102462	FBLN7	-0,22	0,54	0,77	0,002	0,474
A_21_P0007649	XLOC_009927	-0,31	0,46	0,77	0,037	0,742
A_23_P79769	BIRC7	-0,31	0,44	0,76	0,001	0,445
A_21_P0010112	XLOC_013683	-0,47	0,28	0,75	0,046	0,764
A_21_P0011428	SLC9B1	0,06	0,80	0,75	0,012	0,636
A_33_P3315698	ABHD12B	-0,34	0,41	0,75	0,004	0,523
A_24_P227211	KLC2	-0,24	0,51	0,74	0,006	0,564
A_33_P3210228	ZCCHC6	-0,45	0,30	0,74	0,004	0,523
A_33_P3265709	OR2Y1	-0,48	0,26	0,74	0,050	0,782
A_23_P46894	CHAT	-0,38	0,36	0,74	0,008	0,609
A_24_P132813	OPALIN	-0,32	0,41	0,74	0,002	0,461
A_33_P3334155	LOC100652791	-0,34	0,40	0,73	0,002	0,474
A_23_P414281	C16orf71	-0,27	0,46	0,73	0,021	0,683
A_33_P3394405	LOC727721	-0,67	0,06	0,73	0,028	0,723
A_21_P0004448	XLOC_005024	-0,44	0,29	0,73	0,006	0,564
A_21_P0009544	XLOC_012812	-0,30	0,41	0,71	0,004	0,523
A_21_P0014780	LOC100652747	-0,40	0,31	0,71	0,019	0,668
A_21_P0003793	XLOC_004153	-0,35	0,36	0,71	0,003	0,507
A_24_P126892		-0,60	0,11	0,71	0,025	0,699

A_23_P24311	ALDH3B2	-0,22	0,48	0,70	0,042	0,761
A_21_P0009450	XLOC_012621	-0,29	0,41	0,70	0,002	0,474
A_23_P117363	SERPINA6	-0,30	0,40	0,70	0,010	0,632
A_19_P00811430	XLOC_011183	-0,32	0,37	0,69	0,022	0,687
A_23_P78762	HSD17B14	-0,13	0,56	0,69	0,019	0,669
A_33_P3318343	CTAG2	-0,34	0,35	0,69	0,004	0,523
A_23_P35055	NPHS2	-0,23	0,46	0,69	0,024	0,699
A_21_P0012146	XLOC_I2_008609	-0,24	0,45	0,69	0,001	0,422
A_21_P0014745	LOC100652924	-0,21	0,47	0,68	0,026	0,707
A_21_P0003286	XLOC_003149	-0,40	0,28	0,68	<0.001	0,269
A_33_P3241591	LOC100131864	-0,35	0,33	0,68	0,030	0,727
A_23_P385105	PLCD4	-0,37	0,31	0,68	0,028	0,725
A_21_P0012537	XLOC_I2_010149	-0,40	0,28	0,68	0,004	0,523
A_19_P00321348	XLOC_005921	-0,11	0,56	0,68	0,011	0,635
A_23_P160167	TSPAN1	-0,28	0,39	0,67	0,011	0,635
A_33_P3262069	OR2AG2	-0,25	0,42	0,67	0,014	0,647
A_33_P3519424	LOC386597	-0,33	0,34	0,67	0,040	0,761
A_23_P51580	HSD3B2	-0,35	0,32	0,67	0,018	0,661
A_23_P135132	FRMD3	-0,33	0,34	0,67	0,007	0,583
A_21_P0008387	XLOC_010931	-0,54	0,12	0,67	0,006	0,560
A_21_P0008523	XLOC_010915	-0,32	0,34	0,66	0,003	0,498
A_21_P0001337	XLOC_000291	-0,22	0,44	0,66	0,029	0,727
A_33_P3339731	LOC100131170	-0,44	0,21	0,66	0,036	0,738
A_23_P127565	LAYN	-0,29	0,36	0,66	0,014	0,647
A_33_P3358457	GLI2	-0,33	0,32	0,65	0,002	0,482
A_24_P32139	HTR3E	-0,30	0,35	0,65	0,002	0,474
A_33_P3775281	LOC644050	-0,18	0,47	0,65	0,002	0,474
A_21_P0005222	XLOC_006044	-0,34	0,31	0,65	0,031	0,727
A_21_P0005977	XLOC_007235	-0,26	0,38	0,65	0,004	0,523
A_23_P258164	CORT	-0,19	0,45	0,64	0,003	0,507
A_33_P3256282	KRTAP10-2	-0,28	0,36	0,64	0,030	0,727
A_21_P0000512	SNAR-I	-0,14	0,50	0,64	0,045	0,761
A_33_P3372288	ZNF81	-0,07	0,56	0,64	0,010	0,625
A_33_P3400643	LOC643529	-0,07	0,57	0,64	0,037	0,742
A_33_P3751230	LOC284628	-0,27	0,37	0,64	0,007	0,583
A_23_P429998	FOSB	0,12	0,76	0,64	0,031	0,727
A_23_P397468	OR10J1	-0,34	0,30	0,64	0,005	0,529
A_21_P0002397	XLOC_001971	-0,36	0,27	0,64	0,011	0,635
A_24_P150466	SMOC1	-0,11	0,53	0,63	0,045	0,764
A_32_P148275	SPIC	-0,23	0,40	0,63	0,044	0,761
A_33_P3321293	IQGAP3	0,12	0,75	0,63	0,007	0,583
A_23_P6066	CPXM1	-0,31	0,32	0,63	<0.001	0,370
A_33_P3279610	COX6A2	-0,24	0,39	0,63	0,032	0,729
A_21_P0009242	XLOC_012184	-0,34	0,29	0,63	0,023	0,695
A_21_P0003216	XLOC_002573	-0,19	0,44	0,63	0,042	0,761
A_19_P00802433	XLOC_005327	-0,23	0,40	0,63	0,027	0,719
A_23_P45976	RAP1GAP	-0,28	0,35	0,63	0,017	0,661
A_23_P44363	CASKIN2	-0,58	0,04	0,62	0,018	0,661
A_33_P3391225		-0,57	0,05	0,62	0,009	0,624
A_21_P0005208	XLOC_005979	-0,27	0,35	0,62	0,003	0,492

A_21_P0005141	XLOC_005514	-0,40	0,22	0,62	0,002	0,461
A_23_P207336	PPY	-0,22	0,40	0,62	0,032	0,729
A_21_P0001643	XLOC_001263	-0,31	0,31	0,62	0,004	0,523
A_33_P3363100		-0,21	0,40	0,61	0,025	0,701
A_23_P347029	TAS2R50	-0,34	0,27	0,61	0,013	0,647
A_24_P368735	ARL10	-0,18	0,44	0,61	0,013	0,647
A_33_P3354723	DEDD	-0,19	0,42	0,61	0,007	0,583
A_21_P0012789	XLOC_I2_011227	0,08	0,69	0,61	0,029	0,727
A_21_P0001690	XLOC_000266	-0,15	0,46	0,61	0,003	0,507
A_23_P55917	SYT3	-0,09	0,52	0,61	0,018	0,661
A_33_P3317168	EPS8L3	-0,23	0,37	0,61	<0.001	0,278
A_21_P0009973	XLOC_013562	-0,23	0,37	0,61	0,030	0,727
A_21_P0002797	XLOC_002909	-0,41	0,20	0,60	0,003	0,507
A_24_P128727		-0,05	0,55	0,60	0,042	0,761
A_21_P0009172	XLOC_012240	-0,33	0,27	0,60	0,026	0,707
A_19_P00807614	XLOC_012683	-0,21	0,39	0,60	0,017	0,661
A_33_P3282683	LOC100130027	-0,34	0,25	0,59	0,039	0,758
A_33_P3404889	LPHN2	-0,19	0,41	0,59	0,002	0,486
A_24_P49896	GDPD4	-0,35	0,24	0,59	0,006	0,568
A_33_P3324409		-0,48	0,11	0,59	0,028	0,721
A_33_P3245674	ZNF329	-0,26	0,33	0,59	0,039	0,758
A_21_P0010734	XLOC_I2_000522	-0,23	0,36	0,59	0,008	0,583
A_33_P3289391		-0,31	0,28	0,59	0,017	0,661
A_21_P0003493	XLOC_004050	-0,22	0,36	0,59	0,008	0,583
A_21_P0008705	XLOC_011397	-0,03	0,56	0,59	0,018	0,661
A_21_P0003176	XLOC_003250	-0,16	0,42	0,59	0,006	0,564
A_33_P3329769	BEND6	-0,41	0,17	0,59	0,018	0,661
A_21_P0013197	XLOC_I2_013383	-0,36	0,22	0,58	0,009	0,619
A_21_P0010622	XLOC_I2_000941	-0,03	0,55	0,58	0,037	0,743
A_23_P165608	SEMA4F	-0,24	0,34	0,58	0,023	0,695
A_33_P3353948		-0,11	0,47	0,58	<0.001	0,370
A_24_P373768	GIPR	-0,20	0,38	0,58	0,003	0,492
A_21_P0011762	XLOC_I2_007119	-0,24	0,34	0,58	0,003	0,492
A_33_P3232478	CACNA2D1	-0,30	0,28	0,58	0,013	0,647
A_33_P3241250	LOC401357	-0,22	0,36	0,58	0,002	0,474
A_21_P0004782	XLOC_005857	-0,39	0,19	0,58	0,048	0,776
A_33_P3232937	LOC100289178	-0,28	0,30	0,58	0,050	0,781
A_21_P0008581	XLOC_011157	-0,33	0,25	0,58	0,014	0,647
A_21_P0011921	XLOC_I2_008040	-0,21	0,37	0,57	0,002	0,478
A_21_P0001568	LOC440600	-0,53	0,04	0,57	0,018	0,661
A_24_P383478	ESR1	-0,21	0,37	0,57	0,015	0,647
A_24_P366787	FLJ42875	-0,29	0,28	0,57	0,016	0,655
A_33_P3282291	FLJ40039	-0,21	0,36	0,57	<0.001	0,237
A_33_P3824237	LOC439990	-0,24	0,33	0,57	0,011	0,635
A_21_P0013037	LOC154092	-0,38	0,19	0,57	0,009	0,614
A_23_P44867	AMBN	-0,31	0,25	0,56	0,001	0,458
A_23_P254507	HOPX	-0,22	0,34	0,56	0,017	0,661
A_33_P3385002	ELK1	-0,31	0,25	0,56	0,031	0,727
A_21_P0000862	LOC100132987	-0,27	0,29	0,56	0,024	0,699
A_33_P3350547	SCN5A	-0,24	0,32	0,56	0,025	0,699

A_24_P380349	HTR1E	-0,22	0,34	0,56	0.003	0.492
A_33_P3273819		-0,45	0,11	0,56	0.003	0.523
A_21_P0004812	XLOC_005119	-0,13	0,43	0,55	0.034	0.734
A_19_P00318978		-0,20	0,35	0,55	0.004	0.523
A_33_P3323019		-0,18	0,37	0,55	0.001	0.458
A_24_P32574	KNDC1	-0,52	0,03	0,55	0.014	0.647
A_21_P0001852	XLOC_001428	-0,02	0,53	0,55	0.020	0.669
A_24_P212234	SLC6A18	-0,14	0,41	0,55	0.043	0.761
A_23_P119936	REG3A	-0,31	0,24	0,55	0.005	0.552
A_33_P3298750		-0,29	0,26	0,55	0.006	0.572
A_23_P167841	KCNQ5	-0,41	0,14	0,55	0.023	0.695
A_21_P0014748	LOC100653178	-0,39	0,16	0,55	0.004	0.523
A_21_P0001041	XLOC_000505	-0,13	0,41	0,54	0.001	0.458
A_21_P0003960	XLOC_004274	-0,35	0,20	0,54	0.005	0.529
A_21_P0005456	XLOC_006321	-0,14	0,40	0,54	0.021	0.683
A_33_P3330074		-0,20	0,34	0,54	0.001	0.422
A_32_P152437	AKAP12	-0,15	0,39	0,54	0.032	0.731
A_21_P0009248	XLOC_012209	-0,33	0,21	0,53	0.004	0.523
A_33_P3390226		-0,33	0,20	0,53	0.033	0.733
A_19_P00316479	LOC553137	-0,05	0,48	0,53	0.005	0.544
A_21_P0008725	XLOC_011433	-0,23	0,31	0,53	0.008	0.607
A_33_P3260974		-0,21	0,32	0,53	0.006	0.560
A_33_P3376365	HES2	-0,28	0,25	0,53	0.030	0.727
A_33_P3245021		-0,32	0,21	0,53	0.015	0.647
A_23_P153797	NCAN	-0,22	0,31	0,53	0.022	0.695
A_21_P0004355	LOC285577	-0,31	0,22	0,53	0.049	0.776
A_19_P00315593	XLOC_004643	-0,44	0,09	0,53	0.001	0.422
A_33_P3374035	PDXK	-0,49	0,03	0,53	0.042	0.761
A_33_P3398998	C2orf50	-0,27	0,25	0,52	<0.001	0.387
A_21_P0008421	XLOC_010996	-0,41	0,11	0,52	0.005	0.529
A_21_P0005446	XLOC_006298	-0,19	0,33	0,52	0.010	0.632
A_21_P0003868	XLOC_003807	-0,01	0,52	0,52	0.037	0.741
A_33_P3313625		-0,34	0,18	0,52	0.014	0.647
A_33_P3258546	PCDHA5	-0,16	0,36	0,52	0.007	0.583
A_33_P3393010	PKDCC	-0,52	0,00	0,52	0.030	0.727
A_24_P419039	PCDH19	-0,14	0,38	0,52	0.034	0.733
A_33_P3366241	SCARA5	-0,06	0,46	0,52	0.012	0.635
A_19_P00317974	XLOC_005342	-0,37	0,15	0,52	0.018	0.661
A_19_P00321697	LINC00313	-0,18	0,34	0,52	0.011	0.635
A_19_P00320162	LOC100132240	-0,32	0,19	0,52	0.024	0.699
A_23_P43350	MLANA	-0,28	0,24	0,52	0.011	0.635
A_21_P0012310	XLOC_I2_009292	-0,29	0,22	0,52	0.037	0.743
A_21_P0010251	XLOC_013950	-0,28	0,23	0,52	0.014	0.647
A_21_P0001694	XLOC_000303	-0,40	0,12	0,51	0.031	0.727
A_21_P0007408	XLOC_009576	-0,36	0,15	0,51	0.003	0.500
A_21_P0001197	XLOC_001098	-0,32	0,20	0,51	0.011	0.635
A_21_P0013160	XLOC_I2_013149	-0,34	0,17	0,51	0.017	0.656
A_23_P150979	MUCL1	-0,33	0,18	0,51	0.024	0.699
A_19_P00315492	Q73P46	-0,35	0,16	0,51	0.030	0.727
A_33_P3288246	MCC	-0,48	0,03	0,51	0.013	0.647

A_24_P115990	AMHR2	-0,24	0,27	0,51	0,017	0,656
A_33_P3381092	OR10W1	-0,26	0,25	0,51	0,018	0,661
A_19_P00321577	XLOC_010390	-0,15	0,36	0,51	0,001	0,458
A_23_P501547	ADCY6	-0,45	0,05	0,51	0,045	0,761
A_33_P3280916	SNHG4	-0,09	0,42	0,51	0,005	0,544
A_23_P377882	KCNH2	-0,23	0,28	0,50	0,035	0,738
A_23_P374844	GAL	-0,16	0,34	0,50	0,021	0,680
A_21_P0013089	XLOC_I2_013056	-0,33	0,17	0,50	0,003	0,500
A_21_P0006894	XLOC_008558	-0,34	0,16	0,50	0,011	0,635
A_33_P3343473	ATRNL1	-0,13	0,37	0,50	0,023	0,696
A_24_P203418		-0,14	0,36	0,50	0,028	0,721
A_32_P3534	PGPEP1L	-0,19	0,31	0,49	0,029	0,727
A_21_P0011881	XLOC_I2_007802	-0,19	0,31	0,49	<0.001	0,387
A_21_P0006415	XLOC_007942	-0,23	0,27	0,49	0,007	0,583
A_21_P0013689	XLOC_I2_014694	-0,05	0,44	0,49	0,015	0,647
A_21_P0006277	XLOC_007735	-0,17	0,33	0,49	0,010	0,634
A_33_P3401701	EDNRA	-0,40	0,09	0,49	0,007	0,581
A_21_P0012328	LOC100507474	-0,35	0,14	0,49	0,018	0,661
A_21_P0002142	XLOC_002517	-0,15	0,35	0,49	0,046	0,764
A_33_P3288491	KLHL38	-0,26	0,23	0,49	0,015	0,647
A_33_P3394465	PROP1	-0,27	0,22	0,49	0,011	0,635
A_21_P0004223	XLOC_004280	-0,09	0,40	0,49	0,001	0,458
A_33_P3274562	SLC19A3	-0,37	0,12	0,49	0,022	0,695
A_33_P3298173	DEFA7P	-0,03	0,45	0,49	0,041	0,761
A_33_P3314073		-0,26	0,23	0,49	0,012	0,636
A_23_P23996	MAT1A	-0,25	0,23	0,49	0,007	0,583
A_32_P48466	LCA5L	-0,34	0,15	0,49	0,021	0,683
A_32_P327679	DKFZP434K028	-0,27	0,21	0,48	0,014	0,647
A_24_P941167	APOL6	-0,26	0,23	0,48	0,025	0,699
A_21_P0011498	XLOC_I2_005295	0,03	0,51	0,48	0,031	0,727
A_21_P0005007	XLOC_005629	-0,06	0,42	0,48	0,023	0,695
A_21_P0006697	XLOC_008560	-0,19	0,30	0,48	0,040	0,761
A_33_P3375541	CD3D	-0,20	0,27	0,48	0,011	0,635
A_23_P108082	CREB3L3	-0,44	0,03	0,48	0,010	0,632
A_33_P3338423	SPRY4	-0,29	0,19	0,48	0,033	0,733
A_23_P213620	PPP2R2B	-0,20	0,27	0,48	0,012	0,636
A_24_P119131	TMEM120B	-0,31	0,16	0,48	0,014	0,647
A_23_P70733	TAAR2	-0,14	0,33	0,47	0,044	0,761
A_21_P0002948	XLOC_002618	-0,01	0,46	0,47	0,027	0,719
A_33_P3218491		-0,30	0,17	0,47	0,006	0,564
A_21_P0000353	SCARNA23	0,14	0,61	0,47	0,018	0,661
A_33_P3210119	HLA-L	-0,08	0,39	0,47	0,003	0,507
A_19_P00321789	XLOC_005464	-0,11	0,35	0,46	<0.001	0,401
A_32_P92789	LOC728012	-0,28	0,18	0,46	0,013	0,647
A_23_P322395	ZSCAN1	-0,15	0,31	0,46	0,005	0,544
A_33_P3876192	IGLV1-44	-0,36	0,10	0,46	0,039	0,759
A_23_P62752	NPPB	-0,16	0,31	0,46	0,040	0,761
A_33_P3243138	SELV	-0,14	0,32	0,46	0,033	0,733
A_23_P44964	FAM171A1	-0,01	0,45	0,46	0,013	0,647
A_23_P211345	TBX1	-0,05	0,41	0,46	0,032	0,729

A_33_P3294459	COPG2IT1	-0,24	0,22	0,46	0.013	0.647
A_33_P3390918	FSD2	0,01	0,46	0,45	0.044	0.761
A_21_P0009182	XLOC_012323	-0,15	0,30	0,45	0.039	0.759
A_33_P3330428		-0,17	0,28	0,45	0.030	0.727
A_21_P0004547	XLOC_004673	-0,27	0,19	0,45	0.016	0.654
A_21_P0000268	SNORA69	-0,36	0,09	0,45	0.043	0.761
A_21_P0005213	XLOC_005988	-0,23	0,23	0,45	0.023	0.696
A_21_P0013875	XLOC_I2_015878	0,01	0,46	0,45	0.043	0.761
A_21_P0011758	XLOC_I2_007097	-0,15	0,30	0,45	0.045	0.761
A_24_P852756	HLA-DQA2	-0,12	0,33	0,45	0.026	0.711
A_33_P3326643	OTOG	-0,27	0,18	0,45	0.009	0.614
A_24_P51683	CDK5R2	-0,18	0,26	0,45	0.031	0.727
A_33_P3303729		-0,08	0,36	0,44	0.018	0.661
A_33_P3538104	LOC283854	-0,13	0,32	0,44	0.034	0.734
A_21_P0000616	LOC728377	-0,31	0,13	0,44	0.020	0.673
A_33_P3362952	LRRC37BP1	-0,26	0,18	0,44	<0.001	0.387
A_21_P0009702	XLOC_013028	-0,10	0,34	0,44	0.006	0.568
A_21_P0009346	XLOC_012551	-0,30	0,14	0,44	0.030	0.727
A_21_P0002208	XLOC_001454	-0,31	0,12	0,43	0.031	0.727
A_24_P580248		-0,25	0,18	0,43	0.038	0.756
A_23_P3312	ISLR	-0,30	0,14	0,43	0.003	0.498
A_19_P00322242	GALNT9	-0,18	0,25	0,43	0.027	0.711
A_23_P381351	CSH1	-0,27	0,16	0,43	0.033	0.733
A_24_P151121	A1BG	-0,25	0,17	0,43	0.046	0.764
A_33_P3415124	DNAH10OS	-0,23	0,20	0,43	0.037	0.742
A_23_P147918	S100A16	-0,05	0,37	0,43	0.050	0.781
A_21_P0007555	XLOC_009740	-0,24	0,19	0,43	0.015	0.647
A_23_P162861	SERPINE3	-0,46	-0,04	0,42	0.034	0.734
A_24_P341344		-0,23	0,18	0,42	0.016	0.652
A_21_P0012547	XLOC_I2_010319	-0,16	0,25	0,42	0.026	0.706
A_21_P0000935	XLOC_001149	-0,26	0,14	0,41	0.011	0.635
A_19_P00319337	C6orf208	-0,02	0,39	0,41	0.045	0.761
A_21_P0012285	XLOC_I2_009468	-0,22	0,19	0,40	0.003	0.507
A_33_P3317979	MYO5B	-0,20	0,21	0,40	0.033	0.733
A_21_P0014041	IPO13	-0,16	0,24	0,40	0.033	0.733
A_33_P3337134	ABLIM2	0,07	0,47	0,40	0.030	0.727
A_21_P0002107	XLOC_002339	-0,22	0,18	0,40	0.045	0.761
A_33_P3373991		-0,21	0,19	0,40	0.018	0.661
A_33_P3339361	ARHGAP11A	0,10	0,50	0,40	0.033	0.733
A_21_P0004537	XLOC_004635	-0,37	0,03	0,40	0.009	0.614
A_23_P115467	S100A5	-0,17	0,22	0,39	<0.001	0.422
A_33_P3271196	AMOTL1	-0,05	0,34	0,39	0.002	0.482
A_21_P0013836	XLOC_I2_015849	-0,08	0,31	0,39	0.005	0.529
A_23_P28834	PHACTR3	-0,33	0,06	0,39	0.007	0.583
A_23_P9340	BARHL1	-0,21	0,17	0,39	0.026	0.705
A_33_P3311730		-0,14	0,25	0,39	0.025	0.699
A_23_P81926	PSORS1C2	-0,20	0,19	0,38	0.026	0.707
A_33_P3257050		-0,26	0,12	0,38	0.033	0.733
A_21_P0012834	THBS4	-0,15	0,23	0,38	0.006	0.564
A_24_P321525	RERG	-0,35	0,03	0,38	0.043	0.761

A_19_P00318977	LOC729178	-0,11	0,27	0,37	0,044	0,761
A_23_P89601	KRT32	-0,19	0,18	0,37	0,048	0,776
A_21_P0003490	XLOC_004040	-0,27	0,10	0,37	0,008	0,598
A_33_P3382489		-0,17	0,20	0,37	0,030	0,727
A_33_P3321993		-0,10	0,26	0,36	0,030	0,727
A_33_P3390217	TTLL9	-0,19	0,17	0,36	0,029	0,727
A_33_P3378545		-0,14	0,22	0,36	0,042	0,761
A_23_P209360	KLHL29	-0,02	0,34	0,36	0,039	0,759
A_21_P0011732	XLOC_I2_006983	-0,10	0,26	0,36	0,037	0,743
A_24_P221414	DYNC111	-0,17	0,19	0,36	0,011	0,635
A_21_P0006946	XLOC_008688	-0,20	0,15	0,34	0,027	0,711
A_23_P212508	TF	-0,26	0,09	0,34	0,006	0,560
A_33_P3325643	LINC00487	0,10	0,44	0,34	0,044	0,761
A_21_P0011129	TPTE2P6	-0,31	0,03	0,33	0,047	0,768
A_21_P0011703	XLOC_I2_006789	-0,18	0,15	0,32	0,019	0,668
A_21_P0000944	XLOC_000035	-0,12	0,20	0,32	0,046	0,764
A_33_P3343577		-0,30	0,02	0,32	0,050	0,782
A_21_P0003556	XLOC_003411	-0,15	0,16	0,31	0,046	0,764
A_21_P0010955	GUCY2GP	0,00	0,31	0,31	0,033	0,733
A_33_P3326942		-0,24	0,07	0,31	0,006	0,564
A_23_P370574	KIR3DL3	-0,25	0,04	0,29	0,029	0,727
A_24_P23921	C17orf98	-0,02	0,25	0,27	0,040	0,761
A_19_P00811264	XLOC_012720	-0,08	0,19	0,26	0,007	0,583
A_33_P3387320	RPL31	0,10	0,33	0,23	0,031	0,727
A_21_P0010313	XLOC_013949	-0,12	0,07	0,19	0,021	0,686
A_21_P0000662	LOC100131320	-0,06	0,12	0,18	0,043	0,761
A_23_P144827	FBXL7	0,20	-0,03	-0,22	0,038	0,750
A_33_P3294911	C12orf66	0,14	-0,11	-0,25	0,036	0,738
A_21_P0002238	XLOC_001516	0,06	-0,20	-0,26	0,022	0,695
A_21_P0005442	XLOC_006291	0,19	-0,07	-0,26	0,044	0,761
A_33_P3404116		0,08	-0,18	-0,26	0,013	0,647
A_21_P0001991	XLOC_001945	0,09	-0,18	-0,28	0,041	0,761
A_33_P3213408	OR10AD1	0,34	0,07	-0,28	0,048	0,770
A_33_P3212954	SPANXN4	0,27	-0,02	-0,29	0,012	0,645
A_21_P0006041	XLOC_007519	0,00	-0,30	-0,30	0,015	0,647
A_21_P0009055	XLOC_012003	0,18	-0,12	-0,30	0,004	0,523
A_33_P3402010	C14orf56	-0,01	-0,32	-0,31	0,021	0,683
A_23_P204801	SLC41A2	0,13	-0,19	-0,32	0,047	0,764
A_21_P0005101	XLOC_005126	0,27	-0,06	-0,33	0,027	0,715
A_21_P0003674	XLOC_003772	0,18	-0,15	-0,33	0,031	0,727
A_24_P357169	EPPK1	0,07	-0,27	-0,34	0,002	0,478
A_33_P3312661		0,25	-0,09	-0,34	0,035	0,738
A_33_P3333089	LOC729444	0,18	-0,17	-0,35	0,024	0,696
A_21_P0013510	XLOC_I2_014459	0,38	0,03	-0,36	0,043	0,761
A_21_P0014368	LOC100505754	0,18	-0,18	-0,36	0,005	0,529
A_33_P3365368	PTH1R	0,07	-0,29	-0,36	0,008	0,598
A_33_P3239989		0,24	-0,12	-0,36	0,017	0,656
A_33_P3349501		0,12	-0,24	-0,36	0,021	0,684
A_33_P3333787		0,08	-0,28	-0,37	0,009	0,625
A_21_P0001088	XLOC_000677	0,25	-0,12	-0,37	0,036	0,738

A_33_P3411260	LOC100288884	0,05	-0,32	-0,37	0,044	0,761
A_21_P0001016	XLOC_000391	0,21	-0,16	-0,37	0,009	0,625
A_33_P3273068	ALX4	0,40	0,03	-0,37	0,039	0,760
A_33_P3394075	RIT1	0,15	-0,23	-0,38	0,047	0,768
A_24_P150931	NXPB3	0,14	-0,23	-0,38	0,041	0,761
A_24_P358591	C2orf70	0,11	-0,27	-0,38	0,026	0,707
A_33_P3373446	LOC100507505	0,12	-0,26	-0,38	0,031	0,727
A_19_P00810085		0,29	-0,09	-0,38	0,014	0,647
A_33_P3303557		0,30	-0,08	-0,39	0,026	0,707
A_33_P3389649	PDE4D	0,22	-0,17	-0,39	0,038	0,750
A_33_P3220976	EFHB	0,36	-0,03	-0,39	0,034	0,733
A_33_P3252146	HMX3	0,20	-0,19	-0,39	0,014	0,647
A_21_P0004998	XLOC_005595	0,22	-0,17	-0,39	0,034	0,734
A_23_P59976	GML	0,35	-0,05	-0,39	0,047	0,770
A_33_P3362008	NPPB	0,26	-0,14	-0,39	0,041	0,761
A_21_P0005451	XLOC_006308	0,16	-0,23	-0,40	0,030	0,727
A_19_P00319147	IPW	0,08	-0,32	-0,40	0,002	0,474
A_21_P0012945	XLOC_I2_011627	0,20	-0,19	-0,40	0,032	0,729
A_21_P0000460	SNORD121A	0,23	-0,17	-0,40	0,016	0,652
A_33_P3607600	SNORA80	0,30	-0,11	-0,40	0,031	0,727
A_21_P0010995	XLOC_I2_002441	0,45	0,04	-0,41	0,019	0,668
A_33_P3413404	PARVB	0,21	-0,20	-0,41	0,030	0,727
A_23_P163481	BUB1B	0,32	-0,09	-0,41	0,030	0,727
A_21_P0009332	XLOC_012515	0,28	-0,13	-0,41	0,025	0,699
A_23_P67785	SPAG16	0,26	-0,16	-0,42	0,029	0,727
A_33_P3226420	RSAD2	0,66	0,24	-0,42	0,029	0,727
A_23_P385861	CDCA2	0,25	-0,17	-0,42	0,025	0,699
A_21_P0009640	XLOC_012899	0,37	-0,06	-0,42	0,035	0,738
A_21_P0007210	XLOC_009126	0,35	-0,07	-0,43	0,005	0,544
A_33_P3424826		0,27	-0,16	-0,43	0,033	0,733
A_32_P213330	RGNEF	0,08	-0,35	-0,43	0,008	0,611
A_33_P3222380	AHNAK2	0,15	-0,28	-0,43	0,001	0,445
A_23_P125204	OR10G8	0,26	-0,17	-0,43	0,023	0,695
A_33_P3222962	RIBC1	0,20	-0,23	-0,43	0,031	0,727
A_21_P0003916	XLOC_004206	0,15	-0,28	-0,43	0,022	0,689
A_33_P3245734	ZNF680	0,31	-0,12	-0,44	0,038	0,748
A_21_P0006869	XLOC_008477	0,41	-0,02	-0,44	0,029	0,727
A_21_P0012772	XLOC_I2_011095	0,02	-0,42	-0,44	0,036	0,738
A_24_P143843		0,24	-0,20	-0,44	0,019	0,668
A_33_P3235410	PTPLA	0,25	-0,19	-0,44	0,016	0,656
A_33_P3264735	LOC100128869	0,23	-0,22	-0,44	0,044	0,761
A_21_P0005971	XLOC_007161	0,14	-0,30	-0,44	0,018	0,661
A_21_P0007127	XLOC_009192	0,29	-0,16	-0,45	0,011	0,635
A_33_P3242793	C1orf81	0,15	-0,29	-0,45	0,023	0,695
A_21_P0007015	XLOC_008935	0,30	-0,14	-0,45	0,018	0,661
A_24_P324368	DNAJC14	0,20	-0,25	-0,45	0,019	0,661
A_23_P170959	LMLN	0,39	-0,06	-0,45	0,029	0,727
A_33_P3219711	SUMF1	0,16	-0,29	-0,45	0,032	0,733
A_23_P81131	CORIN	0,02	-0,43	-0,45	0,036	0,738
A_23_P306223	ARX	0,23	-0,22	-0,45	0,042	0,761

A_21_P0010058	XLOC_013793	0,05	-0,40	-0,45	0,006	0,568
A_23_P72697	GPIHBP1	0,20	-0,25	-0,45	0,011	0,635
A_33_P3281224		0,08	-0,37	-0,45	0,023	0,696
A_33_P3310929	ADAM12	0,26	-0,19	-0,45	0,029	0,727
A_19_P00316194	MIAT	0,27	-0,19	-0,46	0,004	0,523
A_33_P3276301		0,31	-0,15	-0,46	0,006	0,568
A_33_P3261595	ANKRD34B	0,12	-0,34	-0,46	0,020	0,673
A_23_P212042	MFI2	0,35	-0,11	-0,46	0,017	0,660
A_33_P3289491	LOC100129069	0,33	-0,13	-0,46	0,015	0,647
A_33_P3374478	CASC4	0,06	-0,40	-0,46	0,035	0,738
A_32_P793319		0,30	-0,16	-0,46	0,011	0,635
A_24_P319736	MEIS1	0,31	-0,16	-0,46	0,006	0,568
A_33_P3214012	HMGCLL1	0,27	-0,20	-0,47	0,014	0,647
A_21_P0006206	XLOC_007509	0,37	-0,10	-0,47	0,012	0,635
A_21_P0005738	XLOC_006879	0,29	-0,18	-0,47	0,002	0,474
A_23_P83634	ALOX12B	0,44	-0,03	-0,47	0,016	0,655
A_24_P349274	OR4X2	0,14	-0,33	-0,47	0,031	0,727
A_23_P164958	CCDC8	0,39	-0,08	-0,48	0,029	0,727
A_33_P3390778	TRIM46	0,05	-0,43	-0,48	0,040	0,761
A_24_P357847		0,12	-0,36	-0,48	0,033	0,733
A_33_P3412349	ZNF268	0,42	-0,06	-0,48	0,004	0,523
A_23_P413285	CC2D2A	0,44	-0,04	-0,48	0,028	0,719
A_21_P0010621	XLOC_I2_000941	0,35	-0,12	-0,48	0,003	0,498
A_23_P253123	VGLL1	0,22	-0,26	-0,48	0,016	0,652
A_21_P0005195	XLOC_006193	0,28	-0,20	-0,48	0,012	0,635
A_19_P00316808	LOC100129936	0,23	-0,26	-0,48	0,023	0,696
A_33_P3221090	GPR156	0,21	-0,27	-0,48	0,011	0,635
A_33_P3252539	HIGD1C	0,33	-0,15	-0,48	0,034	0,734
A_21_P0007473	XLOC_009604	0,29	-0,20	-0,49	0,025	0,699
A_23_P359214	LOC643650	0,38	-0,10	-0,49	0,010	0,635
A_23_P123622	NPR2	0,15	-0,34	-0,49	0,001	0,458
A_33_P3309734	CCDC108	-0,06	-0,55	-0,49	0,024	0,698
A_33_P3346338	WDR67	0,21	-0,27	-0,49	0,009	0,619
A_32_P351277	LOC440330	0,22	-0,27	-0,49	0,027	0,711
A_21_P0013254	XLOC_I2_013506	0,26	-0,24	-0,49	0,006	0,564
A_21_P0002476	XLOC_002221	-0,01	-0,50	-0,49	0,016	0,656
A_23_P392470	NR3C2	0,33	-0,17	-0,49	0,019	0,668
A_33_P3329063	NCR1	0,10	-0,40	-0,49	0,003	0,507
A_33_P3342195		0,33	-0,16	-0,50	0,023	0,695
A_21_P0005978	XLOC_007237	0,28	-0,21	-0,50	0,015	0,647
A_21_P0014136	LOC100506024	0,47	-0,03	-0,50	0,006	0,568
A_21_P0006782	XLOC_008907	0,18	-0,32	-0,50	0,029	0,727
A_33_P3424010		0,26	-0,24	-0,50	0,037	0,741
A_33_P3257130	OR4M1	0,10	-0,40	-0,50	0,010	0,632
A_21_P0012960	LOC255187	0,33	-0,17	-0,50	0,048	0,776
A_33_P3279362	GRIK1-AS1	0,03	-0,47	-0,50	0,031	0,727
A_23_P98147	CPN1	0,33	-0,18	-0,50	0,016	0,652
A_33_P3405966	ST3GAL3	0,06	-0,44	-0,50	0,044	0,761
A_33_P3318490	PDZRN3	0,30	-0,21	-0,50	0,033	0,733
A_23_P253602	BMX	0,07	-0,43	-0,50	0,025	0,701

A_19_P00320144	XLOC_003428	0,35	-0,16	-0,51	0.014	0.647
A_33_P3311165	FLJ44313	0,36	-0,15	-0,51	0.023	0.695
A_21_P0007368	XLOC_009494	0,57	0,06	-0,51	0.043	0.761
A_21_P0002608	XLOC_001641	0,37	-0,15	-0,51	0.036	0.738
A_33_P3268652	SLC2A11	0,30	-0,21	-0,52	0.020	0.672
A_21_P0014414	LOC100506369	0,25	-0,26	-0,52	0.017	0.661
A_19_P00319133	XLOC_004558	0,37	-0,15	-0,52	0.034	0.734
A_33_P3404989	HIST1H3H	0,35	-0,17	-0,52	0.023	0.695
A_33_P3325704	SPRR2E	0,18	-0,35	-0,52	0.004	0.523
A_21_P0005344	XLOC_005955	0,13	-0,40	-0,52	0.038	0.756
A_24_P238543	PHKA1	0,23	-0,30	-0,53	0.033	0.733
A_21_P0008716	XLOC_011413	0,32	-0,21	-0,53	0.009	0.625
A_33_P3797403	LOC283387	0,10	-0,43	-0,53	0.010	0.634
A_33_P3237201	SYT1	0,17	-0,36	-0,53	0.009	0.619
A_33_P3358745	SEPP1	0,36	-0,17	-0,53	0.044	0.761
A_24_P758256		0,24	-0,29	-0,53	0.004	0.523
A_33_P3238433	ALDH3A1	0,27	-0,26	-0,53	0.021	0.683
A_23_P51039	INHA	0,45	-0,09	-0,53	0.005	0.551
A_21_P0007667	XLOC_009945	0,30	-0,24	-0,53	0.025	0.699
A_33_P3361348	ALOX15	0,18	-0,35	-0,53	0.027	0.719
A_33_P3397520	KRTAP10-12	0,31	-0,23	-0,54	0.008	0.602
A_33_P3235721	C11orf87	0,35	-0,18	-0,54	0.028	0.720
A_23_P358597	POPDC3	0,10	-0,44	-0,54	0.014	0.647
A_33_P3286789		0,24	-0,31	-0,54	0.018	0.661
A_21_P0003584	XLOC_003479	0,24	-0,30	-0,54	0.009	0.614
A_21_P0014401	LOC100505944	0,24	-0,31	-0,54	0.023	0.695
A_33_P3385281	KCNG3	0,22	-0,33	-0,54	0.005	0.529
A_21_P0012140	FAM182B	0,22	-0,32	-0,55	0.003	0.500
A_21_P0012700	XLOC_I2_011407	0,49	-0,06	-0,55	0.012	0.639
A_23_P336060		0,36	-0,19	-0,55	0.014	0.647
A_33_P3285271	FMO6P	0,14	-0,42	-0,55	0.013	0.647
A_23_P40240	CTSZ	0,17	-0,39	-0,56	0.031	0.727
A_21_P0004147	XLOC_004896	0,27	-0,28	-0,56	0.037	0.745
A_23_P158925	GPR125	0,37	-0,19	-0,56	0.016	0.656
A_19_P00318740	Q9B8G3	0,21	-0,35	-0,56	0.006	0.560
A_33_P3411279	CYP21A2	0,16	-0,40	-0,56	0.031	0.727
A_19_P00320251	LOC100505702	0,24	-0,32	-0,57	0.004	0.523
A_23_P71328	MATN2	0,67	0,10	-0,57	0.036	0.740
A_24_P242581	SLC5A9	0,30	-0,27	-0,57	0.025	0.699
A_24_P286569	LANCL2	0,45	-0,12	-0,57	0.031	0.727
A_33_P3382031	TMEM236	0,13	-0,44	-0,57	0.035	0.738
A_21_P0013944	LOC100289090	0,30	-0,27	-0,57	0.033	0.733
A_33_P3282213		0,31	-0,26	-0,57	0.017	0.661
A_21_P0014815	LOC646778	0,30	-0,27	-0,57	0.003	0.507
A_33_P3543013	OR5AK4P	0,14	-0,43	-0,57	0.004	0.523
A_33_P3414472		0,12	-0,45	-0,57	0.026	0.704
A_24_P259154	MGC16703	0,17	-0,40	-0,57	0.024	0.696
A_21_P0005963	LOC100507420	0,38	-0,19	-0,58	0.023	0.695
A_21_P0001988	XLOC_001932	0,20	-0,38	-0,58	0.022	0.686
A_23_P326157	GAL3ST2	0,27	-0,31	-0,58	0.016	0.653

A_23_P144394	CSN2	0,14	-0,44	-0,58	0.028	0.725
A_23_P380614	ATP9A	0,12	-0,46	-0,58	0.007	0.583
A_21_P0007689	XLOC_010023	0,34	-0,25	-0,59	0.007	0.583
A_33_P3352995	IFITM5	0,30	-0,29	-0,59	0.044	0.761
A_33_P3233229		0,40	-0,19	-0,59	<0.001	0.269
A_23_P205867	NR2E3	0,01	-0,58	-0,59	0.017	0.660
A_33_P3299696	FAM75D3	0,43	-0,16	-0,59	0.019	0.668
A_33_P3246703		0,24	-0,35	-0,60	0.020	0.669
A_19_P00321158		0,21	-0,39	-0,60	0.010	0.635
A_19_P00321319	Q07610	0,15	-0,45	-0,60	0.011	0.635
A_33_P3209200		0,35	-0,25	-0,60	0.016	0.656
A_21_P0005897	XLOC_007197	0,32	-0,28	-0,60	0.036	0.740
A_33_P3385732	OR52L1	0,15	-0,45	-0,60	0.005	0.553
A_33_P3233100		0,21	-0,39	-0,60	0.011	0.635
A_33_P3254670		0,08	-0,53	-0,61	0.027	0.717
A_21_P0009341	LOC645638	0,20	-0,41	-0,61	0.001	0.458
A_21_P0005680	XLOC_006764	0,29	-0,32	-0,61	0.015	0.647
A_21_P0012937	AACSP1	0,28	-0,33	-0,61	0.029	0.727
A_21_P0010560	XLOC_I2_000423	0,34	-0,27	-0,62	0.033	0.733
A_21_P0011018	POU2AF1	0,22	-0,40	-0,62	0.001	0.422
A_23_P5785	BBS5	0,29	-0,33	-0,62	0.001	0.422
A_21_P0002347	XLOC_001855	0,45	-0,17	-0,63	0.002	0.474
A_21_P0005260	XLOC_006245	0,81	0,19	-0,63	0.025	0.699
A_21_P0006425	XLOC_008003	0,13	-0,50	-0,63	0.013	0.647
A_24_P9346	SYNGAP1	0,30	-0,33	-0,63	0.015	0.647
A_21_P0005395	XLOC_006151	0,43	-0,20	-0,63	0.012	0.635
A_21_P0010071	XLOC_013838	0,15	-0,48	-0,63	0.019	0.665
A_21_P0010302	XLOC_014119	0,22	-0,41	-0,63	0.012	0.636
A_19_P00322925	XLOC_005127	0,21	-0,42	-0,64	<0.001	0.301
A_23_P67151	OLFM2	0,34	-0,30	-0,64	0.008	0.614
A_33_P3326210	ESCO2	0,00	-0,64	-0,64	0.023	0.696
A_33_P3420500	ZDHHC20	0,16	-0,49	-0,64	0.041	0.761
A_21_P0004290	XLOC_004536	0,45	-0,19	-0,64	0.005	0.544
A_24_P127564	LINC00085	0,17	-0,47	-0,64	0.020	0.669
A_23_P319557		0,28	-0,36	-0,65	0.009	0.625
A_21_P0002632	XLOC_001910	0,19	-0,46	-0,65	0.002	0.461
A_24_P943922	CACHD1	0,35	-0,31	-0,65	0.014	0.647
A_19_P00315529	XLOC_008370	0,40	-0,26	-0,65	0.015	0.647
A_33_P3320112		0,32	-0,34	-0,66	0.018	0.661
A_21_P0008371	XLOC_010897	0,28	-0,37	-0,66	0.010	0.635
A_33_P3780572	LOC401164	0,33	-0,33	-0,66	0.004	0.523
A_21_P0006095	XLOC_007814	0,29	-0,37	-0,66	0.007	0.583
A_23_P132175	RTN4R	0,34	-0,33	-0,67	0.009	0.614
A_21_P0000526	ZSCAN18	0,31	-0,36	-0,67	0.001	0.422
A_23_P36641	AICDA	0,05	-0,62	-0,68	0.035	0.738
A_23_P385911	CEP44	0,55	-0,13	-0,68	<0.001	0.370
A_23_P15692	GPR172B	0,41	-0,28	-0,69	0.012	0.636
A_21_P0014056	DCAF8	0,37	-0,32	-0,69	0.004	0.523
A_23_P320862	C9orf43	0,33	-0,36	-0,69	0.023	0.696
A_33_P3356492		0,29	-0,41	-0,69	0.008	0.602

A_33_P3239298	PRODH	0,38	-0,32	-0,70	0.001	0.458
A_33_P3261953		0,34	-0,36	-0,70	0.006	0.560
A_21_P0008995	XLOC_011826	0,27	-0,43	-0,70	0.005	0.544
A_33_P3275674		0,27	-0,43	-0,70	0.007	0.575
A_24_P925062	MXRA7	0,27	-0,44	-0,70	0.013	0.647
A_21_P0003200	XLOC_003365	0,51	-0,19	-0,70	0.002	0.486
A_32_P115050	LOC646576	0,41	-0,30	-0,71	0.008	0.596
A_33_P3411313		0,28	-0,43	-0,71	0.014	0.647
A_21_P0007072	XLOC_008574	0,49	-0,23	-0,72	0.027	0.711
A_21_P0005611	XLOC_006625	0,51	-0,21	-0,72	<0.001	0.387
A_21_P0004536	XLOC_004632	0,29	-0,44	-0,72	0.021	0.683
A_21_P0013026	XLOC_I2_012578	0,64	-0,10	-0,73	0.012	0.636
A_24_P289273	RGR	0,25	-0,49	-0,74	0.008	0.596
A_23_P32165	LHX2	0,50	-0,25	-0,75	0.004	0.529
A_33_P3352011		0,09	-0,66	-0,75	0.004	0.523
A_21_P0012961	LOC255187	0,56	-0,19	-0,75	0.004	0.523
A_33_P3252441		0,35	-0,40	-0,76	0.007	0.583
A_33_P3421703	SP2	0,45	-0,31	-0,76	0.033	0.733
A_21_P0007323	XLOC_009385	0,45	-0,32	-0,77	0.008	0.602
A_21_P0010580	XLOC_I2_000657	0,49	-0,28	-0,77	0.043	0.761
A_21_P0000978	XLOC_000214	0,32	-0,45	-0,77	0.005	0.529
A_21_P0000120	KCNJ18	0,17	-0,61	-0,78	0.045	0.761
A_33_P3372727	SEMA5A	0,54	-0,25	-0,79	0.006	0.572
A_21_P0004459	XLOC_005052	0,55	-0,26	-0,81	0.003	0.500
A_33_P3357283		0,46	-0,36	-0,82	0.001	0.458
A_33_P3271001	NIPSNAP3B	0,49	-0,34	-0,84	<0.001	0.387
A_21_P0007622	XLOC_009872	0,30	-0,55	-0,85	0.001	0.422
A_33_P3262685	POM121L1P	0,09	-0,77	-0,86	0.005	0.544
A_19_P00320562	P39189	0,35	-0,51	-0,87	0.024	0.699
A_23_P301476	C3orf33	0,41	-0,50	-0,91	0.001	0.445
A_23_P258483	ANKRD55	0,08	-0,85	-0,93	<0.001	0.237
A_23_P309207	ZNF577	0,14	-0,82	-0,96	0.041	0.761
A_32_P176911	LINC00239	0,48	-0,48	-0,96	0.014	0.647
A_33_P3351259	LOC100130560	0,31	-0,66	-0,98	<0.001	0.237
A_23_P43337	FREM1	0,29	-0,69	-0,99	0.042	0.761
A_33_P3355926	LOC100130894	0,66	-0,36	-1,02	0.001	0.458

Supplemental Table 8 – Cross-sectional analyses

The tables shows the transcripts that were differentially regulated at baseline (Table 8a) and at +180 minutes post stress (Table 8b).

The *p*-values result from the limma *t*-test. The *p*-values were multiplicity-adjusted to control the false discovery rate (FDR) by the Benjamini–Hochberg procedure.

A: Baseline Expression Differences

Agilent Probe ID	Gene Symbol	Delta log2 expression values Control Group – Early Trauma	p-value	adj. p-value
A_33_P3420235	ARPC5	0,70	0.009	0.960
A_33_P3263319		0,69	0.003	0.960
A_24_P655458	TREML4	0,68	0.021	0.960
A_33_P3297020	PSORS1C3	0,56	0.022	0.960
A_24_P928052	NRP1	0,49	0.003	0.960
A_21_P0008692	XLOC_011379	0,48	0.023	0.978
A_23_P61042		0,47	0.013	0.960
A_33_P3351180		0,46	0.038	0.990
A_21_P0000989	XLOC_000268	0,46	0.004	0.960
A_33_P3326667		0,45	0.013	0.960
A_33_P3373598	TREML2P1	0,45	0.011	0.960
A_33_P3391339		0,44	0.010	0.960
A_23_P114299	CXCR3	0,44	0.041	0.990
A_33_P3226154		0,40	0.016	0.960
A_24_P458479		0,39	0.003	0.960
A_23_P42241	OR5V1	0,39	0.006	0.960
A_24_P135322	NRP1	0,38	<0.001	0.935
A_32_P9543	APOBEC3A	0,37	0.050	0.990
A_33_P3768930		0,36	0.031	0.988
A_21_P0003476	XLOC_003976	0,36	0.014	0.960
A_24_P605563		0,35	0.030	0.988
A_21_P0002580	DNAJC27-AS1	0,35	0.022	0.960
A_21_P0001856	XLOC_001452	0,35	0.007	0.960
A_21_P0012146	XLOC_I2_008609	0,34	<0.001	0.935
A_19_P00802433	XLOC_005327	0,33	0.025	0.978
A_21_P0013697	XLOC_I2_014797	0,33	0.017	0.960
A_33_P3424612	LOC100653210	0,32	0.005	0.960
A_23_P129103	AGSK1	0,32	0.030	0.988
A_24_P272451	C17orf87	0,32	0.039	0.990
A_32_P112623	FAM27E3	0,32	0.017	0.960
A_21_P0008511	XLOC_010811	0,32	0.005	0.960
A_21_P0007924	XLOC_010308	0,31	0.023	0.969
A_24_P23921	C17orf98	0,31	0.002	0.960
A_21_P0009450	XLOC_012621	0,31	0.002	0.960
A_21_P0014079	C1orf61	0,31	0.014	0.960
A_21_P0009578	XLOC_012880	0,30	0.021	0.960
A_33_P3334180	PLCH2	0,30	0.001	0.960

A_21_P0005208	XLOC_005979	0,29	0.014	0.960
A_23_P330419	ACPT	0,29	0.011	0.960
A_21_P0000510	GOLGA2P5	0,29	0.010	0.960
A_33_P3311205	PRPF40B	0,29	0.023	0.969
A_23_P66827	FAM106A	0,29	0.039	0.990
A_23_P209360	KLHL29	0,29	0.011	0.960
A_23_P41344	EREG	0,28	0.049	0.990
A_23_P207537	DUSP14	0,28	0.046	0.990
A_33_P3241786	ADD2	0,28	0.025	0.978
A_33_P3306948	LRP6	0,28	0.006	0.960
A_21_P0002594	XLOC_001457	0,28	0.007	0.960
A_21_P0013056	XLOC_I2_012847	0,27	0.044	0.990
A_21_P0004812	XLOC_005119	0,27	0.018	0.960
A_23_P434398	TXLNB	0,27	0.027	0.988
A_21_P0012896	XLOC_I2_011987	0,27	0.028	0.988
A_23_P429998	FOSB	0,26	0.043	0.990
A_33_P3233436	PNMA6C	0,26	0.013	0.960
A_23_P67785	SPAG16	-0,27	0.020	0.960
A_21_P0003775	XLOC_004093	-0,27	0.021	0.960
A_24_P324368	DNAJC14	-0,27	0.004	0.960
A_21_P0001016	XLOC_000391	-0,27	0.003	0.960
A_33_P3404989	HIST1H3H	-0,28	0.010	0.960
A_21_P0009272	XLOC_012307	-0,28	0.033	0.988
A_33_P3382351	RNASEK	-0,29	0.028	0.988
A_23_P76731	MOK	-0,29	0.003	0.960
A_21_P0002632	XLOC_001910	-0,30	0.001	0.955
A_21_P0005195	XLOC_006193	-0,30	0.009	0.960
A_21_P0012626	XLOC_I2_010897	-0,30	0.016	0.960
A_21_P0000978	XLOC_000214	-0,30	0.014	0.960
A_33_P3340752	LOC100130887	-0,31	0.016	0.960
A_23_P2006	CNGA4	-0,31	0.005	0.960
A_23_P32165	LHX2	-0,33	0.007	0.960
A_24_P319736	MEIS1	-0,33	0.003	0.960
A_21_P0005611	XLOC_006625	-0,33	0.010	0.960
A_33_P3239298	PRODH	-0,33	0.001	0.935
A_33_P3373446	LOC100507505	-0,34	0.002	0.960
A_33_P3411279	CYP21A2	-0,35	0.005	0.960
A_24_P344516	ZNF702P	-0,37	0.031	0.988
A_33_P3358104	CD300E	-0,37	0.004	0.960
A_33_P3391476	CRYZ	-0,39	0.020	0.960
A_21_P0013995	LOC100293977	-0,45	0.014	0.960
A_21_P0000120	KCNJ18	-0,50	0.024	0.978
A_33_P3318766		-0,51	0.034	0.989
A_33_P3261595	ANKRD34B	-0,55	0.003	0.960
A_32_P78816	PSPH	-0,64	0.002	0.960
A_23_P136683	HLA-DQB1	-0,89	0.044	0.990

A_21_P0013198	PSPHP1	-1,70	0.002	0.960
---------------	--------	-------	-------	-------

B: Expression Differences +180 minutes post-stress

Agilent Probe ID	Gene Symbol	Delta log2 expression values Control Group – Early Trauma	p-value	adj. p-value
A_33_P3420235	ARPC5	0,67	0.017	1.000
A_21_P0000989	XLOC_000268	0,57	<0.001	0.722
A_33_P3351180		0,56	0.006	0.993
A_24_P357847		0,56	0.009	1.000
A_33_P3263319		0,53	0.013	1.000
A_21_P0003854	XLOC_003734	0,51	0.008	1.000
A_24_P170439	TREML3	0,48	0.029	1.000
A_24_P928052	NRP1	0,46	0.008	1.000
A_33_P3297020	PSORS1C3	0,45	0.047	1.000
A_23_P61042		0,44	0.014	1.000
A_23_P258483	ANKRD55	0,44	<0.001	0.671
A_23_P398275	LOC388152	0,43	0.005	0.991
A_24_P127564	LINC00085	0,41	0.031	1.000
A_33_P3226154		0,40	0.029	1.000
A_23_P21800		0,40	0.048	1.000
A_33_P3337609		0,40	0.026	1.000
A_23_P380614	ATP9A	0,40	0.012	1.000
A_33_P3227774	AGSK1	0,39	0.020	1.000
A_32_P112623	FAM27E3	0,39	0.005	0.991
A_21_P0013697	XLOC_I2_014797	0,38	0.003	0.879
A_33_P3423874	MYZAP	0,38	0.017	1.000
A_23_P129103	AGSK1	0,38	0.011	1.000
A_21_P0013944	LOC100289090	0,37	<0.001	0.671
A_23_P157795	CTNNAL1	0,36	0.017	1.000
A_32_P176911	LINC00239	0,36	0.025	1.000
A_23_P29096	PDE9A	0,35	0.003	0.879
A_23_P309207	ZNF577	0,35	0.010	1.000
A_33_P3382229	TNNT3	0,34	0.017	1.000
A_21_P0006788	LOC100505869	0,33	0.029	1.000
A_24_P135322	NRP1	0,33	0.003	0.879
A_23_P257417	C2orf63	0,33	0.011	1.000
A_21_P0009342	LOC645638	0,33	0.013	1.000
A_32_P196142	LOC100130938	0,32	0.019	1.000
A_23_P149368	FCRL1	0,32	0.023	1.000
A_21_P0011214	XLOC_I2_003897	0,32	0.037	1.000
A_21_P0006410	XLOC_007911	0,31	0.044	1.000
A_24_P458479		0,31	0.013	1.000
A_23_P207537	DUSP14	0,30	0.027	1.000
A_23_P418597	TNKS1BP1	0,30	0.001	0.819
A_21_P0012274	XLOC_I2_009441	0,30	0.014	1.000

A_21_P0014663	ZNF605	0,29	<0.001	0.671
A_21_P0009341	LOC645638	0,29	0.003	0.879
A_33_P3226955	NRP1	0,28	0.044	1.000
A_23_P127824	TNNT3	0,28	0.011	1.000
A_21_P0005260	XLOC_006245	0,28	0.011	1.000
A_23_P123622	NPR2	0,28	0.001	0.722
A_21_P0005101	XLOC_005126	0,27	0.039	1.000
A_23_P301476	C3orf33	0,27	0.003	0.879
A_21_P0013086	LOC728052	0,27	0.038	1.000
A_33_P3369844	CD24	0,27	0.045	1.000
A_33_P3424591		0,27	0.004	0.948
A_21_P0003212	XLOC_003406	0,27	0.008	1.000
A_33_P3245674	ZNF329	-0,27	0.002	0.879
A_21_P0010713	XLOC_I2_000353	-0,27	0.001	0.819
A_23_P322395	ZSCAN1	-0,27	0.005	0.991
A_21_P0001643	XLOC_001263	-0,27	0.003	0.879
A_21_P0012626	XLOC_I2_010897	-0,27	0.040	1.000
A_21_P0000973	XLOC_000197	-0,27	0.002	0.879
A_21_P0006115	XLOC_007888	-0,28	0.027	1.000
A_33_P3279610	COX6A2	-0,28	0.018	1.000
A_33_P3335461		-0,28	0.021	1.000
A_33_P3244553		-0,28	0.006	0.993
A_21_P0011494	XLOC_I2_005606	-0,28	0.008	1.000
A_19_P00321697	LINC00313	-0,29	0.002	0.879
A_21_P0010313	XLOC_013949	-0,29	0.002	0.879
A_32_P104063	CRNDE	-0,29	0.015	1.000
A_21_P0009172	XLOC_012240	-0,29	0.007	0.993
A_33_P3302563	LOC100129408	-0,29	0.020	1.000
A_24_P49597		-0,29	0.020	1.000
A_24_P199500	RNF2	-0,29	0.010	1.000
A_21_P0006253	XLOC_007645	-0,29	0.031	1.000
A_33_P3382351	RNASEK	-0,30	0.028	1.000
A_21_P0009578	XLOC_012880	-0,30	0.021	1.000
A_21_P0013504	XLOC_I2_014388	-0,30	0.016	1.000
A_33_P3317168	EPS8L3	-0,31	<0.001	0.298
A_24_P344516	ZNF702P	-0,32	0.042	1.000
A_21_P0003286	XLOC_003149	-0,32	<0.001	0.671
A_23_P76731	MOK	-0,32	0.002	0.879
A_21_P0009544	XLOC_012812	-0,32	0.003	0.879
A_33_P3258546	PCDHA5	-0,33	0.008	1.000
A_21_P0003793	XLOC_004153	-0,33	0.004	0.905
A_33_P3431595	C8orf31	-0,33	0.029	1.000
A_33_P3262069	OR2AG2	-0,33	0.003	0.879
A_33_P3382111		-0,34	0.008	1.000
A_32_P128701	USP53	-0,35	0.004	0.942
A_19_P00322498	Q7VPR2	-0,37	0.001	0.837

A_23_P86411	MYO3A	-0,37	0.006	0.993
A_21_P0007422	XLOC_009606	-0,38	0.014	1.000
A_33_P3358104	CD300E	-0,39	0.002	0.879
A_21_P0005109	XLOC_005180	-0,42	0.001	0.819
A_33_P3367681		-0,43	0.001	0.879
A_21_P0013995	LOC100293977	-0,48	0.007	0.993
A_32_P78816	PSPH	-0,69	0.002	0.879
A_23_P136683	HLA-DQB1	-0,94	0.032	1.000
A_21_P0013198	PSPHP1	-1,68	0.003	0.879

Supplemental Table X

The table shows the top 500 transcripts with significant differences between groups in the correlations between cortisol increases and gene expression. The *p*-values result from the comparison of the z-transformed correlation coefficients of the two groups (Spearman's rho). The *p*-values were multiplicity-adjusted to control the false discovery rate (FDR) by the Benjamini–Hochberg procedure.

Agilent Probe ID	Gene Symbol	rho Control Group	rho Early Adversity	p-value Control Group	p-value Early Adversity	p-value delta rho	adj. p-value
A_24_P89971	SURF4	0,74	-0,46	0,00000522	0,0120769	0,0000001	0,002
A_33_P3236661	PCDH9	0,33	-0,74	0,07465301	0,0000027	0,0000018	0,020
A_23_P209978	VSNL1	0,5	-0,61	0,00591365	0,0003981	0,0000037	0,023
A_33_P3297050	ALG2	0,37	-0,7	0,04467414	0,0000302	0,0000043	0,023
A_23_P502470	IL6ST	0,53	-0,57	0,00277810	0,0013663	0,0000066	0,028
A_33_P3216200		-0,46	0,62	0,01216910	0,0003615	0,0000082	0,028
A_23_P90296	DYRK1B	-0,44	0,63	0,01569652	0,0001995	0,0000091	0,028
A_23_P135787	GOLGB1	-0,66	0,38	0,00009480	0,0412557	0,0000113	0,030
A_24_P316601	C9orf47	0,41	-0,64	0,02683633	0,0001951	0,0000125	0,030
A_32_P208403	GNG2	0,56	-0,49	0,00157605	0,0059638	0,0000160	0,030
A_23_P131089	KANK3	-0,55	0,5	0,00179538	0,0057165	0,0000175	0,030
A_23_P422831	FAM189A2	0,58	-0,47	0,00105176	0,0094236	0,0000180	0,030
A_33_P3324228		-0,67	0,35	0,00008580	0,0613961	0,0000183	0,030
A_23_P112798	CRIP2	-0,59	0,44	0,00078494	0,0154488	0,0000243	0,035
A_23_P12140	RPL5	0,54	-0,5	0,00227836	0,0057165	0,0000264	0,035
A_33_P3237744	SGK110	-0,43	0,59	0,01930417	0,0006791	0,0000277	0,035
A_19_P00322219	MIAT	-0,36	0,64	0,05250445	0,0001733	0,0000280	0,035
A_21_P0004007	XLOC_004410	0,41	-0,61	0,02623573	0,0005103	0,0000321	0,035
A_33_P3245818	PQLC1	-0,42	0,59	0,02085212	0,0007182	0,0000322	0,035
A_21_P0010752	XLOC_I2_000727	0,5	-0,52	0,00547798	0,0034935	0,0000341	0,035
A_21_P0001688	XLOC_000264	0,41	-0,6	0,02683633	0,0004315	0,0000345	0,035

A_24_P84808		0,51	-0,51	0,00372148	0,0048975	0,0000366	0,035
A_33_P3403162	SLC18A1	-0,64	0,36	0,00022495	0,0540683	0,0000372	0,035
A_21_P0007145	PPP2R5B	-0,51	0,5	0,00372148	0,0053850	0,0000406	0,036
A_21_P0005964	XLOC_007064	0,57	-0,43	0,00106494	0,0175996	0,0000468	0,039
A_21_P0001625	XLOC_001208	0,5	-0,51	0,00557234	0,0042003	0,0000477	0,039
A_21_P0003797	XLOC_004165	0,69	-0,25	0,00004070	0,1761152	0,0000490	0,039
A_21_P0007820	XLOC_009652	0,46	-0,53	0,01081525	0,0023362	0,0000600	0,046
A_23_P350689	ZDHHC23	-0,55	0,44	0,00208105	0,0148876	0,0000659	0,047
A_23_P354175	TMEM129	0,5	-0,48	0,00494016	0,0068844	0,0000698	0,047
A_24_P76995	ZDHHC17	0,48	-0,51	0,00803108	0,0046074	0,0000701	0,047
A_21_P0011788	XLOC_I2_007167	0,47	-0,52	0,00961106	0,0033060	0,0000741	0,047
A_24_P400376	CHCHD2	0,62	-0,34	0,00035281	0,0656624	0,0000745	0,047
A_21_P0013258	XLOC_I2_013532	0,54	-0,45	0,00259573	0,0144590	0,0000750	0,047
A_23_P364437	CDH23	-0,72	0,17	0,00000845	0,3619599	0,0000793	0,047
A_23_P323751	FAM83D	0,45	-0,53	0,01332229	0,0030158	0,0000796	0,047
A_33_P3270136	LOC100130157	0,55	-0,42	0,00183138	0,0225020	0,0000890	0,050
A_23_P319492	FAM118B	0,63	-0,32	0,00022076	0,0849683	0,0000907	0,050
A_32_P113154		0,57	-0,39	0,00092434	0,0339537	0,0000920	0,050
A_33_P3227857	COX18	-0,67	0,25	0,00008220	0,1816274	0,0000940	0,050
A_21_P0003603	XLOC_003514	-0,6	0,35	0,00062043	0,0559937	0,0000996	0,052
A_33_P3225512	OAS2	-0,5	0,46	0,00475256	0,0105981	0,0001094	0,054
A_33_P3316953	RBFOX3	0,42	-0,54	0,02114437	0,0024518	0,0001103	0,054
A_23_P89431	CCL2	-0,7	0,17	0,00002340	0,3569508	0,0001112	0,054
A_33_P3236632	MIA3	-0,42	0,54	0,02090045	0,0025712	0,0001193	0,056
A_33_P3337574	FGF14-IT1	0,43	-0,53	0,01850106	0,0027376	0,0001202	0,056
A_33_P3394366	DKFZp686A05212	-0,46	0,5	0,01189437	0,0054780	0,0001294	0,058
A_21_P0002564	XLOC_001314	-0,48	0,48	0,00822802	0,0081619	0,0001320	0,058
A_23_P150255	RBM14	-0,39	0,56	0,03395375	0,0013913	0,0001326	0,058
A_33_P3277913	MAP2	-0,36	0,58	0,05099989	0,0009759	0,0001366	0,058

A_23_P94840	DYNLRB2	0,39	-0,56	0,03572840	0,0017252	0,0001468	0,062
A_21_P0003801	XLOC_004180	-0,4	0,54	0,02924907	0,0023373	0,0001544	0,064
A_33_P3281716		0,45	-0,5	0,01332229	0,0059136	0,0001586	0,064
A_21_P0012645	XLOC_I2_010989	0,57	-0,37	0,00133844	0,0468890	0,0001618	0,064
A_33_P3334436		-0,46	0,49	0,01198536	0,0071643	0,0001723	0,067
A_23_P352717	TMEM31	-0,58	0,34	0,00092472	0,0694899	0,0001910	0,073
A_23_P400310	REG4	-0,54	0,39	0,00252289	0,0346106	0,0002031	0,073
A_23_P349416	ERBB3	-0,52	0,4	0,00339926	0,0273780	0,0002055	0,073
A_33_P3679901		-0,27	0,62	0,15034204	0,0003007	0,0002101	0,073
A_33_P3287897		0,47	-0,46	0,00897281	0,0109314	0,0002129	0,073
A_23_P351215	SKIL	-0,57	0,34	0,00110904	0,0675806	0,0002172	0,073
A_24_P128233	SCN5A	-0,15	0,69	0,42255491	0,0000365	0,0002231	0,073
A_21_P0013398	XLOC_I2_013530	0,62	-0,27	0,00032786	0,1496486	0,0002247	0,073
A_33_P3239185	SYT7	0,59	-0,32	0,00075932	0,0896887	0,0002262	0,073
A_33_P3344801	SLC2A1	-0,38	0,54	0,04176737	0,0023373	0,0002367	0,073
A_33_P3261620	GHSR	-0,31	0,59	0,09635471	0,0007263	0,0002386	0,073
A_21_P0014906	ANKRD62	0,44	-0,49	0,01685641	0,0069893	0,0002435	0,073
A_33_P3343750	ZNF567	-0,68	0,17	0,00005360	0,3807111	0,0002439	0,073
A_21_P0001028	XLOC_000461	0,42	-0,5	0,02099782	0,0055250	0,0002451	0,073
A_21_P0014062	LOC100506206	0,52	-0,39	0,00343042	0,0316319	0,0002453	0,073
A_24_P91405	ZNF709	0,55	-0,36	0,00177762	0,0547041	0,0002555	0,073
A_24_P170067		0,41	-0,51	0,02425890	0,0043981	0,0002555	0,073
A_33_P3399618	KLHL33	-0,42	0,5	0,01994595	0,0058638	0,0002568	0,073
A_21_P0002588	XLOC_001432	-0,38	0,53	0,03975110	0,0027989	0,0002645	0,073
A_24_P45446	GBP4	-0,4	0,52	0,03002637	0,0039994	0,0002678	0,073
A_21_P0013985	LOC100507494	-0,4	0,51	0,02944183	0,0041815	0,0002734	0,073
A_23_P405295	LCE3C	-0,6	0,29	0,00065657	0,1150103	0,0002791	0,073
A_33_P3388745	LOC100132207	-0,61	0,27	0,00041764	0,1510378	0,0002799	0,073
A_21_P0001607	XLOC_001134	0,25	-0,63	0,18563911	0,0002897	0,0002810	0,073

A_33_P3343800	TSSC1	0,45	-0,46	0,01273468	0,0108473	0,0002830	0,073
A_23_P63371	TAL1	0,47	-0,44	0,00927566	0,0148921	0,0002843	0,073
A_21_P0008376	XLOC_010903	-0,59	0,3	0,00065150	0,1019488	0,0002854	0,073
A_33_P3393504	S100A7A	0,49	-0,42	0,00627273	0,0206769	0,0002855	0,073
A_21_P0001387	XLOC_000471	0,43	-0,49	0,01999546	0,0068180	0,0002864	0,073
A_21_P0000856	LOC100288432	0,47	-0,44	0,00964917	0,0142221	0,0002981	0,075
A_33_P3218910		0,5	-0,41	0,00531808	0,0250942	0,0003170	0,078
A_21_P0001131	XLOC_000836	-0,3	0,58	0,10617041	0,0008664	0,0003183	0,078
A_33_P3362034	FLJ46300	-0,43	0,48	0,01903330	0,0081619	0,0003252	0,078
A_23_P356330	PPPDE2	0,57	-0,32	0,00133844	0,0814140	0,0003280	0,078
A_21_P0013845	XLOC_I2_015535	0,54	-0,36	0,00252289	0,0515837	0,0003287	0,078
A_23_P44674	CRIP1	-0,41	0,5	0,02665775	0,0057652	0,0003340	0,078
A_33_P3239744		-0,51	0,39	0,00477128	0,0318374	0,0003398	0,078
A_33_P3289123	DCLK3	0,35	-0,55	0,06035291	0,0021220	0,0003400	0,078
A_33_P3328814	SETBP1	-0,47	0,44	0,00972539	0,0168564	0,0003407	0,078
A_23_P67042	MOCOS	-0,43	0,47	0,01903330	0,0088438	0,0003526	0,079
A_21_P0002448	XLOC_002116	0,4	-0,5	0,02924907	0,0054780	0,0003528	0,079
A_21_P0014328	LOC100505722	-0,47	0,43	0,00805398	0,0197165	0,0003602	0,079
A_23_P151297	TENC1	-0,53	0,36	0,00274689	0,0525045	0,0003634	0,079
A_21_P0011809	ANKRD36BP2	0,53	-0,37	0,00321734	0,0471720	0,0003701	0,080
A_24_P47467	TMEM109	0,27	-0,6	0,15025578	0,0006275	0,0003916	0,083
A_23_P160940	ABCA4	0,46	-0,43	0,01068058	0,0178533	0,0003986	0,083
A_33_P3270793	FAM84A	-0,52	0,37	0,00346714	0,0430690	0,0003987	0,083
A_19_P00320144	XLOC_003428	-0,3	0,58	0,11331190	0,0010186	0,0004007	0,083
A_21_P0011309	XLOC_I2_004605	-0,5	0,39	0,00507016	0,0350542	0,0004023	0,083
A_21_P0012885	XLOC_I2_011911	-0,43	0,46	0,01836996	0,0106806	0,0004109	0,084
A_33_P3385686		-0,56	0,32	0,00170807	0,0867899	0,0004430	0,089
A_33_P3338934		0,37	-0,51	0,04632716	0,0041078	0,0004554	0,089
A_21_P0007332	XLOC_009403	0,55	-0,32	0,00192414	0,0818519	0,0004569	0,089

A_23_P110606	MAML1	-0,42	0,47	0,02097541	0,0092727	0,0004595	0,089
A_19_P00804120		-0,49	0,39	0,00637869	0,0326706	0,0004633	0,089
A_21_P0008797	XLOC_011603	0,37	-0,51	0,04413383	0,0039917	0,0004651	0,089
A_21_P0002952	XLOC_002628	0,6	-0,26	0,00064190	0,1669459	0,0004667	0,089
A_19_P00320619	ZNF876P	0,39	-0,49	0,03163189	0,0068180	0,0004765	0,090
A_33_P3301297		0,6	-0,26	0,00064190	0,1714866	0,0004854	0,091
A_33_P3345936	CCDC9	0,52	-0,35	0,00346184	0,0563198	0,0004900	0,091
A_23_P112241	DNAJB5	-0,23	0,62	0,23017975	0,0003887	0,0005014	0,092
A_21_P0009669	XLOC_013256	0,33	-0,54	0,07882501	0,0019465	0,0005046	0,092
A_21_P0000505	CXADRP3	-0,34	0,53	0,06424809	0,0030439	0,0005108	0,092
A_23_P150457	LYVE1	0,5	-0,37	0,00511415	0,0430690	0,0005141	0,092
A_21_P0008650	XLOC_011296	-0,47	0,41	0,00905752	0,0255402	0,0005146	0,092
A_21_P0009952	XLOC_013495	0,47	-0,41	0,00898578	0,0268363	0,0005204	0,092
A_21_P0009014	XLOC_011883	-0,5	0,38	0,00591365	0,0387730	0,0005230	0,092
A_21_P0004865	XLOC_005215	0,47	-0,41	0,00843250	0,0260741	0,0005276	0,092
A_33_P3339100	SELP	0,64	-0,18	0,00019005	0,3361331	0,0005299	0,092
A_21_P0011214	XLOC_I2_003897	0,64	-0,17	0,00017103	0,3644803	0,0005634	0,093
A_23_P38649	MC2R	-0,31	0,55	0,10014820	0,0018133	0,0005642	0,093
A_21_P0013715	XLOC_I2_015101	0,27	-0,58	0,14826872	0,0009865	0,0005659	0,093
A_24_P76666	CSNK2A1	0,4	-0,48	0,03007152	0,0083616	0,0005662	0,093
A_23_P65618	TGM1	-0,62	0,2	0,00031210	0,2772288	0,0005664	0,093
A_33_P3280927	SNHG7	0,53	-0,33	0,00290562	0,0724604	0,0005726	0,093
A_23_P90369	C19orf6	0,46	-0,42	0,01189437	0,0226572	0,0005728	0,093
A_33_P3402565	DSP	0,41	-0,46	0,02341111	0,0111014	0,0005748	0,093
A_23_P55270	CCL18	0,52	-0,35	0,00382415	0,0603529	0,0005835	0,093
A_23_P402331	WFDC5	0,56	-0,29	0,00140909	0,1219960	0,0005869	0,093
A_33_P3390284	FAM122B	0,64	-0,17	0,00017103	0,3733840	0,0005885	0,093
A_33_P3317558	WHAMMP3	0,39	-0,48	0,03309383	0,0083616	0,0006107	0,096
ERCC-00067_104		0,43	-0,44	0,01666539	0,0158150	0,0006113	0,096

A_33_P3407700	TMEM192	0,43	-0,44	0,01772606	0,0164948	0,0006168	0,096
A_21_P0011397	WHAMMP2	0,59	-0,25	0,00083845	0,1753377	0,0006271	0,097
A_23_P117380	FAM181A	-0,31	0,55	0,09836104	0,0021427	0,0006365	0,097
A_33_P3299754	RAB18	0,52	-0,34	0,00399936	0,0628093	0,0006378	0,097
A_23_P144490	DCHS2	-0,4	0,46	0,02811423	0,0105981	0,0006440	0,097
A_33_P3254412	ULK2	0,48	-0,38	0,00740335	0,0390157	0,0006527	0,098
A_23_P50535	DMPK	-0,47	0,39	0,00934937	0,0324607	0,0006663	0,098
A_24_P304154	AMPD3	0,55	-0,29	0,00149131	0,1161531	0,0006682	0,098
A_19_P00315668	HIPK2	0,32	-0,54	0,08910926	0,0026204	0,0006702	0,098
A_24_P378019	IRF7	-0,47	0,4	0,00930189	0,0310218	0,0006755	0,098
A_33_P3264394	ASPSCR1	-0,43	0,43	0,01772606	0,0186329	0,0006992	0,101
A_33_P3226557	PRR23B	-0,41	0,45	0,02393128	0,0138293	0,0007060	0,101
A_23_P147822	EPS8L2	0,27	-0,57	0,14621641	0,0013111	0,0007066	0,101
A_23_P47967	LHX5	0,31	-0,54	0,09291928	0,0026704	0,0007186	0,101
A_33_P3280916	SNHG4	0,47	-0,39	0,00949826	0,0343905	0,0007208	0,101
A_19_P00328886	TUG1	0,39	-0,47	0,03330712	0,0098793	0,0007230	0,101
A_24_P411573	NPY6R	-0,5	0,35	0,00511415	0,0579734	0,0007269	0,101
A_23_P67151	OLFM2	-0,43	0,43	0,01999546	0,0175996	0,0007465	0,103
A_32_P121303	NUP50	0,68	-0,08	0,00004750	0,6789779	0,0007607	0,104
A_24_P944640	EPB41L5	-0,4	0,45	0,02867703	0,0124492	0,0007709	0,104
A_23_P256965	C8orf12	-0,46	0,39	0,01084727	0,0328817	0,0007807	0,104
A_24_P345498	XRCC5	0,34	-0,51	0,06645495	0,0046479	0,0007827	0,104
A_24_P62860	STAM2	0,31	-0,53	0,09656438	0,0024194	0,0007849	0,104
A_21_P0001474	XLOC_000730	0,42	-0,43	0,02158914	0,0163574	0,0007872	0,104
A_21_P0004921	XLOC_005429	-0,09	0,68	0,65327242	0,0000569	0,0007945	0,104
A_21_P0005411	XLOC_006192	0,36	-0,49	0,05067588	0,0060982	0,0007958	0,104
A_21_P0003962	XLOC_004278	0,45	-0,4	0,01362456	0,0273780	0,0008021	0,104
A_33_P3360863	LOC644794	-0,4	0,45	0,02924907	0,0127347	0,0008051	0,104
A_33_P3303594	PRAMEF11	0,5	-0,35	0,00566808	0,0586455	0,0008100	0,104

A_33_P3262973		-0,42	0,43	0,02120160	0,0174738	0,0008191	0,104
A_24_P284805	INPP5J	-0,36	0,49	0,05375255	0,0064322	0,0008231	0,104
A_33_P3388453	NANOS2	-0,4	0,45	0,02737800	0,0141412	0,0008322	0,104
A_21_P0001191	XLOC_001084	-0,44	0,41	0,01613972	0,0242589	0,0008360	0,104
A_23_P75741	UBE2L6	-0,42	0,43	0,02056323	0,0183453	0,0008376	0,104
A_33_P3210810	LINC00260	-0,54	0,29	0,00218467	0,1202205	0,0008404	0,104
A_21_P0001447	XLOC_000642	0,48	-0,37	0,00777475	0,0464010	0,0008462	0,104
A_23_P75764	OR5A1	-0,48	0,37	0,00809628	0,0457708	0,0008502	0,104
A_33_P3733115		0,48	-0,36	0,00746418	0,0484353	0,0008540	0,104
A_23_P44569	ABCC2	-0,51	0,33	0,00437066	0,0750623	0,0008568	0,104
A_33_P3266609		0,47	-0,38	0,00995710	0,0387730	0,0008607	0,104
A_23_P212469	ENTPD3	0,56	-0,27	0,00157605	0,1518715	0,0008675	0,104
A_33_P3331752		-0,34	0,5	0,06872116	0,0047526	0,0009124	0,108
A_33_P3369178	PRG4	0,37	-0,47	0,04386566	0,0092025	0,0009152	0,108
A_19_P00321801	EYS	0,51	-0,33	0,00477128	0,0746530	0,0009212	0,108
A_23_P133365	TCERG1	-0,37	0,47	0,04413383	0,0092025	0,0009214	0,108
A_33_P3341906	C10orf128	-0,46	0,38	0,01110142	0,0367499	0,0009227	0,108
A_23_P208373	CYP2B6	0,38	-0,46	0,03710843	0,0113606	0,0009312	0,108
A_32_P407245	DNAJC22	-0,51	0,32	0,00425628	0,0822916	0,0009353	0,108
A_23_P216434	ECM2	0,36	-0,48	0,05250445	0,0077118	0,0009487	0,109
A_33_P3213082		-0,58	0,22	0,00086639	0,2311202	0,0009688	0,111
A_33_P3319987	SCML4	0,33	-0,5	0,07343569	0,0052031	0,0009768	0,111
A_33_P3236881	C1orf151-NBL1	-0,24	0,57	0,19889768	0,0011568	0,0009831	0,111
A_24_P922631	C5orf58	-0,47	0,37	0,00920246	0,0477420	0,0010058	0,113
A_19_P00315804	FLJ35024	0,52	-0,3	0,00333766	0,1045720	0,0010151	0,114
A_21_P0009990	XLOC_013608	-0,32	0,51	0,09005027	0,0041815	0,0010278	0,114
A_23_P69383	PARP9	-0,31	0,52	0,10039918	0,0035900	0,0010280	0,114
A_32_P102519	LOC541473	-0,64	0,14	0,00021924	0,4578815	0,0010303	0,114
A_33_P3377090		0,59	-0,22	0,00080243	0,2514754	0,0010352	0,114

A_23_P257111	FBP1	0,45	-0,39	0,01285382	0,0357284	0,0010638	0,114
A_21_P0009699	XLOC_013026	0,43	-0,4	0,01734887	0,0286770	0,0010701	0,114
A_33_P3211014		-0,15	0,63	0,43364489	0,0002621	0,0010733	0,114
A_33_P3372004	IGSF6	0,35	-0,48	0,05898386	0,0070335	0,0010743	0,114
A_23_P92727	RAI14	-0,25	0,56	0,17846278	0,0015602	0,0010790	0,114
A_33_P3278220	RABEPK	0,41	-0,42	0,02442944	0,0201362	0,0010887	0,114
A_21_P0007750	XLOC_010176	-0,29	0,53	0,11672774	0,0031008	0,0010948	0,114
A_21_P0005194	XLOC_006159	0,56	-0,25	0,00162448	0,1761152	0,0010954	0,114
A_23_P154688	SLC4A11	-0,33	0,5	0,07882501	0,0053850	0,0010963	0,114
A_33_P3368950	C5orf65	-0,43	0,41	0,01971651	0,0261279	0,0011037	0,114
A_33_P3396972	LOC100129113	-0,34	0,49	0,06608305	0,0062599	0,0011061	0,114
A_21_P0011238	XLOC_I2_004157	0,41	-0,43	0,02510219	0,0190971	0,0011061	0,114
A_21_P0004669	XLOC_005393	0,64	-0,13	0,00021365	0,4795834	0,0011107	0,114
ERCC-00113_271		0,42	-0,42	0,02234769	0,0225216	0,0011159	0,114
A_33_P3298251		-0,55	0,27	0,00206085	0,1545521	0,0011173	0,114
A_21_P0010073	KCNQ2	-0,43	0,4	0,01823964	0,0286770	0,0011246	0,114
A_33_P3258772	LOC100506816	-0,41	0,42	0,02475729	0,0215891	0,0011439	0,115
A_21_P0010149	XLOC_013885	0,23	-0,58	0,23017975	0,0010744	0,0011465	0,115
A_33_P3323975		0,31	-0,51	0,09988665	0,0041078	0,0011498	0,115
A_33_P3389230	CXCR3	-0,41	0,43	0,02683633	0,0199955	0,0011506	0,115
A_33_P3353630		-0,62	0,15	0,00031210	0,4211800	0,0011624	0,115
A_33_P3357954	ETV1	-0,52	0,3	0,00392846	0,1051028	0,0011779	0,116
A_33_P3368388	DNAAF1	0,28	-0,53	0,13626653	0,0026957	0,0011863	0,116
A_33_P3390086		0,42	-0,41	0,02265724	0,0245902	0,0011928	0,116
A_21_P0013662	HSPB1	-0,44	0,39	0,01500207	0,0364131	0,0011939	0,116
A_23_P392076	STRN3	0,23	-0,57	0,21280620	0,0010948	0,0012101	0,117
A_21_P0003746	LOC401134	-0,46	0,36	0,00969886	0,0509770	0,0012123	0,117
A_33_P3365072	LCE6A	-0,43	0,4	0,01836996	0,0308205	0,0012210	0,117
A_33_P3223106	ZNF890P	-0,48	0,34	0,00752543	0,0668285	0,0012228	0,117

A_23_P429082	SPTY2D1	0,55	-0,26	0,00200126	0,1692053	0,0012332	0,117
A_21_P0007579	XLOC_009800	0,23	-0,57	0,21548720	0,0013247	0,0012338	0,117
A_24_P399230	WFIKKN2	-0,28	0,53	0,13886943	0,0027989	0,0012556	0,118
A_33_P3329104		-0,37	0,45	0,04333328	0,0126058	0,0012864	0,120
A_33_P3413905	ADM2	-0,26	0,54	0,16545174	0,0022059	0,0012974	0,120
A_23_P119448	PPP6R1	0,47	-0,35	0,00905752	0,0606991	0,0012985	0,120
A_21_P0000316	SNORA20	0,35	-0,47	0,05966527	0,0092757	0,0013018	0,120
A_24_P110780	NEXN-AS1	0,33	-0,49	0,07635678	0,0067617	0,0013052	0,120
A_23_P108082	CREB3L3	0,28	-0,53	0,13179860	0,0032471	0,0013315	0,121
A_19_P00811048	ZEB1-AS1	0,5	-0,32	0,00581435	0,0877120	0,0013342	0,121
A_21_P0002642	XLOC_001958	0,44	-0,38	0,01649480	0,0371084	0,0013356	0,121
A_21_P0009632	XLOC_012857	-0,29	0,51	0,11387591	0,0040714	0,0013434	0,121
A_23_P389250	C12orf70	-0,58	0,2	0,00086639	0,2869073	0,0013495	0,121
A_23_P110345	CHIC2	0,65	-0,09	0,00009160	0,6308065	0,0013514	0,121
A_23_P207537	DUSP14	-0,5	0,32	0,00591365	0,0881759	0,0013630	0,121
A_24_P364236	NDUFC2	0,47	-0,34	0,00927566	0,0619902	0,0013745	0,121
A_23_P44207	ACOT12	-0,5	0,31	0,00507016	0,0998867	0,0013833	0,121
A_24_P222872	UGT1A6	0,14	-0,62	0,46508663	0,0003121	0,0013844	0,121
A_21_P0009474	XLOC_012666	0,53	-0,28	0,00321734	0,1369997	0,0013867	0,121
A_23_P156788	STX11	-0,36	0,46	0,05037614	0,0114354	0,0013876	0,121
A_33_P3321225		-0,44	0,38	0,01637572	0,0387730	0,0013894	0,121
A_23_P476	MPZL1	-0,45	0,36	0,01254374	0,0497809	0,0014104	0,122
A_33_P3359743		0,48	-0,33	0,00740335	0,0767169	0,0014140	0,122
A_21_P0004495	XLOC_004325	0,4	-0,42	0,02830081	0,0225051	0,0014180	0,122
A_23_P171385	PHF6	0,44	-0,38	0,01522992	0,0404977	0,0014239	0,122
A_33_P3287238		0,35	-0,46	0,05566903	0,0111873	0,0014332	0,123
A_33_P3409090	CNTN1	0,32	-0,49	0,08826501	0,0063255	0,0014556	0,124
A_21_P0013215	XLOC_I2_013443	0,47	-0,34	0,00964917	0,0642481	0,0014679	0,125
A_33_P3306327		0,29	-0,51	0,12022049	0,0041815	0,0014716	0,125

A_33_P3365267		-0,26	0,53	0,16102724	0,0026957	0,0014796	0,125
A_33_P3411991	RABGAP1	0,45	-0,36	0,01322279	0,0490703	0,0014827	0,125
A_24_P388252	PPP3R1	0,45	-0,36	0,01322279	0,0500778	0,0014919	0,125
A_23_P74290	GBP5	-0,42	0,39	0,02173911	0,0322518	0,0015114	0,125
A_23_P20697	ADAMTSL2	-0,36	0,45	0,04919138	0,0137266	0,0015157	0,125
A_21_P0010416	XLOC_014237	-0,14	0,62	0,45630213	0,0003659	0,0015160	0,125
A_19_P00804950	P39188	0,51	-0,3	0,00435792	0,1121902	0,0015349	0,126
A_21_P0005046	XLOC_005792	0,44	-0,37	0,01533605	0,0454946	0,0015475	0,127
A_23_P43119	PSKH2	-0,05	-0,72	0,79421949	0,0000069	0,0015636	0,127
A_21_P0011310	HERC2	0,36	-0,45	0,05067588	0,0137266	0,0015656	0,127
A_19_P00321317	Q39472	0,33	-0,47	0,07263282	0,0089145	0,0015703	0,127
A_21_P0001125	XLOC_000816	-0,35	0,46	0,06069908	0,0112737	0,0015894	0,128
A_23_P168812	FAM200A	0,59	-0,18	0,00071825	0,3519838	0,0016170	0,130
A_33_P3314121		0,24	-0,55	0,19916357	0,0018393	0,0016305	0,131
A_33_P3263217	LRRC4	0,35	-0,45	0,05496530	0,0130257	0,0016509	0,132
A_33_P3302393	KLHL36	0,45	-0,36	0,01445901	0,0518892	0,0016870	0,134
A_21_P0001142	XLOC_000872	-0,32	0,48	0,08771201	0,0075871	0,0016910	0,134
A_33_P3373437	LOC100129463	-0,34	0,46	0,06720371	0,0107637	0,0017072	0,135
A_21_P0001119	XLOC_000772	-0,38	0,42	0,03734260	0,0212918	0,0017235	0,136
A_32_P88880		0,5	-0,29	0,00533902	0,1155806	0,0017309	0,136
A_23_P142255	SHD	-0,26	0,53	0,16920528	0,0030158	0,0017361	0,136
A_33_P3317431		0,43	-0,38	0,01944081	0,0408078	0,0017660	0,137
A_24_P194154	UPF1	0,48	-0,32	0,00849701	0,0831557	0,0017677	0,137
A_21_P0007420	XLOC_009603	-0,44	0,36	0,01500207	0,0528143	0,0017803	0,137
A_33_P3342938	MEIS1	0,38	-0,42	0,03781455	0,0217391	0,0017819	0,137
A_24_P211842	FADS6	0,43	-0,37	0,01889905	0,0430690	0,0017829	0,137
A_21_P0011566	XLOC_I2_005952	0,47	-0,33	0,01011417	0,0738397	0,0017945	0,137
A_24_P495367	GRXCR1	-0,42	0,38	0,02204165	0,0370156	0,0018063	0,137
A_19_P00803850	LOC100505474	-0,4	0,4	0,02830081	0,0298305	0,0018145	0,137

A_23_P502343	ADAM33	-0,18	0,58	0,33613308	0,0009247	0,0018244	0,137
A_33_P3399480		0,63	-0,11	0,00025878	0,5753595	0,0018266	0,137
A_21_P0009161	XLOC_012120	-0,12	0,62	0,52949878	0,0003239	0,0018290	0,137
A_23_P334864	FAM126B	-0,37	0,43	0,04540968	0,0179813	0,0018294	0,137
A_33_P3307486	SYNRG	0,46	-0,34	0,01198536	0,0657128	0,0018374	0,137
A_24_P281801	ZNF732	0,57	-0,2	0,00127090	0,2897967	0,0018418	0,137
A_21_P0007320	XLOC_009378	0,08	-0,64	0,66693516	0,0001733	0,0018603	0,138
A_19_P00804740	FLJ39653	-0,33	0,46	0,07343569	0,0107637	0,0018870	0,139
A_24_P175909	MARS	0,3	-0,49	0,10566989	0,0060982	0,0018871	0,139
A_33_P3389599		-0,46	0,34	0,01162490	0,0691047	0,0018902	0,139
A_23_P16058	ZNF296	-0,66	0,04	0,00009220	0,8178864	0,0019114	0,139
A_19_P00803342	ZNF678	-0,15	0,6	0,41728215	0,0006204	0,0019128	0,139
A_19_P00321617		0,48	-0,31	0,00740335	0,0993761	0,0019179	0,139
A_33_P3235282	LOC401561	-0,23	0,55	0,22644419	0,0018015	0,0019322	0,140
A_21_P0001288	XLOC_000160	0,42	-0,37	0,02023573	0,0422842	0,0019406	0,140
A_24_P158314	GARNL3	-0,4	0,39	0,02724328	0,0324607	0,0019604	0,141
A_19_P00327081	XLOC_I2_001273	0,35	-0,44	0,05830865	0,0148921	0,0019689	0,141
A_19_P00809423	P39188	-0,17	0,58	0,36195994	0,0007068	0,0019782	0,141
A_21_P0007905	FLJ31485	-0,41	0,38	0,02475729	0,0371084	0,0019843	0,141
A_23_P8640	GPER	0,61	-0,14	0,00051025	0,4620646	0,0019895	0,141
A_21_P0010260	XLOC_013965	-0,31	0,47	0,09052364	0,0087735	0,0019969	0,141
A_24_P284324	TMEM104	-0,43	0,36	0,01759958	0,0512796	0,0020049	0,141
A_33_P3285195	LOC100507012	0,48	-0,31	0,00790203	0,0983610	0,0020067	0,141
A_24_P922357	C22orf39	0,32	-0,47	0,08771201	0,0092757	0,0020228	0,141
A_21_P0007756	XLOC_010191	0,04	-0,66	0,81605993	0,0000684	0,0020231	0,141
A_33_P3403142		0,44	-0,35	0,01649480	0,0550242	0,0020344	0,141
A_23_P152002	BCL2A1	0,48	-0,3	0,00728297	0,1061704	0,0020457	0,142
A_33_P3273255		-0,44	0,36	0,01685641	0,0543854	0,0020503	0,142
A_24_P322635	ELMO2	0,18	-0,57	0,32660161	0,0011568	0,0020736	0,142

A_21_P0004206	XLOC_004257	0,38	-0,41	0,03877300	0,0247573	0,0020758	0,142
A_21_P0014227	LOC100506331	0,4	-0,39	0,03002637	0,0322518	0,0020823	0,142
A_23_P216596	SVEP1	-0,29	0,5	0,12621515	0,0058638	0,0020919	0,142
A_32_P19840	LOC100507507	0,38	-0,41	0,04125571	0,0234467	0,0020990	0,142
A_23_P432626	SLC25A40	0,44	-0,35	0,01544876	0,0600083	0,0021021	0,142
A_21_P0003762	XLOC_004054	0,47	-0,32	0,01019349	0,0845176	0,0021087	0,142
A_23_P64828	OAS1	0,55	-0,21	0,00165736	0,2560609	0,0021510	0,144
A_23_P145761	ARL4A	0,5	-0,28	0,00538500	0,1375634	0,0021648	0,144
A_23_P360769	MAN2A1	0,43	-0,36	0,01863294	0,0525045	0,0021700	0,144
A_33_P3405531	TMF1	0,51	-0,27	0,00448768	0,1559744	0,0021761	0,144
A_21_P0006029	XLOC_007460	-0,3	0,48	0,10299202	0,0075931	0,0021938	0,144
A_33_P3334688	CPNE2	-0,46	0,33	0,01139011	0,0767169	0,0022067	0,144
A_33_P3256550	MST152	-0,36	0,42	0,04919138	0,0204200	0,0022088	0,144
A_32_P186226	IPO7	0,57	-0,19	0,00128417	0,3230712	0,0022109	0,144
A_23_P101131	GRP	-0,42	0,37	0,02144003	0,0474563	0,0022282	0,144
A_33_P3294222	RLTPR	-0,49	0,29	0,00710553	0,1160699	0,0022298	0,144
A_19_P00330814	HOTAIR	0,43	-0,36	0,01889905	0,0525580	0,0022327	0,144
A_23_P411772	PCDHGB2	0,45	-0,33	0,01263890	0,0750623	0,0022380	0,144
A_21_P0013847	XLOC_I2_015561	0,49	-0,28	0,00596384	0,1317986	0,0022392	0,144
A_33_P3355694		0,48	-0,3	0,00764981	0,1045720	0,0022476	0,144
A_33_P3225843	CCDC149	0,28	-0,5	0,13952584	0,0055250	0,0022521	0,144
A_33_P3250857	AIDA	-0,38	0,41	0,04024760	0,0259532	0,0022584	0,144
A_21_P0002767	XLOC_002797	0,24	-0,52	0,19468504	0,0029027	0,0022591	0,144
A_33_P3232677		-0,27	0,51	0,15455212	0,0047713	0,0022644	0,144
A_23_P144005	C3orf32	-0,36	0,42	0,04860745	0,0212918	0,0022699	0,144
A_21_P0006334	XLOC_007895	-0,27	0,5	0,14621641	0,0052031	0,0022702	0,144
A_33_P3337500		-0,3	0,48	0,11052347	0,0077747	0,0022724	0,144
A_33_P3266928	LMTK3	-0,55	0,21	0,00204081	0,2595359	0,0022891	0,145
A_21_P0004272	XLOC_004446	-0,39	0,39	0,03183744	0,0339537	0,0023243	0,146

A_21_P0009515	XLOC_012746	-0,44	0,34	0,01488760	0,0653442	0,0023366	0,146
A_33_P3277228	OVOS	0,4	-0,39	0,03122406	0,0348318	0,0023390	0,146
A_33_P3211384	KIAA1683	-0,24	0,52	0,19720502	0,0033993	0,0023532	0,147
A_21_P0014513	LOC100507115	-0,57	0,18	0,00123183	0,3446125	0,0023692	0,147
A_24_P246943	PPIA	0,29	-0,48	0,11387591	0,0078382	0,0023718	0,147
A_23_P166929	SERPINI1	0,33	-0,45	0,07343569	0,0139326	0,0023865	0,147
A_33_P3277890		0,2	-0,55	0,28043097	0,0018680	0,0023909	0,147
ERCC-00019_219		-0,24	0,52	0,19636250	0,0030874	0,0023970	0,147
A_21_P0014692	LOC100288781	-0,27	0,5	0,14150884	0,0058638	0,0024111	0,147
A_21_P0011204	METTL21CP1	0,4	-0,38	0,03002637	0,0373426	0,0024138	0,147
A_21_P0006472	XLOC_008263	-0,28	0,49	0,13306389	0,0064322	0,0024170	0,147
A_24_P29733	CDK14	0,49	-0,29	0,00650928	0,1243938	0,0024219	0,147
A_21_P0011228	XLOC_I2_003974	-0,4	0,38	0,02983047	0,0372265	0,0024429	0,148
A_33_P3232995	TDRD1	-0,44	0,34	0,01625736	0,0664550	0,0024631	0,149
A_33_P3299634	OR1L6	-0,11	0,61	0,56572487	0,0004127	0,0024806	0,149
A_21_P0007839	XLOC_009784	0,57	-0,18	0,00133844	0,3409625	0,0024837	0,149
A_33_P3381410	ORC2	0,51	-0,25	0,00407136	0,1856391	0,0025178	0,151
A_23_P168092		-0,48	0,28	0,00722341	0,1274404	0,0025320	0,151
A_21_P0003908	XLOC_004165	0,64	-0,07	0,00020286	0,7296828	0,0025347	0,151
A_33_P3284919	SEMA6C	-0,23	0,53	0,22366989	0,0026450	0,0025424	0,151
A_33_P3379081		0,28	-0,48	0,12744039	0,0072830	0,0025499	0,151
A_23_P52727	NAV2	0,29	-0,48	0,11615312	0,0082946	0,0025510	0,151
A_21_P0008908	XLOC_011655	0,17	-0,57	0,37082703	0,0011690	0,0025589	0,151
A_24_P391586	OAF	-0,31	0,46	0,09243629	0,0106434	0,0025723	0,151
A_33_P3318424		-0,24	0,52	0,19301769	0,0039285	0,0025745	0,151
A_21_P0010435	XLOC_014347	0,31	-0,47	0,10143027	0,0101935	0,0026035	0,152
A_33_P3367577	EIF4ENIF1	0,53	-0,22	0,00274689	0,2406684	0,0026049	0,152
A_32_P155364	RPL7	0,5	-0,26	0,00475256	0,1624924	0,0026218	0,152
A_33_P3375527	MIER3	0,34	-0,43	0,06454338	0,0170413	0,0026256	0,152

A_33_P3333364		0,52	-0,24	0,00336967	0,2014557	0,0026543	0,153
A_24_P233960	SNX27	-0,35	0,42	0,05763960	0,0200181	0,0026624	0,153
A_23_P250164	HGD	0,49	-0,28	0,00716426	0,1336999	0,0026657	0,153
A_21_P0013790	XLOC_I2_015596	0,55	-0,2	0,00170130	0,2912783	0,0026672	0,153
A_33_P3265159	GAPVD1	0,39	-0,38	0,03225181	0,0385316	0,0026729	0,153
A_23_P302018	TXK	-0,17	0,57	0,37210423	0,0012318	0,0026778	0,153
A_33_P3393091		-0,51	0,25	0,00440937	0,1856391	0,0026888	0,153
A_24_P196019		0,55	-0,19	0,00174254	0,3149268	0,0026946	0,153
A_24_P145047	ZNF609	-0,28	0,48	0,12682667	0,0078382	0,0027001	0,153
A_33_P3268612	IL28RA	-0,3	0,47	0,10404332	0,0102733	0,0027002	0,153
A_33_P3211864	ARMCX4	-0,53	0,22	0,00269567	0,2504797	0,0027150	0,153
A_21_P0005195	XLOC_006193	-0,33	0,44	0,07882501	0,0147828	0,0027246	0,153
A_24_P98249	TACC1	-0,42	0,35	0,02219423	0,0559937	0,0027399	0,154
A_33_P3323928	LINC00263	0,26	-0,5	0,17225190	0,0052481	0,0028177	0,156
A_21_P0012873	LOC100507387	-0,12	0,6	0,54353833	0,0005470	0,0028207	0,156
A_21_P0011807	ANKRD36BP2	-0,26	0,5	0,17148658	0,0052934	0,0028217	0,156
A_21_P0006028	XLOC_007458	0,51	-0,24	0,00444838	0,1921878	0,0028348	0,156
A_23_P306933	PPTC7	-0,44	0,33	0,01544876	0,0788250	0,0028356	0,156
A_33_P3857239	KRT42P	0,32	-0,45	0,08633173	0,0138293	0,0028399	0,156
A_23_P114445	MAGEE1	0,48	-0,28	0,00777475	0,1330639	0,0028421	0,156
A_21_P0007816	XLOC_009628	-0,28	0,48	0,13691385	0,0068844	0,0028495	0,156
A_23_P346800	AVPR2	-0,63	0,08	0,00029701	0,6807048	0,0028496	0,156
A_21_P0012445	XLOC_I2_010239	-0,47	0,3	0,00938734	0,1110770	0,0028631	0,156
A_24_P257579	EPB41L4A	0,38	-0,39	0,03893371	0,0337371	0,0028810	0,156
A_23_P389102	MYO1D	-0,46	0,3	0,01101615	0,1045720	0,0028879	0,156
A_23_P129103	AGSK1	-0,31	0,45	0,09210013	0,0122282	0,0028944	0,156
A_19_P00316934	XLOC_006805	-0,43	0,34	0,01821133	0,0675806	0,0028991	0,156
A_24_P322229	RASL10B	0,28	-0,48	0,13092528	0,0081619	0,0029021	0,156
A_23_P105691	GPRC5D	-0,31	0,45	0,09243629	0,0130257	0,0029076	0,156

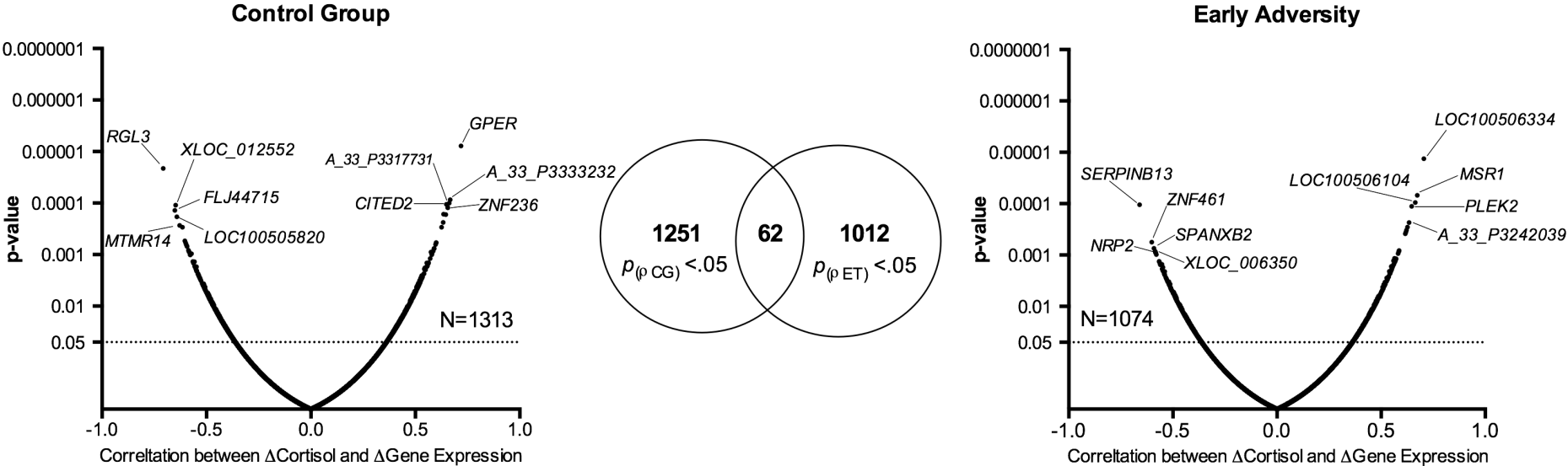
A_33_P3252228	NRSN1	-0,1	0,61	0,59321348	0,0004538	0,0029136	0,156
A_33_P3301095		0,42	-0,35	0,02166001	0,0589839	0,0029303	0,157
A_21_P0003729	XLOC_003907	0,33	-0,44	0,07925201	0,0160228	0,0029486	0,157
A_21_P0001070	XLOC_000604	0,43	-0,33	0,01798132	0,0716866	0,0029576	0,157
A_23_P151598	CPNE6	-0,23	0,52	0,21548720	0,0038934	0,0029625	0,157
A_21_P0010798	LOC646627	0,33	-0,43	0,07383972	0,0177261	0,0029914	0,158
A_33_P3650353	SNORA33	-0,46	0,31	0,01198536	0,1014303	0,0030028	0,158
A_21_P0007133	XLOC_009372	-0,49	0,27	0,00681802	0,1524365	0,0030049	0,158
A_33_P3380587	EIF2C1	-0,4	0,36	0,02791976	0,0483176	0,0030076	0,158
A_24_P201531	ARCN1	-0,35	0,41	0,05797335	0,0236073	0,0030121	0,158
A_21_P0002266	XLOC_001613	0,46	-0,3	0,01084727	0,1099721	0,0030208	0,158
A_23_P410613	C12orf23	-0,31	0,46	0,10143027	0,0120769	0,0030230	0,158
A_23_P43504	ABCA2	-0,52	0,23	0,00375594	0,2245921	0,0030438	0,159
A_23_P322008	TRHR	-0,63	0,06	0,00022785	0,7653409	0,0030604	0,159
A_21_P0000069	VEPH1	0,38	-0,39	0,04151090	0,0343905	0,0030679	0,159
A_23_P142187	HIF3A	-0,23	0,51	0,21191769	0,0041815	0,0030692	0,159
A_23_P615	INSRR	0,32	-0,44	0,08542093	0,0146072	0,0030876	0,159
A_23_P129144	MYZAP	0,46	-0,3	0,01072902	0,1077873	0,0030913	0,159
A_33_P3312049		0,28	-0,47	0,12744039	0,0092757	0,0031387	0,160
A_21_P0001443	XLOC_000635	0,35	-0,41	0,05678525	0,0249253	0,0031399	0,160
A_21_P0001381	XLOC_000447	-0,07	0,63	0,72968278	0,0002756	0,0031404	0,160
A_21_P0006970	SFTA1P	-0,22	0,52	0,23923384	0,0035576	0,0031588	0,161
A_21_P0008928	XLOC_011708	0,34	-0,42	0,06910471	0,0195735	0,0031665	0,161
A_21_P0010051	XLOC_013778	-0,33	0,43	0,07465301	0,0186329	0,0031686	0,161
A_33_P3340324	LOC345051	-0,46	0,29	0,01093143	0,1144420	0,0031860	0,161
A_33_P3320943		0,49	-0,26	0,00654051	0,1647083	0,0031973	0,161
A_33_P3220939	PCID2	0,56	-0,17	0,00125567	0,3800640	0,0032023	0,161
A_23_P416468	PIF1	0,56	-0,17	0,00160819	0,3670111	0,0032099	0,161
A_23_P327022	MDFIC	0,43	-0,33	0,01930417	0,0738397	0,0032342	0,162

A_21_P0009181	LOC100507351	-0,36	0,4	0,05067588	0,0296356	0,0032511	0,163
A_23_P314642	ZNF280C	-0,34	0,42	0,06682851	0,0220417	0,0032834	0,163
A_21_P0010795	XLOC_I2_001399	0,26	-0,49	0,16769658	0,0065952	0,0032933	0,163
A_24_P349547		0,43	-0,33	0,01957825	0,0742455	0,0032957	0,163
A_33_P3329878	RNF216	0,32	-0,44	0,08771201	0,0160228	0,0032991	0,163
A_33_P3376836		0,35	-0,41	0,05599367	0,0270159	0,0032992	0,163
A_21_P0008784	XLOC_011586	-0,31	0,45	0,09585806	0,0143524	0,0033027	0,163
A_33_P3229472	KRTAP5-10	-0,55	0,19	0,00214270	0,3254221	0,0033234	0,163
A_23_P151150	FOXMI	-0,45	0,31	0,01372659	0,0998867	0,0033262	0,163
A_33_P3351606	LOC100130155	-0,56	0,16	0,00138045	0,4035365	0,0033284	0,163
A_32_P189592	USHBP1	0,34	-0,42	0,06795910	0,0220417	0,0033426	0,163
A_33_P3251462	C20orf141	0,4	-0,36	0,03102176	0,0500778	0,0033558	0,164
A_23_P420209	GCNT3	0,49	-0,26	0,00687471	0,1661976	0,0033710	0,164
A_23_P169154	ERMP1	-0,47	0,28	0,00829315	0,1388694	0,0033723	0,164
A_33_P3407424	CDC42EP1	-0,52	0,22	0,00396378	0,2349080	0,0033794	0,164
A_23_P87491	APOF	0,2	-0,53	0,28365715	0,0028519	0,0033909	0,164
A_32_P191527	SETD8	0,44	-0,32	0,01649480	0,0881759	0,0034061	0,164
A_23_P28466	WDR69	0,38	-0,37	0,03698758	0,0428061	0,0034700	0,167
A_32_P5251	RARA	-0,29	0,46	0,12379108	0,0101824	0,0034790	0,167
A_21_P0010572	XLOC_I2_000581	0,5	-0,24	0,00543132	0,1988977	0,0034921	0,167
A_33_P3259821	DOCK9	-0,39	0,36	0,03417156	0,0483176	0,0035522	0,169
A_21_P0005121	XLOC_005371	-0,41	0,35	0,02683633	0,0598652	0,0035529	0,169
A_21_P0013022	XLOC_I2_012518	-0,43	0,32	0,01876560	0,0827331	0,0035669	0,169
A_21_P0001300	XLOC_000205	0,32	-0,43	0,08097801	0,0193042	0,0035750	0,169
A_24_P458252		-0,54	0,19	0,00267038	0,3065403	0,0035822	0,169
A_21_P0001295	XLOC_000186	0,33	-0,42	0,07495881	0,0202357	0,0035838	0,169
A_33_P3562810	LOC286149	0,25	-0,49	0,17767780	0,0067058	0,0035923	0,169
A_32_P49668	LOC100653060	0,37	-0,38	0,04467414	0,0380523	0,0036452	0,172
A_21_P0006954	XLOC_008698	-0,24	0,5	0,20490209	0,0054780	0,0036559	0,172

A_24_P71904	HPGD	0,18	-0,55	0,34951611	0,0021220	0,0036766	0,172
A_33_P3406547		-0,33	0,42	0,07797641	0,0209978	0,0037046	0,172
A_23_P376239	PAPOLA	0,34	-0,41	0,06534417	0,0257795	0,0037089	0,172
A_24_P136641	LOC100129250	0,51	-0,22	0,00433224	0,2387378	0,0037096	0,172
A_33_P3384657		0,38	-0,37	0,03877300	0,0446741	0,0037127	0,172
A_24_P178065	PHLDB2	-0,25	0,49	0,17846278	0,0069318	0,0037129	0,172
A_21_P0008361	XLOC_010883	-0,28	0,47	0,14018455	0,0098793	0,0037130	0,172
A_33_P3634554	LOC284108	-0,43	0,32	0,01785331	0,0895788	0,0037213	0,172
A_21_P0003170	XLOC_003240	-0,38	0,37	0,03757797	0,0463272	0,0037339	0,172
A_23_P366394	ZAK	0,43	-0,32	0,01876560	0,0863317	0,0037371	0,172
A_24_P119609	MYO1D	0,37	-0,38	0,04200614	0,0410018	0,0037570	0,172
A_21_P0004164	XLOC_004944	0,26	-0,48	0,15812558	0,0084291	0,0037581	0,172
A_33_P3424057	PEG3	0,5	-0,23	0,00538500	0,2128062	0,0037892	0,173
A_21_P0012187	XLOC_I2_009140	0,38	-0,37	0,03805233	0,0459741	0,0038120	0,173
A_19_P00321670	XLOC_005730	-0,42	0,33	0,02265724	0,0750623	0,0038123	0,173
A_21_P0005423	XLOC_006229	0,27	-0,47	0,14303294	0,0099571	0,0038216	0,173
A_21_P0011629	XLOC_I2_005916	0,47	-0,27	0,00995710	0,1441850	0,0038663	0,174
A_19_P00318114	Q6NT14	0,32	-0,42	0,08229159	0,0207073	0,0038772	0,174
A_21_P0008798	XLOC_011603	0,33	-0,42	0,07630058	0,0226572	0,0038797	0,174
A_23_P211039	ADAMTS1	0,35	-0,39	0,05502424	0,0326706	0,0038818	0,174
A_21_P0006237	XLOC_007597	-0,42	0,32	0,02114437	0,0809780	0,0038833	0,174
A_21_P0014859	LOC100652728	-0,23	0,5	0,21819145	0,0053390	0,0038892	0,174
A_33_P3314446	NF1P2	0,31	-0,43	0,09195524	0,0174242	0,0039019	0,174
A_21_P0005246	XLOC_006164	-0,14	0,57	0,47224194	0,0012064	0,0039123	0,175
A_21_P0000919	XLOC_000480	-0,45	0,29	0,01254374	0,1237911	0,0039340	0,175
A_21_P0011909	XLOC_I2_007967	-0,33	0,42	0,07495881	0,0225216	0,0039402	0,175
A_33_P3249589	BCL11A	-0,54	0,17	0,00224897	0,3557051	0,0039481	0,175
A_23_P354798	COQ10A	-0,35	0,39	0,05730737	0,0310931	0,0039579	0,175
A_33_P3419204		0,55	-0,16	0,00166367	0,3839566	0,0039735	0,175

A_19_P00318511	XLOC_002504	0,34	-0,41	0,06736918	0,0266577	0,0039853	0,176
A_24_P32627		0,41	-0,34	0,02577949	0,0702654	0,0040032	0,176
A_21_P0000946	XLOC_000043	-0,41	0,34	0,02630353	0,0694899	0,0040312	0,177
A_21_P0005155	XLOC_005621	0,18	-0,54	0,33456301	0,0026453	0,0040479	0,177
A_33_P3213892	PRDM15	0,44	-0,3	0,01613972	0,1049021	0,0040631	0,177
A_33_P3212930		-0,49	0,24	0,00632552	0,2031738	0,0040654	0,177
A_33_P3379017	HIC2	0,36	-0,38	0,05067588	0,0375780	0,0040849	0,178
A_33_P3309289	ST3GAL4	0,28	-0,46	0,13868980	0,0112737	0,0040955	0,178
A_24_P306726	TPT1	0,5	-0,23	0,00533594	0,2145910	0,0041119	0,178
A_21_P0002204	XLOC_001446	0,28	-0,46	0,13369991	0,0118944	0,0041126	0,178
A_33_P3355503	FOXL1	0,41	-0,33	0,02509423	0,0742455	0,0041390	0,178
A_21_P0004864	LOC100507100	-0,26	0,47	0,15957163	0,0093494	0,0041454	0,178
A_33_P3294103		-0,48	0,25	0,00822802	0,1745625	0,0041625	0,178
A_33_P3240263	POMP	0,24	-0,49	0,19385010	0,0064252	0,0041631	0,178

Supplemental Information 10



The figure shows the number of transcripts for which gene expression change from pre- to 180 minutes post-stress correlated significantly with cortisol increases in the TSST.

Pathway analyses showed enrichment of correlated genes in *MAPK signaling pathway* (p=.02) and *glycerolipid metabolism* (p=.009) in the control group, whereas an enrichment in *focal adhesion* (p=.04) and *axon guidance* (p=.01) pathways was observed for the EA group. Transcripts are shown below.

KEGG <i>MAPK signaling</i>			
Transcript	ρ CG	ρ EA	p value
<i>DUSP1</i>	0,54	0,17	ns
<i>MAPK8IP1</i>	0,49	0,02	ns
<i>CACNA1H</i>	0,46	0,21	ns
<i>ZAK</i>	0,41	0,05	ns
<i>FOS</i>	0,41	0,07	ns
<i>MAP2K6</i>	0,38	0,19	ns
<i>FGF7</i>	0,37	-0,28	<0.05
<i>RPS6KA6</i>	0,37	0,03	ns
<i>PPP3R1</i>	0,36	-0,13	ns
<i>IKBKB</i>	-0,37	0,16	<0.05
<i>TGFBR2</i>	-0,39	0,17	<0.05
<i>CACNB4</i>	-0,43	-0,28	ns
<i>MAP4K3</i>	-0,53	-0,06	ns
<i>RPS6KA2</i>	-0,55	-0,38	ns

KEGG <i>glycerolipid metabolism</i>			
Transcript	ρ CG	ρ EA	p value
<i>LIPC</i>	0,51	0,18	ns
<i>LPL</i>	0,40	-0,02	ns
<i>DGKB</i>	0,38	0,16	ns
<i>ADH6</i>	-0,38	0,02	ns
<i>DGKZ</i>	-0,41	0,11	<0.05
<i>PPAP2C</i>	-0,41	0,09	0.05

KEGG focal adhesion			
Transcript	ρ CG	ρ EA	p value
<i>COL5A1</i>	-0,04	0,42	ns
<i>PAK1</i>	-0,27	0,41	<0.01
<i>EGFR</i>	0,25	0,39	ns
<i>FLNA</i>	-0,17	0,38	<0.05
<i>ARHGAP5</i>	-0,35	0,37	<0.01
<i>PAK6</i>	0,08	-0,41	ns
<i>LAMB1</i>	-0,12	-0,41	ns
<i>BCL2</i>	0,34	-0,44	<0.01
<i>CCND2</i>	-0,08	-0,45	ns

KEGG axon guidance			
Transcript	ρ CG	ρ EA	p value
<i>SEMA6B</i>	-0,16	0,58	<0.01
<i>CXCR4</i>	0,20	0,42	ns
<i>PAK1</i>	-0,27	0,41	<0.01
<i>SEMA6C</i>	-0,04	0,40	ns
<i>SEMA4B</i>	0,16	-0,40	<0.05
<i>EPHA4</i>	0,33	-0,40	<0.01
<i>PAK6</i>	0,08	-0,41	ns
<i>EPHA1</i>	-0,37	-0,41	ns

Supplemental Table 10

The table shows the top 500 transcripts with significant differences between groups in the correlations between cortisol increases and gene expression changes from pre- to 180-minutes post-stress. The p -values result from the comparison of the z-transformed correlation coefficients of the two groups (Spearman's ρ). The p -values were multiplicity-adjusted to control the false discovery rate (FDR) by the Benjamini-Hochberg procedure.

Agilent Probe ID	Gene Symbol	ρ Control Group	ρ Early Adversity	p-value Control Group	p-value Early Adversity	p-value delta ρ	adj. p-value
A_23_P70968	HOXA7	0,56	-0,50	0,0016	0,0053	0,00002	0,319
A_33_P3671729	FLJ44715	-0,65	0,34	0,0001	0,0646	0,00003	0,319
A_33_P3251322	MTMR14	-0,63	0,36	0,0003	0,0544	0,00004	0,319
A_32_P206104		0,41	-0,56	0,0265	0,0015	0,00009	0,467
A_33_P3258772	LOC100506816	-0,57	0,37	0,0014	0,0425	0,00015	0,467

A_33_P3372869	DDX52	-0,58	0,35	0,0009	0,0590	0,00015	0,467
A_33_P3356392	RGL3	-0,71	0,14	0,0000	0,4606	0,00017	0,467
A_21_P0010373	XLOC_014330	-0,36	0,56	0,0486	0,0016	0,00020	0,467
A_24_P323072	GNRH2	-0,52	0,41	0,0039	0,0272	0,00023	0,467
A_24_P56330	C13orf16	-0,31	0,59	0,0989	0,0008	0,00028	0,467
A_33_P3360912	ZNF236	0,66	-0,19	0,0001	0,3035	0,00031	0,467
A_33_P3275653	GRM5	0,56	-0,34	0,0017	0,0672	0,00032	0,467
A_23_P348257	NUAK1	0,46	-0,44	0,0121	0,0149	0,00037	0,467
A_33_P3238250	F11R	-0,47	0,43	0,0096	0,0192	0,00038	0,467
A_33_P3320277	MFN2	0,48	-0,42	0,0075	0,0217	0,00039	0,467
A_33_P3214925	MIB2	-0,46	0,43	0,0107	0,0181	0,00040	0,467
A_21_P0012055	LINC00487	-0,56	0,32	0,0014	0,0866	0,00043	0,467
A_33_P3321642	GRHL2	-0,22	0,63	0,2446	0,0003	0,00043	0,467
A_24_P366566	OR5H1	-0,44	0,44	0,0150	0,0152	0,00048	0,467
A_21_P0004585	XLOC_005088	-0,35	0,53	0,0617	0,0031	0,00049	0,467
A_33_P3415255	VN1R1	-0,41	0,47	0,0256	0,0093	0,00051	0,467
A_21_P0013985	LOC100507494	-0,31	0,55	0,0920	0,0019	0,00052	0,467
A_23_P426835	LOC729652	-0,37	0,51	0,0449	0,0049	0,00052	0,467
A_33_P3544880	LOC142937	-0,47	0,41	0,0099	0,0261	0,00056	0,467
A_33_P3252491		-0,39	0,48	0,0325	0,0079	0,00057	0,467
A_33_P3249589	BCL11A	-0,38	0,49	0,0407	0,0061	0,00057	0,467
A_24_P170067		0,43	-0,43	0,0192	0,0172	0,00073	0,520
A_33_P3324137	PRO0628	-0,60	0,22	0,0006	0,2378	0,00074	0,520
A_21_P0002097	XLOC_002299	-0,42	0,44	0,0222	0,0158	0,00075	0,520
A_21_P0008935	XLOC_011718	-0,29	0,55	0,1179	0,0017	0,00075	0,520
A_21_P0005613	XLOC_006677	-0,38	0,47	0,0410	0,0086	0,00080	0,520
A_33_P3764744		-0,52	0,33	0,0039	0,0788	0,00083	0,520
A_19_P00321061	LOC100499221	0,52	-0,32	0,0035	0,0877	0,00085	0,520
A_23_P117602	GZMB	0,56	-0,27	0,0017	0,1464	0,00087	0,520

A_23_P48784	CYP46A1	-0,51	0,33	0,0043	0,0771	0,00087	0,520
A_19_P00316844	HCG18	-0,53	0,31	0,0031	0,0984	0,00087	0,520
A_19_P00808382	LOC100506334	-0,02	0,71	0,9345	0,0000	0,00102	0,527
A_19_P00319588	XLOC_003202	0,49	-0,34	0,0060	0,0646	0,00104	0,527
A_24_P932416	TMEM14E	-0,55	0,27	0,0021	0,1462	0,00105	0,527
A_21_P0009347	XLOC_012552	-0,65	0,12	0,0001	0,5403	0,00111	0,527
A_23_P17430	RBM38	0,33	-0,49	0,0741	0,0060	0,00113	0,527
A_33_P3598363	LOC400662	-0,49	0,34	0,0072	0,0653	0,00114	0,527
A_23_P24676	OR8U1	-0,45	0,38	0,0135	0,0383	0,00114	0,527
A_33_P3292724		-0,42	0,41	0,0223	0,0239	0,00114	0,527
A_23_P107801	C19orf44	-0,37	0,46	0,0444	0,0117	0,00117	0,527
A_33_P3333232		0,67	-0,08	0,0001	0,6876	0,00120	0,527
A_21_P0000708	C14orf55	0,48	-0,35	0,0079	0,0604	0,00122	0,527
A_33_P3329686	Aug 01	0,33	-0,49	0,0738	0,0061	0,00124	0,527
A_33_P3288491	KLHL38	-0,34	0,48	0,0668	0,0070	0,00124	0,527
A_21_P0009758	XLOC_013291	-0,43	0,40	0,0189	0,0312	0,00127	0,527
A_21_P0004110	XLOC_004752	0,63	-0,13	0,0002	0,4959	0,00128	0,527
A_32_P126609	SMC5	0,28	-0,52	0,1287	0,0033	0,00132	0,527
A_21_P0003319	XLOC_003737	-0,24	0,56	0,1947	0,0017	0,00132	0,527
A_23_P81018	PDHA2	-0,34	0,47	0,0632	0,0088	0,00133	0,527
A_21_P0012981	XLOC_I2_011987	0,26	-0,54	0,1647	0,0025	0,00141	0,531
A_33_P3347012		-0,42	0,40	0,0222	0,0289	0,00142	0,531
A_33_P3345816	GPER	0,72	0,04	0,0000	0,8491	0,00142	0,531
A_21_P0014180	GPR146	-0,55	0,24	0,0019	0,1945	0,00145	0,531
A_33_P3821494	LOC284939	0,29	-0,51	0,1150	0,0044	0,00147	0,531
A_33_P3742500	LOC642947	-0,44	0,37	0,0160	0,0428	0,00151	0,531
A_24_P141227	LMX1B	-0,49	0,32	0,0072	0,0830	0,00151	0,531
A_23_P345674	ZNF71	0,48	-0,33	0,0084	0,0763	0,00157	0,532
A_21_P0014806	LOC100507131	-0,48	0,32	0,0073	0,0819	0,00162	0,532

A_32_P199884	HORMAD1	-0,36	0,44	0,0489	0,0143	0,00165	0,532
A_24_P941167	APOL6	-0,34	0,46	0,0672	0,0105	0,00167	0,532
A_24_P221092		-0,42	0,38	0,0203	0,0381	0,00168	0,532
A_33_P3259821	DOCK9	-0,39	0,41	0,0333	0,0234	0,00168	0,532
A_33_P3331911		-0,49	0,31	0,0066	0,0979	0,00170	0,532
A_33_P3368950	C5orf65	-0,32	0,48	0,0819	0,0086	0,00174	0,532
A_21_P0007750	XLOC_010176	-0,31	0,49	0,0959	0,0064	0,00174	0,532
A_33_P3239185	SYT7	0,49	-0,31	0,0069	0,1004	0,00183	0,544
A_21_P0009809	HSPC072	-0,33	0,46	0,0742	0,0104	0,00184	0,544
A_33_P3223111		-0,49	0,30	0,0061	0,1046	0,00187	0,544
A_23_P102364	NGEF	-0,55	0,23	0,0021	0,2228	0,00190	0,544
A_33_P3234267	LOC100130442	-0,59	0,16	0,0007	0,4009	0,00193	0,544
A_21_P0008062	XLOC_010384	-0,54	0,23	0,0024	0,2146	0,00196	0,544
A_33_P3370449	GOT1L1	-0,38	0,42	0,0398	0,0230	0,00198	0,544
A_23_P79816	EMILIN3	-0,25	0,53	0,1889	0,0030	0,00198	0,544
A_21_P0011021	LOC650368	-0,54	0,23	0,0025	0,2110	0,00202	0,549
A_21_P0002494	XLOC_002283	0,55	-0,21	0,0015	0,2647	0,00206	0,553
A_33_P3262833	GOLGA8E	0,31	-0,48	0,0959	0,0086	0,00209	0,553
A_24_P276531	SNIP1	0,32	-0,47	0,0901	0,0096	0,00229	0,553
A_21_P0010149	XLOC_013885	0,45	-0,33	0,0139	0,0714	0,00231	0,553
A_33_P3263651	SEMA6B	-0,16	0,58	0,4009	0,0009	0,00232	0,553
A_21_P0013458	XLOC_I2_014061	0,29	-0,48	0,1155	0,0069	0,00233	0,553
A_21_P0005411	XLOC_006192	0,58	-0,16	0,0009	0,4076	0,00236	0,553
A_21_P0008386	XLOC_010929	0,53	-0,23	0,0029	0,2191	0,00237	0,553
A_33_P3417437	CD164L2	-0,47	0,30	0,0093	0,1025	0,00242	0,553
A_21_P0001723	XLOC_000746	-0,51	0,25	0,0044	0,1738	0,00245	0,553
A_23_P369701	FAM108C1	0,29	-0,48	0,1196	0,0076	0,00246	0,553
A_21_P0013022	XLOC_I2_012518	-0,37	0,41	0,0420	0,0272	0,00247	0,553
A_23_P352266	BCL2	0,34	-0,44	0,0693	0,0147	0,00248	0,553

A_19_P00322219	MIAT	-0,32	0,46	0,0896	0,0114	0,00248	0,553
A_21_P0009952	XLOC_013495	0,40	-0,38	0,0276	0,0408	0,00256	0,553
A_33_P3305497	NCKAP5L	-0,48	0,28	0,0074	0,1274	0,00259	0,553
A_21_P0014587	LOC100507058	0,24	-0,52	0,2015	0,0033	0,00262	0,553
A_23_P83498	IGF2BP1	0,39	-0,38	0,0318	0,0385	0,00264	0,553
A_21_P0004481	XLOC_004244	0,40	-0,37	0,0279	0,0439	0,00265	0,553
A_33_P3289845	IGFL1	-0,38	0,40	0,0402	0,0312	0,00271	0,553
A_33_P3333900	LOC100129572	-0,38	0,39	0,0383	0,0333	0,00274	0,553
A_21_P0011252	XLOC_I2_004222	0,36	-0,41	0,0513	0,0237	0,00274	0,553
A_19_P00320685	XLOC_011430	0,34	-0,43	0,0660	0,0184	0,00276	0,553
A_24_P305784	SPANXB2	0,14	-0,59	0,4752	0,0007	0,00276	0,553
A_21_P0014594	LOC100505820	-0,64	0,05	0,0002	0,7797	0,00277	0,553
A_21_P0013783	XLOC_I2_015585	0,25	-0,51	0,1864	0,0046	0,00280	0,553
A_24_P213763		-0,58	0,15	0,0010	0,4226	0,00281	0,553
A_33_P3345812	GPER	0,58	-0,15	0,0010	0,4295	0,00282	0,553
A_23_P150595	TPH1	0,31	-0,46	0,0959	0,0115	0,00287	0,553
A_24_P101304	ZNF568	0,34	-0,42	0,0635	0,0204	0,00290	0,553
A_32_P206479	ZNF831	0,38	-0,39	0,0398	0,0334	0,00293	0,553
A_33_P3319640	HDGFRP2	0,45	-0,32	0,0144	0,0863	0,00294	0,553
A_21_P0004192	XLOC_005094	-0,22	0,53	0,2495	0,0030	0,00295	0,553
A_33_P3262217		-0,39	0,38	0,0333	0,0415	0,00297	0,553
A_33_P3461633	LOC284454	0,44	-0,33	0,0167	0,0776	0,00300	0,553
A_21_P0000349	SCARNA3	-0,50	0,26	0,0058	0,1692	0,00300	0,553
A_21_P0010073	KCNQ2	-0,56	0,18	0,0017	0,3471	0,00303	0,553
A_21_P0013347	XLOC_I2_013978	0,41	-0,36	0,0258	0,0525	0,00305	0,553
A_21_P0007181	XLOC_009075	-0,34	0,42	0,0632	0,0219	0,00307	0,553
A_21_P0001744	XLOC_001048	0,27	-0,49	0,1531	0,0070	0,00311	0,553
A_21_P0002977	XLOC_002707	0,49	-0,26	0,0060	0,1719	0,00314	0,553
A_21_P0006458	XLOC_008205	-0,26	0,49	0,1718	0,0061	0,00318	0,553

A_33_P3419865	LOC646719	-0,32	0,44	0,0814	0,0169	0,00318	0,553
A_33_P3359253	MAD2L2	-0,54	0,20	0,0024	0,2990	0,00318	0,553
A_23_P51711	CELA2B	-0,39	0,37	0,0337	0,0441	0,00320	0,553
A_21_P0014891	LOC100652907	-0,19	0,54	0,3080	0,0023	0,00325	0,557
A_33_P3342992	UBE2Q2P2	-0,25	0,49	0,1761	0,0061	0,00329	0,558
A_23_P102607	CHD6	-0,46	0,29	0,0098	0,1220	0,00331	0,558
A_23_P402331	WFDC5	0,63	-0,06	0,0003	0,7457	0,00344	0,574
A_33_P3400152	LOC728558	0,30	-0,45	0,1051	0,0134	0,00346	0,574
A_23_P129005	NYNRIN	-0,49	0,26	0,0068	0,1723	0,00350	0,577
ERCC-00019_219		-0,15	0,57	0,4309	0,0013	0,00357	0,579
A_23_P94754	TNFSF15	-0,31	0,44	0,0969	0,0156	0,00359	0,579
A_33_P3226129		-0,43	0,32	0,0192	0,0819	0,00359	0,579
A_23_P162449	SRGAP1	0,51	-0,23	0,0046	0,2287	0,00366	0,584
A_21_P0011267	LOC283547	-0,51	0,22	0,0043	0,2387	0,00368	0,584
A_21_P0009097	LOC653550	0,46	-0,28	0,0117	0,1287	0,00388	0,607
A_23_P68547	MCM8	-0,57	0,13	0,0010	0,4834	0,00395	0,607
A_21_P0008755	XLOC_011520	0,57	-0,13	0,0009	0,4974	0,00399	0,607
A_21_P0007579	XLOC_009800	0,29	-0,45	0,1232	0,0128	0,00399	0,607
A_33_P3251901	APBB2	0,43	-0,31	0,0168	0,0979	0,00405	0,607
A_23_P90888	CHRNA1	0,34	-0,41	0,0707	0,0260	0,00405	0,607
A_33_P3422030	FXYD5	-0,37	0,37	0,0425	0,0449	0,00416	0,607
A_21_P0004904	XLOC_005368	0,25	-0,48	0,1777	0,0080	0,00417	0,607
A_33_P3364904	ZNF662	0,41	-0,33	0,0246	0,0763	0,00418	0,607
A_33_P3480395	FLJ30901	0,50	-0,23	0,0056	0,2246	0,00418	0,607
A_21_P0000174	C5orf56	-0,40	0,34	0,0279	0,0668	0,00420	0,607
A_21_P0010512	LOC728716	-0,29	0,45	0,1226	0,0137	0,00421	0,607
A_33_P3392213		0,50	-0,22	0,0052	0,2368	0,00422	0,607
A_33_P3254306	FLCN	-0,44	0,30	0,0159	0,1100	0,00422	0,607
A_23_P215341	FKBP14	-0,35	0,38	0,0550	0,0371	0,00438	0,618

A_33_P3306272	KIAA0825	0,44	-0,29	0,0157	0,1150	0,00439	0,618
A_33_P3321796		-0,24	0,49	0,2093	0,0067	0,00440	0,618
A_24_P194886	EHBP1	-0,39	0,35	0,0364	0,0566	0,00443	0,618
A_33_P3285092	LOC100129763	-0,29	0,44	0,1208	0,0152	0,00452	0,618
A_33_P3518572	LOC100287314	0,51	-0,20	0,0038	0,2783	0,00456	0,618
A_33_P3229472	KRTAP5-10	-0,25	0,47	0,1753	0,0091	0,00456	0,618
A_21_P0009951	XLOC_013490	0,41	-0,33	0,0258	0,0797	0,00457	0,618
A_21_P0000392	SNORD98	-0,47	0,25	0,0083	0,1800	0,00462	0,618
A_21_P0009444	XLOC_012614	0,30	-0,43	0,1035	0,0192	0,00465	0,618
A_23_P108501	EPHA4	0,33	-0,40	0,0776	0,0274	0,00470	0,618
A_21_P0000625	LOC100289361	0,38	-0,36	0,0413	0,0527	0,00471	0,618
A_33_P3245620		0,53	-0,18	0,0029	0,3302	0,00472	0,618
A_33_P3376925		0,30	-0,43	0,1067	0,0189	0,00475	0,618
A_33_P3253687	GVINP1	-0,40	0,34	0,0308	0,0707	0,00475	0,618
A_23_P321846	KCNS1	0,18	-0,53	0,3410	0,0031	0,00477	0,618
A_33_P3479066	RPL13P5	-0,16	0,54	0,4103	0,0022	0,00479	0,618
A_23_P416212	HSPB9	-0,37	0,36	0,0480	0,0474	0,00493	0,629
A_21_P0003797	XLOC_004165	0,63	-0,02	0,0002	0,9345	0,00493	0,629
A_33_P3370890	C6orf225	0,26	-0,46	0,1632	0,0114	0,00502	0,630
A_21_P0005909	XLOC_007223	-0,49	0,23	0,0069	0,2274	0,00503	0,630
A_33_P3374758	DYNC1LI2	-0,28	0,44	0,1274	0,0163	0,00509	0,630
A_21_P0006006	XLOC_007342	-0,04	0,62	0,8197	0,0004	0,00512	0,630
A_33_P3329241		-0,37	0,36	0,0477	0,0510	0,00518	0,630
A_33_P3403666	NDOR1	0,36	-0,36	0,0483	0,0501	0,00522	0,630
A_21_P0000936	XLOC_001265	-0,43	0,29	0,0180	0,1208	0,00523	0,630
A_32_P806841	ARL4A	0,48	-0,23	0,0067	0,2255	0,00523	0,630
A_23_P151506	PLEK2	0,01	0,65	0,9588	0,0001	0,00525	0,630
A_21_P0005469	XLOC_006350	0,09	-0,58	0,6330	0,0009	0,00532	0,630
A_21_P0012265	XLOC_I2_009332	-0,48	0,23	0,0083	0,2110	0,00532	0,630

A_23_P8640	GP	0,65	0,01	0,0001	0,9401	0,00532	0,630
A_33_P3334047		-0,24	0,48	0,2093	0,0078	0,00533	0,630
A_21_P0004889	XLOC_005311	-0,41	0,31	0,0256	0,0906	0,00539	0,631
A_33_P3415052	NIPAL4	-0,27	0,45	0,1531	0,0137	0,00545	0,631
A_33_P3280927	SNHG7	0,58	-0,09	0,0010	0,6163	0,00553	0,631
A_21_P0006028	XLOC_007458	0,41	-0,31	0,0252	0,0944	0,00554	0,631
A_33_P3257451	SRRM3	-0,12	0,56	0,5202	0,0013	0,00555	0,631
A_21_P0010829	XLOC_I2_001597	-0,48	0,23	0,0077	0,2292	0,00558	0,631
A_21_P0004728	C6orf218	0,26	-0,45	0,1588	0,0135	0,00562	0,631
A_33_P3438201		-0,39	0,33	0,0353	0,0738	0,00564	0,631
A_23_P417853	MYO3B	-0,23	0,47	0,2110	0,0090	0,00568	0,631
A_24_P333857	SGIP1	0,15	-0,54	0,4322	0,0021	0,00569	0,631
A_21_P0003858	XLOC_003772	0,59	-0,07	0,0008	0,6928	0,00570	0,631
A_23_P4254	CRYBA1	-0,40	0,32	0,0312	0,0832	0,00570	0,631
A_21_P0011116	FEM1A	0,38	-0,34	0,0408	0,0642	0,00572	0,631
A_24_P84781		-0,08	0,59	0,6790	0,0008	0,00578	0,634
A_32_P137920	RSPH4A	0,17	-0,52	0,3582	0,0037	0,00581	0,635
A_33_P3492087	LOC284191	0,11	-0,57	0,5641	0,0014	0,00584	0,635
A_21_P0003859	XLOC_003775	0,41	-0,30	0,0238	0,1078	0,00588	0,636
A_23_P117851	CPLX3	-0,41	0,30	0,0256	0,1040	0,00605	0,649
A_23_P48535	ARHGAP5	-0,35	0,37	0,0614	0,0457	0,00606	0,649
A_33_P3320283		-0,37	0,34	0,0458	0,0628	0,00612	0,652
A_33_P3404706	SPN	-0,51	0,18	0,0042	0,3495	0,00621	0,652
A_21_P0009643	LOC148145	-0,30	0,41	0,1122	0,0241	0,00622	0,652
A_21_P0014851	LOC100652779	-0,30	0,41	0,1135	0,0241	0,00630	0,652
A_32_P170481	LOC100240735	-0,37	0,34	0,0423	0,0699	0,00631	0,652
A_24_P944588	ZNF682	-0,26	0,44	0,1588	0,0156	0,00633	0,652
A_23_P63870	SAMD8	0,36	-0,35	0,0528	0,0570	0,00637	0,652
A_33_P3499102	RBM10	0,56	-0,11	0,0015	0,5735	0,00644	0,652

A_21_P0003083	XLOC_002975	-0,38	0,32	0,0373	0,0805	0,00650	0,652
A_21_P0003729	XLOC_003907	0,40	-0,30	0,0276	0,1019	0,00650	0,652
A_21_P0014692	LOC100288781	-0,29	0,42	0,1262	0,0219	0,00651	0,652
A_21_P0009906	XLOC_013776	-0,43	0,27	0,0177	0,1483	0,00652	0,652
A_33_P3396129	KATNB1	-0,29	0,41	0,1139	0,0253	0,00659	0,652
A_23_P416774	CLIC5	0,38	-0,33	0,0410	0,0751	0,00659	0,652
A_21_P0013440	XLOC_I2_013873	-0,44	0,26	0,0160	0,1618	0,00662	0,652
A_33_P3297651	LOC100130540	-0,31	0,40	0,0979	0,0298	0,00664	0,652
A_21_P0007340	XLOC_009416	0,37	-0,34	0,0442	0,0699	0,00668	0,652
A_19_P00317773	IPW	-0,31	0,39	0,0915	0,0326	0,00669	0,652
A_33_P3301955	PDE7A	-0,60	0,05	0,0006	0,7960	0,00679	0,652
A_23_P318860	APLNR	-0,14	0,54	0,4650	0,0027	0,00683	0,652
A_24_P49106	TCEAL7	-0,25	0,44	0,1777	0,0141	0,00693	0,652
A_33_P3397716	LOC401320	-0,35	0,35	0,0590	0,0557	0,00694	0,652
A_33_P3215913	TMEM184B	0,39	-0,31	0,0323	0,0984	0,00700	0,652
A_24_P706340	FAM155A	0,38	-0,32	0,0381	0,0854	0,00702	0,652
A_33_P3381899	SYNGR3	-0,45	0,25	0,0144	0,1840	0,00704	0,652
A_19_P00316340	LOC100506860	0,42	-0,28	0,0228	0,1318	0,00708	0,652
A_33_P3762913	LOC100216546	-0,42	0,27	0,0206	0,1428	0,00709	0,652
A_24_P277155	HLTF	0,21	-0,48	0,2719	0,0080	0,00716	0,652
A_33_P3653912	FAHD2A	-0,43	0,27	0,0186	0,1553	0,00717	0,652
A_33_P3319406	ARHGAP21	-0,51	0,17	0,0046	0,3670	0,00717	0,652
A_33_P3222056		-0,25	0,45	0,1873	0,0144	0,00719	0,652
A_33_P3372699	SEC14L4	-0,46	0,23	0,0115	0,2182	0,00725	0,652
A_21_P0006882	XLOC_008522	-0,22	0,47	0,2387	0,0102	0,00735	0,652
A_23_P151150	FOXMI	-0,34	0,36	0,0665	0,0525	0,00737	0,652
A_33_P3354076	FAM172BP	0,06	-0,58	0,7439	0,0009	0,00737	0,652
A_21_P0005115	RAB44	0,33	-0,37	0,0730	0,0480	0,00744	0,652
A_24_P307724	FLJ33360	-0,52	0,15	0,0037	0,4239	0,00744	0,652

A_33_P3423504	MAGEB17	-0,21	0,47	0,2561	0,0093	0,00746	0,652
A_21_P0011356	GOLGA8IP	0,52	-0,15	0,0037	0,4239	0,00749	0,652
A_24_P312519	PBLD	-0,36	0,34	0,0510	0,0707	0,00761	0,652
A_33_P3363186		0,32	-0,38	0,0886	0,0394	0,00768	0,652
A_21_P0006495	XLOC_007974	0,00	0,62	0,9906	0,0003	0,00768	0,652
A_33_P3285391		-0,41	0,29	0,0267	0,1256	0,00769	0,652
A_19_P00320028	LOC100216546	-0,44	0,25	0,0169	0,1777	0,00771	0,652
A_21_P0001443	XLOC_000635	0,33	-0,36	0,0751	0,0489	0,00777	0,652
A_33_P3400943	C16orf5	-0,20	0,48	0,2869	0,0081	0,00779	0,652
A_21_P0009429	XLOC_012692	-0,33	0,37	0,0801	0,0458	0,00780	0,652
A_23_P206077	AEN	0,39	-0,30	0,0337	0,1051	0,00782	0,652
A_19_P00320996	P39188	-0,53	0,14	0,0032	0,4650	0,00782	0,652
A_33_P3383094		0,44	-0,25	0,0167	0,1808	0,00783	0,652
A_23_P49849	SEZ6	0,45	-0,24	0,0145	0,2006	0,00786	0,652
A_33_P3285334	LOC100130417	0,43	-0,25	0,0176	0,1761	0,00791	0,652
A_33_P3544887	TTC28	0,46	-0,22	0,0111	0,2407	0,00795	0,652
A_32_P720220	C12orf36	0,36	-0,33	0,0507	0,0742	0,00795	0,652
A_21_P0014577	LOC100506869	-0,42	0,27	0,0223	0,1490	0,00798	0,652
A_24_P89971	SURF4	0,50	-0,17	0,0055	0,3628	0,00799	0,652
A_23_P216434	ECM2	0,40	-0,29	0,0306	0,1164	0,00800	0,652
A_33_P3210810	LINC00260	-0,48	0,20	0,0084	0,2909	0,00808	0,652
A_21_P0010366	XLOC_014270	0,47	-0,20	0,0089	0,2794	0,00810	0,652
A_23_P44674	CRIP1	-0,44	0,25	0,0158	0,1881	0,00815	0,652
A_33_P3317431		0,37	-0,32	0,0425	0,0896	0,00817	0,652
A_19_P00320242	LOC100506948	-0,45	0,23	0,0131	0,2209	0,00817	0,652
A_21_P0009326	XLOC_012482	0,10	-0,55	0,5818	0,0020	0,00820	0,652
A_21_P0010690	XLOC_I2_000037	-0,43	0,25	0,0184	0,1761	0,00820	0,652
A_33_P3288609	PAK1	-0,27	0,41	0,1435	0,0243	0,00821	0,652
A_21_P0012445	XLOC_I2_010239	-0,22	0,46	0,2510	0,0109	0,00824	0,652

A_23_P72059	VSIG10	-0,23	0,45	0,2119	0,0134	0,00824	0,652
A_33_P3315385	MPPED2	-0,42	0,27	0,0228	0,1517	0,00830	0,652
A_24_P944640	EPB41L5	-0,22	0,46	0,2505	0,0110	0,00831	0,652
A_21_P0005772	XLOC_006941	-0,26	0,42	0,1669	0,0201	0,00832	0,652
A_23_P10194	SEZ6L2	-0,27	0,41	0,1490	0,0228	0,00836	0,652
A_19_P00318909	XLOC_I2_010751	-0,27	0,41	0,1476	0,0239	0,00838	0,652
A_21_P0013702	XLOC_I2_014876	-0,15	0,51	0,4350	0,0041	0,00838	0,652
A_23_P131785	BPI	0,45	-0,23	0,0139	0,2173	0,00840	0,652
A_23_P44207	ACOT12	-0,23	0,44	0,2110	0,0147	0,00846	0,652
A_21_P0002265	XLOC_001608	-0,30	0,39	0,1090	0,0355	0,00851	0,652
A_33_P3280811	TTC16	-0,18	0,49	0,3349	0,0069	0,00853	0,652
A_33_P3751230	LOC284628	-0,29	0,39	0,1179	0,0325	0,00853	0,652
A_21_P0007689	XLOC_010023	-0,33	0,36	0,0759	0,0534	0,00854	0,652
A_32_P216520	WIF1	0,35	-0,34	0,0570	0,0707	0,00855	0,652
A_33_P3411307	LOC100130276	-0,50	0,17	0,0055	0,3833	0,00865	0,652
A_21_P0000902	LOC100287559	-0,21	0,46	0,2585	0,0110	0,00865	0,652
A_24_P923945	UBR4	-0,44	0,24	0,0169	0,1966	0,00866	0,652
A_19_P00805593	XLOC_008652	-0,35	0,34	0,0617	0,0672	0,00870	0,652
A_33_P3245818	PQLC1	-0,30	0,39	0,1116	0,0355	0,00872	0,652
A_33_P3253975	ACAT1	0,12	-0,53	0,5357	0,0027	0,00873	0,652
A_33_P3310512		0,32	-0,36	0,0832	0,0498	0,00876	0,652
A_21_P0012701	XLOC_I2_011411	0,41	-0,27	0,0236	0,1553	0,00876	0,652
A_21_P0014293	LOC100506104	0,09	0,66	0,6482	0,0001	0,00885	0,656
A_33_P3216150	PRB4	0,35	-0,34	0,0600	0,0707	0,00889	0,656
A_33_P3300132	FP6628	-0,47	0,20	0,0097	0,2869	0,00898	0,659
A_24_P133905	CCL23	0,23	-0,45	0,2274	0,0141	0,00899	0,659
A_21_P0002907	XLOC_003327	-0,33	0,35	0,0755	0,0576	0,00912	0,664
A_33_P3723580	LOC339975	0,39	-0,28	0,0320	0,1271	0,00914	0,664
A_21_P0001553	XLOC_000932	0,26	-0,42	0,1684	0,0223	0,00918	0,664

A_23_P39647	SLC4A3	-0,34	0,35	0,0707	0,0621	0,00918	0,664
A_23_P80040	PROCR	-0,29	0,39	0,1244	0,0324	0,00921	0,664
A_21_P0010475	XLOC_014334	0,04	-0,58	0,8252	0,0009	0,00930	0,668
A_33_P3393341	LPIN3	-0,43	0,24	0,0176	0,1972	0,00936	0,668
A_24_P145122	NUCKS1	0,47	-0,20	0,0096	0,2990	0,00937	0,668
A_33_P3358686		-0,49	0,17	0,0062	0,3811	0,00943	0,668
A_21_P0008384	XLOC_010923	0,29	-0,38	0,1142	0,0378	0,00945	0,668
A_33_P3405936	METTLL11B	-0,27	0,40	0,1476	0,0268	0,00947	0,668
A_21_P0001725	XLOC_000808	-0,46	0,20	0,0104	0,2869	0,00949	0,668
A_32_P52206	TYW1	-0,44	0,23	0,0170	0,2110	0,00952	0,668
A_21_P0003584	XLOC_003479	0,48	-0,18	0,0083	0,3290	0,00954	0,668
A_23_P159191	GAST	-0,49	0,17	0,0070	0,3620	0,00963	0,671
A_23_P321501	DHRS2	-0,19	0,47	0,3071	0,0096	0,00971	0,673
A_21_P0006491	XLOC_007958	-0,40	0,27	0,0291	0,1458	0,00973	0,673
A_21_P0007955	XLOC_010464	-0,47	0,20	0,0093	0,3001	0,00976	0,673
A_33_P3369063		0,42	-0,25	0,0223	0,1785	0,00981	0,673
A_33_P3366028	C20orf118	-0,36	0,31	0,0486	0,0954	0,00983	0,673
A_33_P3290338	PARP1	-0,47	0,20	0,0102	0,2990	0,00984	0,673
A_21_P0013119	XLOC_I2_013233	0,26	-0,41	0,1707	0,0243	0,00998	0,681
A_21_P0002096	XLOC_002298	0,59	-0,02	0,0008	0,9009	0,01007	0,684
A_33_P3271945	HAUS6	-0,32	0,35	0,0814	0,0604	0,01026	0,693
A_33_P3374035	PDXK	-0,21	0,45	0,2616	0,0138	0,01051	0,693
A_33_P3379926	SLC17A4	0,45	-0,21	0,0120	0,2768	0,01052	0,693
A_21_P0005507	XLOC_006495	0,47	-0,19	0,0098	0,3219	0,01053	0,693
A_21_P0014491	LOC100507546	0,17	-0,48	0,3696	0,0076	0,01054	0,693
A_23_P250358	HERC6	-0,36	0,31	0,0538	0,0934	0,01056	0,693
A_23_P119448	PPP6R1	0,35	-0,32	0,0563	0,0896	0,01057	0,693
A_33_P3240043		0,60	-0,01	0,0006	0,9700	0,01059	0,693
A_21_P0002009	LOC339788	-0,46	0,20	0,0120	0,2880	0,01062	0,693

A_21_P0012275	SLC9B1	0,36	-0,31	0,0501	0,1009	0,01070	0,693
A_21_P0005439	XLOC_006281	0,45	-0,21	0,0132	0,2730	0,01071	0,693
A_23_P144490	DCHS2	-0,18	0,47	0,3337	0,0094	0,01073	0,693
A_33_P3321906		-0,43	0,23	0,0179	0,2269	0,01076	0,693
A_24_P70183	MYH11	-0,45	0,21	0,0142	0,2636	0,01087	0,693
A_21_P0002688	XLOC_002433	0,09	-0,54	0,6516	0,0023	0,01088	0,693
A_33_P3406281	SAMHD1	-0,33	0,34	0,0801	0,0653	0,01088	0,693
A_23_P74290	GBP5	-0,41	0,25	0,0233	0,1858	0,01092	0,693
A_21_P0004453	XLOC_005040	0,22	-0,43	0,2330	0,0173	0,01092	0,693
A_33_P3339100	SELP	0,40	-0,27	0,0307	0,1517	0,01093	0,693
A_33_P3213374	CITED2	0,66	0,09	0,0001	0,6308	0,01093	0,693
A_21_P0002358	XLOC_001872	-0,24	0,42	0,1947	0,0227	0,01096	0,693
A_33_P3239884	NCAM2	-0,30	0,36	0,1062	0,0489	0,01103	0,693
A_24_P647682		0,24	-0,42	0,2040	0,0205	0,01103	0,693
A_23_P163711	FAM57B	-0,05	0,57	0,8051	0,0013	0,01106	0,693
A_33_P3789693	MGC24103	0,36	-0,30	0,0486	0,1083	0,01119	0,693
A_23_P372308	RGMA	-0,28	0,38	0,1356	0,0373	0,01121	0,693
A_33_P3394075	RIT1	0,32	-0,34	0,0819	0,0661	0,01123	0,693
A_23_P129144	MYZAP	0,49	-0,15	0,0068	0,4143	0,01132	0,693
A_21_P0001625	XLOC_001208	0,43	-0,22	0,0179	0,2359	0,01134	0,693
A_21_P0003237	XLOC_002716	-0,15	0,49	0,4184	0,0067	0,01135	0,693
A_21_P0000287	SNORD47	0,43	-0,23	0,0193	0,2246	0,01138	0,693
A_33_P3418621	VPREB1	-0,52	0,11	0,0036	0,5562	0,01139	0,693
A_23_P106682	EMP2	0,33	-0,34	0,0784	0,0703	0,01142	0,693
A_23_P38328	DBF4B	-0,46	0,19	0,0108	0,3242	0,01142	0,693
A_23_P112798	CRIP2	-0,51	0,12	0,0042	0,5218	0,01143	0,693
A_21_P0014893	LOC645561	-0,20	0,45	0,2858	0,0126	0,01145	0,693
A_19_P00329806	HOTAIR	0,49	-0,15	0,0055	0,4415	0,01145	0,693
A_33_P3238305	C21orf7	0,42	-0,24	0,0214	0,2101	0,01146	0,693

A_23_P335239	GAB1	-0,32	0,34	0,0832	0,0665	0,01147	0,693
A_21_P0013501	CDK5	0,43	-0,23	0,0185	0,2264	0,01152	0,693
A_32_P10133	PRINS	0,35	-0,31	0,0586	0,0944	0,01156	0,693
A_23_P4773	LILRB5	-0,32	0,34	0,0836	0,0672	0,01165	0,693
A_24_P29733	CDK14	0,27	-0,39	0,1560	0,0329	0,01168	0,693
A_33_P3322050	DYRK1A	-0,24	0,42	0,2061	0,0228	0,01173	0,693
A_33_P3424489		0,48	-0,16	0,0082	0,3853	0,01174	0,693
A_23_P404667	BIK	0,49	-0,15	0,0064	0,4193	0,01177	0,693
A_33_P3274189		-0,30	0,36	0,1072	0,0513	0,01178	0,693
A_21_P0005300	XLOC_006422	0,28	-0,38	0,1331	0,0405	0,01179	0,693
A_21_P0014848	TMEM165	0,11	-0,52	0,5641	0,0037	0,01181	0,693
A_33_P3642036	LOC100289333	-0,46	0,19	0,0114	0,3219	0,01186	0,693
A_21_P0002407	XLOC_002002	0,39	-0,26	0,0333	0,1567	0,01187	0,693
A_33_P3359683	IL16	-0,14	0,49	0,4435	0,0063	0,01192	0,693
A_19_P00808794	XLOC_I2_008221	-0,49	0,15	0,0069	0,4253	0,01198	0,693
A_24_P336577	C1orf183	-0,35	0,31	0,0593	0,0966	0,01198	0,693
A_24_P232790	C14orf162	-0,35	0,31	0,0600	0,0959	0,01199	0,693
A_21_P0001224	XLOC_001211	0,49	-0,15	0,0059	0,4415	0,01201	0,693
A_33_P3341906	C10orf128	-0,18	0,46	0,3303	0,0113	0,01206	0,694
A_21_P0008558	LOC145837	-0,24	0,41	0,2058	0,0236	0,01209	0,694
A_23_P141894	PVR	0,54	-0,07	0,0019	0,7050	0,01213	0,695
A_33_P3301297		0,60	0,01	0,0006	0,9550	0,01219	0,695
A_21_P0007917	XLOC_010706	-0,46	0,18	0,0114	0,3290	0,01221	0,695
A_33_P3250333	DNAH10	0,30	-0,35	0,1025	0,0573	0,01229	0,696
A_33_P3389779	WDR33	-0,22	0,42	0,2321	0,0203	0,01232	0,696
A_33_P3285734	FCRL6	0,49	-0,14	0,0066	0,4449	0,01234	0,696
A_33_P3237135	MMP2	0,38	-0,27	0,0373	0,1490	0,01239	0,696
A_33_P3356696	LOC100134409	0,19	-0,45	0,3035	0,0134	0,01241	0,696
A_23_P58407	UGT2B15	0,42	-0,23	0,0210	0,2292	0,01248	0,696

A_33_P3228718	CLEC19A	0,31	-0,35	0,0999	0,0595	0,01252	0,696
A_32_P196021	FGF7	0,37	-0,28	0,0449	0,1297	0,01256	0,696
A_23_P250164	HGD	0,23	-0,42	0,2209	0,0223	0,01257	0,696
A_21_P0006830	XLOC_008374	0,48	-0,15	0,0078	0,4143	0,01263	0,696
A_33_P3229390		0,53	-0,09	0,0027	0,6347	0,01265	0,696
A_21_P0008131	XLOC_010535	-0,47	0,17	0,0093	0,3798	0,01266	0,696
A_21_P0008355	XLOC_010876	-0,46	0,18	0,0114	0,3406	0,01271	0,696
A_19_P00321670	XLOC_005730	-0,23	0,42	0,2274	0,0217	0,01271	0,696
A_23_P2294	HELB	-0,19	0,45	0,3080	0,0135	0,01273	0,696
A_21_P0003718	XLOC_003878	-0,49	0,15	0,0072	0,4364	0,01275	0,696
A_24_P222872	UGT1A6	0,32	-0,33	0,0823	0,0755	0,01280	0,696
A_33_P3356816	LCE1B	-0,33	0,32	0,0768	0,0805	0,01283	0,696
A_21_P0006008	POLR1E	-0,23	0,42	0,2209	0,0221	0,01283	0,696
A_33_P3238335	MCOLN3	0,35	-0,30	0,0607	0,1025	0,01295	0,699
A_21_P0009674	XLOC_013405	-0,33	0,32	0,0742	0,0850	0,01299	0,699
A_21_P0000077	DZIP1L	-0,35	0,30	0,0597	0,1051	0,01307	0,699
A_21_P0013467	FAM66C	0,38	-0,27	0,0398	0,1490	0,01307	0,699
A_21_P0014074	LOC100505516	-0,27	0,38	0,1510	0,0393	0,01313	0,699
A_21_P0008928	XLOC_011708	0,18	-0,46	0,3532	0,0112	0,01319	0,699
A_33_P3290588	ASPSCR1	-0,41	0,23	0,0234	0,2228	0,01319	0,699
A_33_P3415491	WDR90	-0,20	0,44	0,2902	0,0157	0,01322	0,699
A_33_P3389298	ZNF30	-0,36	0,29	0,0498	0,1250	0,01324	0,699
A_23_P44857		0,35	-0,30	0,0561	0,1118	0,01331	0,699
A_21_P0012639	XLOC_I2_010963	-0,13	0,49	0,4915	0,0060	0,01341	0,699
A_33_P3212575	NNAT	-0,36	0,28	0,0492	0,1284	0,01346	0,699
A_23_P217428	ARHGAP6	-0,44	0,20	0,0155	0,2903	0,01356	0,699
A_21_P0006674	XLOC_008466	0,40	-0,24	0,0276	0,2048	0,01359	0,699
A_24_P920979	ASB7	0,42	-0,22	0,0210	0,2465	0,01362	0,699
A_23_P43157	MYBL1	0,21	-0,43	0,2657	0,0188	0,01364	0,699

A_24_P186342	ZFP14	-0,43	0,20	0,0173	0,2794	0,01364	0,699
A_19_P00328053	XLOC_010669	0,38	-0,27	0,0418	0,1490	0,01364	0,699
A_33_P3232478	CACNA2D1	-0,18	0,45	0,3278	0,0134	0,01372	0,699
A_19_P00801867	LOC100129434	-0,34	0,31	0,0691	0,0964	0,01373	0,699
A_23_P45011	PPP1R14C	0,46	-0,18	0,0121	0,3495	0,01378	0,699
A_32_P163247	CD8A	0,33	-0,32	0,0771	0,0873	0,01382	0,699
A_33_P3390731	AKTIP	0,23	-0,41	0,2191	0,0254	0,01382	0,699
A_24_P128233	SCN5A	-0,22	0,42	0,2330	0,0233	0,01383	0,699
A_19_P00316808	LOC100129936	-0,50	0,12	0,0054	0,5310	0,01398	0,699
A_19_P00809915	XLOC_006829	-0,38	0,27	0,0410	0,1553	0,01404	0,699
A_33_P3281283	S1PR3	0,48	-0,15	0,0086	0,4267	0,01406	0,699
A_33_P3263002	LOC100130348	0,43	-0,20	0,0179	0,2815	0,01409	0,699
A_21_P0011259	XLOC_I2_004317	-0,30	0,34	0,1046	0,0657	0,01420	0,699
A_33_P3316953	RBFOX3	0,40	-0,24	0,0279	0,2101	0,01422	0,699
A_32_P128701	USP53	-0,40	0,24	0,0306	0,1975	0,01423	0,699
A_33_P3305458	ATF6B	0,40	-0,24	0,0314	0,1941	0,01426	0,699
A_33_P3235078	TRIM17	-0,41	0,23	0,0265	0,2191	0,01428	0,699
A_33_P3267160		-0,28	0,36	0,1376	0,0486	0,01432	0,699
A_23_P137035	PIR	0,37	-0,27	0,0460	0,1442	0,01435	0,699
A_33_P3277808		-0,29	0,35	0,1185	0,0586	0,01451	0,699
A_33_P3210423	MED1	-0,42	0,22	0,0225	0,2426	0,01454	0,699
A_19_P00810085		0,16	-0,46	0,3929	0,0105	0,01456	0,699
A_33_P3277688	LOC100132344	-0,25	0,38	0,1761	0,0366	0,01462	0,699
A_33_P3214012	HMGCLL1	0,12	-0,49	0,5141	0,0056	0,01463	0,699
A_21_P0012103	XLOC_I2_008405	-0,33	0,31	0,0738	0,0966	0,01467	0,699
A_21_P0013215	XLOC_I2_013443	0,47	-0,15	0,0095	0,4184	0,01475	0,699
A_24_P45446	GBP4	-0,27	0,37	0,1559	0,0436	0,01483	0,699
A_33_P3385431		-0,41	0,22	0,0253	0,2340	0,01484	0,699
A_21_P0013999	LOC100653051	-0,47	0,15	0,0092	0,4139	0,01486	0,699

A_33_P3396886	C11orf52	-0,26	0,38	0,1692	0,0386	0,01487	0,699
A_24_P272088	SPTB	0,47	-0,16	0,0100	0,4105	0,01487	0,699
A_33_P3309911	PRAMEF5	0,35	-0,29	0,0563	0,1259	0,01488	0,699
A_33_P3249524	SPDYE2	-0,33	0,30	0,0710	0,1019	0,01488	0,699
A_23_P6818	SEMA3G	0,31	-0,33	0,0984	0,0738	0,01489	0,699
A_21_P0000137	BEAN1	-0,15	0,47	0,4184	0,0096	0,01493	0,699
A_21_P0014563	LOC100505675	-0,38	0,25	0,0376	0,1769	0,01500	0,699
A_21_P0005788	XLOC_006980	-0,24	0,39	0,1922	0,0337	0,01502	0,699
A_21_P0008553	XLOC_011181	0,27	-0,36	0,1435	0,0489	0,01504	0,699
A_32_P113154		0,49	-0,12	0,0061	0,5264	0,01510	0,699
A_23_P152002	BCL2A1	0,50	-0,11	0,0053	0,5593	0,01510	0,699
A_24_P167683	ITPK1	0,37	-0,27	0,0465	0,1483	0,01512	0,699
A_21_P0003826	XLOC_003440	0,19	-0,43	0,3046	0,0172	0,01512	0,699
A_21_P0003561	XLOC_003430	0,30	-0,34	0,1079	0,0676	0,01516	0,699
A_33_P3325708		-0,02	0,56	0,9102	0,0012	0,01516	0,699
A_24_P865226	LOC440356	0,28	-0,35	0,1268	0,0573	0,01523	0,699
A_23_P211039	ADAMTS1	0,52	-0,08	0,0032	0,6618	0,01530	0,699
A_33_P3405022	LETM1	0,52	-0,08	0,0035	0,6738	0,01532	0,699
A_33_P3325231	LOC728684	-0,22	0,41	0,2426	0,0249	0,01532	0,699
A_24_P305938	RAB9BP1	0,50	-0,11	0,0052	0,5489	0,01533	0,699
A_33_P3385351		0,22	-0,41	0,2416	0,0251	0,01533	0,699
A_33_P3356792	GGT7	-0,41	0,22	0,0236	0,2525	0,01538	0,699
A_33_P3249958	LOC642852	-0,31	0,33	0,0969	0,0780	0,01543	0,699
A_23_P92727	RAI14	-0,41	0,21	0,0236	0,2535	0,01545	0,699
A_19_P00322592	XLOC_012826	-0,25	0,39	0,1881	0,0360	0,01547	0,699
A_23_P60009	ANXA13	-0,35	0,29	0,0625	0,1196	0,01550	0,699
A_33_P3231923		0,41	-0,21	0,0234	0,2566	0,01551	0,699
A_33_P3381464		-0,27	0,37	0,1531	0,0469	0,01553	0,699
A_21_P0000311	SNORA14A	-0,24	0,39	0,2066	0,0320	0,01562	0,699

A_33_P3222109	XG	0,43	-0,20	0,0186	0,2979	0,01563	0,699
A_21_P0004874	XLOC_005263	-0,05	0,54	0,7924	0,0023	0,01563	0,699
A_23_P209978	VSNL1	0,43	-0,19	0,0176	0,3092	0,01567	0,699
A_23_P120629	ASIP	-0,11	0,50	0,5578	0,0057	0,01567	0,699
A_21_P0008187	XLOC_010670	0,26	-0,37	0,1625	0,0441	0,01569	0,699
A_21_P0009202	LOC100499467	0,52	-0,09	0,0039	0,6533	0,01572	0,699
A_33_P3402091	MERTK	0,32	-0,31	0,0818	0,0939	0,01575	0,699
A_33_P3362208	LOC100129233	-0,32	0,31	0,0805	0,0959	0,01575	0,699
A_33_P3400823	C1orf190	-0,48	0,13	0,0076	0,4900	0,01577	0,699
A_33_P3321996		-0,27	0,36	0,1490	0,0495	0,01580	0,699
A_33_P3220939	PCID2	0,34	-0,29	0,0646	0,1185	0,01583	0,699
A_21_P0014443	LOC100507473	-0,33	0,30	0,0759	0,1020	0,01585	0,699
A_24_P222997	ZRANB3	-0,34	0,30	0,0695	0,1111	0,01586	0,699
A_33_P3219840	ZNRD1-AS1	-0,38	0,25	0,0372	0,1848	0,01589	0,699
A_33_P3379061	C9orf47	0,53	-0,06	0,0029	0,7350	0,01594	0,699
A_33_P3321372	CNTNAP3	0,40	-0,23	0,0283	0,2302	0,01596	0,699
A_21_P0011645	LINC00483	-0,32	0,32	0,0873	0,0901	0,01599	0,699
A_23_P35309	TAF5L	-0,41	0,21	0,0248	0,2535	0,01605	0,699
A_21_P0001762	LOC100506929	-0,52	0,08	0,0040	0,6567	0,01606	0,699
A_33_P3237201	SYT1	0,34	-0,29	0,0639	0,1214	0,01606	0,699
A_24_P64407	HMX2	-0,29	0,34	0,1196	0,0650	0,01607	0,699
A_19_P00806593	XLOC_005273	-0,09	0,51	0,6414	0,0038	0,01608	0,699
A_33_P3230594	LOC100507547	0,34	-0,29	0,0680	0,1150	0,01609	0,699
A_32_P23308	LOC257358	0,32	-0,31	0,0836	0,0949	0,01615	0,699
A_33_P3334436		-0,30	0,33	0,1105	0,0714	0,01619	0,699
A_21_P0001449	XLOC_000643	-0,59	-0,02	0,0008	0,9270	0,01622	0,699
A_33_P3243702	KLHL30	0,18	-0,44	0,3434	0,0156	0,01631	0,699
A_23_P400515	KIF17	-0,37	0,26	0,0460	0,1632	0,01635	0,699
A_33_P3401647	PPP1R14A	-0,33	0,31	0,0794	0,1006	0,01640	0,699

A_33_P3314710

0,53

-0,07

0,0032

0,7244

0,01641

0,699